

## การศึกษาเริ่มเดินของมอเตอร์เหนี่ยวนำไฟฟ้า 3 เฟส

### THE STUDY OF STARTING INDUCTION MOTOR 3 PHASE

นายกัมพล หน่อแก้ว รหัส 48361356  
นายณัฐพงษ์ สิงห์ศรีจันทร์ รหัส 48361486

ห้องสมุดคณะวิศวกรรมศาสตร์
วันที่รับ. 25. ๗. ๒๕๕๓ /
เลขทะเบียน..... ๑๕๐๐ ๗๗๖๘๒
เลขเรียกหนังสือ..... ๑๔
มหาวิทยาลัยเรศวร

2551

ปริญญาบัตรนี้เป็นส่วนหนึ่งของการศึกษาหลักสูตรปริญญาวิศวกรรมศาสตรบัณฑิต

สาขาวิชาชีวกรรมไฟฟ้า ภาควิชาชีวกรรมไฟฟ้าและคอมพิวเตอร์

คณะวิศวกรรมศาสตร์ มหาวิทยาลัยเรศวร

ปีการศึกษา 2551



## ใบรับรองโครงการวิศวกรรม

หัวข้อโครงการ	การศึกษาเริ่มเดินทางของนอเตอร์เหนี่ยวสำหรับไฟฟ้า 3 เฟส		
ผู้ดำเนินโครงการ	นายกำพล	หน่อแก้ว	รหัส 48361356
	นายณัฐพงษ์	สิติธิคุรีจันทร์	รหัส 48361486
อาจารย์ที่ปรึกษา	ดร.สมพร	เรืองสินชัยวนิช	
สาขาวิชา	วิศวกรรมไฟฟ้า		
ภาควิชา	วิศวกรรมไฟฟ้าและคอมพิวเตอร์		
ปีการศึกษา	2551		

คณะกรรมการคณาจารย์ มหาวิทยาลัยแม่ฟ้าหลวง อนุมัติให้โครงการฉบับนี้เป็นส่วนหนึ่งของ  
การศึกษาตามหลักสูตรวิศวกรรมศาสตรบัณฑิต สาขาวิชาวิศวกรรมไฟฟ้า

คณะกรรมการสอบโครงการวิศวกรรม

  
..... ประธานกรรมการ  
(ดร.สมพร เรืองสินชัยวนิช)

..... กรรมการ  
(อาจารย์สราวุติ วัฒนวงศ์พิทักษ์)

..... กรรมการ  
(อาจารย์แสงชัย มังกรทอง)

<b>หัวข้อโครงการ</b>	การศึกษาเริ่มเดินของมอเตอร์เหนี่ยวนำไฟฟ้า 3 เฟส		
<b>ผู้ดำเนินโครงการ</b>	นายกำพล	หน่อแก้ว	รหัส 48361356
	นายณัฐพลด	สิทธิศรีจันทร์	รหัส 48361486
<b>อาจารย์ที่ปรึกษา</b>	ดร.สมพร เรืองสินชัยวนิช		
<b>สาขาวิชา</b>	วิศวกรรมไฟฟ้า		
<b>ภาควิชา</b>	วิศวกรรมไฟฟ้าและคอมพิวเตอร์		
<b>ปีการศึกษา</b>	2551		

## บทคัดย่อ

โครงการนี้เป็นการศึกษาและทดลองเทคนิคการเริ่มหมุนมอเตอร์อินดักชัน 3 เฟส

แบบ Direct On Line และแบบ Star-Delta โดยลด 35%, 65%, 90% วิเคราะห์เปรียบเทียบกระแสขณะ starters และหาค่าพารามิเตอร์จากการทดสอบมอเตอร์ เพื่อนำค่าที่ได้ได้ในโปรแกรม PSIM แล้ว Simulate เพื่อเปรียบเทียบกับการทดลองจริง ผลการทดลองพบว่า อัตราส่วนระหว่างกระแสขณะ starters ที่ต่อกระแสทำงานปกติมีค่าประมาณ 5 เท่า ในกรณีต่อ มอเตอร์อินดักชันต่อแบบ Y – Δ อัตราส่วนกระแส starters ที่ต่อกระแสทำงานปกติมีค่าประมาณ 1.5 เท่า ของกระแสทำงานปกติ การ starters ที่ต่อแบบ Direct On Line จะมีค่ากระแส  $I_{peak}$  สูงกว่า การ starters ที่ต่อแบบ Y – Δ กระแสขณะ starters ที่ต่อแบบ Y – Δ กระแส starters ที่ลดลงประมาณ 3 เท่า เมื่อต่อโดยลด เปอร์เซ็นต์สูงขึ้นค่ากระแสขณะ starters จะสูงขึ้นและเวลาเข้าสู่ภาวะปกติจะมีเวลานาน ผลการทดลองระหว่างโปรแกรม PSIM กับการทดลองจริง พบว่า ค่าความผิดพลาดและเบอร์เซ็นต์ความผิดพลาดแตกต่างกันและบางกรณีมีเบอร์เซ็นต์ความผิดพลาดที่สูง เนื่องจาก ค่าที่ได้ในโปรแกรม PSIM ได้จากการทดลองทำให้ผลที่ได้จากการ Simulate พิศพลาด

<b>Project Title</b>	The Study of Starting Induction Motor 3 Phase.		
<b>Name</b>	Mr.Kumpon	Norgeaw	ID.48361356
	Mr. Nataphon	Sittisrijan	ID.48361486
<b>Project Advisor</b>	Somporn Ruangsinchaiwanich, Ph.D.		
<b>Major</b>	Electrical Engineering.		
<b>Department</b>	Electrical and Computer Engineering.		
<b>Academic Year</b>	2008		

## ABSTRACT

This project is a study and a test of starting spinning technique of induction 3 phase motor: Direct on Line and Star-Delta which load 35%, 65%, and 90% to analyze current comparison during starting and to find parameter values from the motor test. The resulted values will be filled in the PSIM program and be simulated to compare with the real test. The results are found that a ratio value between starting current and normal current is about 5 times in case Y- $\Delta$  induction motor is joined. The ration value between starting current and normal current is about 1.5 times. The  $I_{peak}$  current value of Direct on Line starting motor is higher than that of Y- $\Delta$  starting motor. The starting current of Y- $\Delta$  joint motor will decrease about 3 times. When it joins a higher percent of loading, the value of starting current will be higher and the time to become in the normal condition is long. The results of testing between PSIM program and the real test are found that the error value and the error percent are different and in some cases the percent of error is high because the resulted values which are filled in PSIM program make the result from simulation wrong.

## กิตติกรรมประกาศ

ในการทำปริญนานิพนธ์ในครั้งนี้สำเร็จลุล่วงไปด้วยดีโดยได้รับความช่วยเหลือและให้คำแนะนำจาก ดร. สมพร เรืองศินชัยวนิช ที่เป็นอาจารย์ที่ปรึกษาปริญนานิพนธ์ในครั้งนี้และขอขอบคุณ อาจารย์ สราชฎี วัฒนวงศ์พิทักษ์ และอาจารย์แสงชัย มังกรทอง ที่ให้ความกรุณาเป็นผู้ตรวจสอบปริญนานิพนธ์และเคยให้คำแนะนำในส่วนของทฤษฎีที่เกี่ยวกับปริญนานิพนธ์ในครั้งนี้ และขอขอบคุณนายกฤษดา สมจิตชุม ประธานนักธุรกิจ นักบัณฑิต ผู้ทรงคุณวุฒิ ที่ให้คำปรึกษาและดูแลในช่วงของการทดลอง

ท้ายสุดขอขอบพระคุณ คุณพ่อ คุณแม่ ญาติพี่น้อง ที่เคยช่วยเหลืออย่างเป็นกำลังใจและเป็นผู้สนับสนุนในด้านต่างๆมาโดยตลอดและขอขอบคุณบุคลากรที่ไม่ได้กล่าวถึงรวมถึงแหล่งข้อมูลที่เอื้อต่อการทำปริญนานิพนธ์ในครั้งนี้

นายกมพล หน่อแก้ว  
นายณัฐพล สิทธิศรีจันทร์

# สารบัญ

บทคัดย่อภาษาไทย .....	ก
บทคัดย่อภาษาอังกฤษ .....	ข
กิตติกรรมประกาศ .....	ค
สารบัญ .....	ง
สารบัญตาราง .....	ฉ
สารบัญรูป .....	ช

## บทที่ 1 บทนำ

1.1 ที่มาและความสำคัญของ โครงการ .....	1
1.2 วัตถุประสงค์ .....	1
1.3 ขอบข่ายโครงการ .....	2
1.4 กิจกรรมการดำเนินงาน .....	2
1.5 ผลที่คาดว่าจะได้รับ .....	3
1.6 งบประมาณ .....	3

## บทที่ 2 ทฤษฎีที่เกี่ยวข้อง

2.1 มอเตอร์อินดักชัน .....	4
2.2 โครงสร้างของมอเตอร์อินดักชัน 3 เฟส .....	5
2.3 หลักการทำงาน .....	7
2.4 ความเร็วสลับและความเร็วโรเตอร์ .....	7
2.5 แรงดันไฟฟ้าเหนี่ยวนำและความถี่ในโรเตอร์ .....	8
2.6 วงจรสมมูลโรเตอร์ .....	9
2.7 วงจรสมมูลของสเตเตอร์ .....	12
2.8 วงจรสมมูลของมอเตอร์อินดักชัน .....	12
2.9 คุณลักษณะของมอเตอร์อินดักชัน .....	15
2.10 หลักการทำงานของมอเตอร์อินดักชัน .....	16
2.11 มอเตอร์ที่มีโรเตอร์แบบ Wound-Rotor .....	16

## สารบัญ (ต่อ)

	หน้า
2.12 การทดสอบขณะไม่มีโหลด .....	17
2.13 การทดสอบการยึดโรเตอร์ .....	19
2.14 เทคนิคในการเริ่มต้นหมุนนอเตอร์อินดักชัน .....	21
2.15 ออกซิตอลส์โคล .....	28
2.16 Electric Transients In Induction Machine .....	31
 บทที่ 3 การออกแบบการทดลอง	
3.1 การออกแบบการทดลอง .....	32
3.2 ขั้นตอนและวิธีการทดลอง .....	39
3.3 โปรแกรม PSIM .....	42
3.4 การใช้ PSIM ในการวิเคราะห์วงจร .....	44
 บทที่ 4 ผลการทดลอง	
4.1 ผลจากการทดสอบมอเตอร์เพื่อหาแรงสมมูล .....	52
4.2 ผลจากการทดลองเพื่อหา $T_{load}$ .....	57
4.3 ผลจากการทดลองต่อวงจรริง .....	67
4.4 การเปรียบเทียบผลการทดลองและวิเคราะห์ผลการทดลอง .....	71
 บทที่ 5 สรุปผลการทดลอง	
5.1 สรุปผลการทดลอง .....	100
5.2 ประเมินผล .....	100
5.3 ปัญหา ข้อเสนอแนะ และแนวทางแก้ไข .....	101
5.4 แนวทางในการพัฒนาต่อไป .....	101
เอกสารอ้างอิง .....	102
ภาคผนวก .....	103
ประวัติผู้เขียน โครงการ .....	111

## สารบัญตาราง

ตารางที่	หน้า
4.1 การแสดงผล No load test.....	54
4.2 การแสดงผล Locked-rotor test .....	54
4.3 แสดงกระแสอิเลคทริกชั้น荷ลดต่างๆ .....	57
4.4 แสดงผลเพื่อนำไปหา $T_{load}$ .....	58
4.5 แสดงกระแสอิเลคทริกชั้น荷ลดต่างๆ .....	62
4.6 แสดงผลเพื่อนำไปหา $T_{load}$ .....	63
4.7 เปรียบเทียบกระแสขณะสตาร์ท .....	71
4.8 เปรียบเทียบกระแสขณะสตาร์ทกับกระแสทำงานปกติ มอเตอร์ทำงานปกติต่อแบบ $\Delta$ .....	72
4.9 ตารางการเปรียบเทียบค่าจากการ Simulate กับค่าการทำงานทดลอง มอเตอร์ต่อแบบ $\Delta$ .....	79
4.10 ตารางการคิดค่า error ของ荷ลดต่างๆ ระหว่างการทดลองกับ Simulate มอเตอร์ต่อแบบ $\Delta$ .....	79
4.11 ตารางการเปรียบเทียบค่าจากการ Simulate กับค่าการทำงานทดลอง มอเตอร์ต่อแบบ $Y$ .....	80
4.12 ตารางการคิดค่า error ของ荷ลดต่างๆ ระหว่างการทดลองกับ Simulate มอเตอร์ต่อแบบ $Y$ .....	80

# สารบัญ

หัวข้อ	หน้า
2.1 มอเตอร์อินดักชัน .....	4
2.2 โครงสร้างภายในของมอเตอร์อินดักชัน.....	5
2.3 โรเตอร์แบบกรงกระอก .....	5
2.4 ลักษณะแห่งตัวนำของโรเตอร์.....	6
2.5 แบบวิวโรเตอร์.....	6
2.6 วงจรสมมูลของโรเตอร์ .....	9
2.7 วงจรสมมูลจากสมการ 2-14 .....	10
2.8 วงจรสมมูลของสเตเตอร์ .....	12
2.9 วงจรสมมูลของหม้อแปลงไฟฟ้าเทียบเท่ามอเตอร์เหนี่ยวนำ.....	13
2.10 วงจรสมมูลของหม้อแปลงไฟฟ้าเทียบเท่ามอเตอร์เหนี่ยวนำใหม่ .....	13
2.11 วงจรสมมูลของมอเตอร์อินดักชัน.....	14
2.12 curve แสดงคุณลักษณะแรงบิด – ความเร็วในมอเตอร์อินดักชัน 3 เพส.....	15
2.13 การทดสอบขณะไม่มีโหลด (No – load Test) .....	17
2.14 วงจรสมมูลของมอเตอร์อินดักชันในการทดสอบขณะไม่มีโหลด .....	18
2.15 วงจรเทียบเคียงการทดสอบการยึดโรเตอร์ .....	19
2.16 Schematic Diagram ของวงจรกำลังและวงจรควบคุม .....	22
2.17 ขนะมอเตอร์ต่อแบบเดลต้า.....	24
2.18 ขนะมอเตอร์ต่อแบบสตาร์ .....	25
2.19 วงจรกำลังของการสตาร์ทมอเตอร์แบบสตาร์-เดลต้า .....	26
2.20 วงจรควบคุมมอเตอร์ สตาร์-เดลต้า.....	27
2.21 แสดงขนาดแรงดันรูปคลื่นไซน์ .....	28
2.22 เมื่อต่อแหล่งจ่ายไฟกระแสสลับในวงจร .....	29
2.23 การวัดค่า $V_{p-p}$ .....	30
2.24 วงจรสมมูลอินดักชันมอเตอร์อย่างง่ายสภาวะชั่วครู่ .....	31
3.1 การต่อตัวต้านทาน $10\Omega$ $10W$ .....	33
3.2 ค่าแรงดันคงคร่องตัวต้านทาน $10\Omega$ .....	33

## สารบัญรูป(ต่อ)

รูปที่	หน้า
3.3 การวัดค่าแรงดันตกคร่อมตัวต้านทาน $10\Omega$ .....	34
3.4 การวัดค่ากระแสที่ต่อเข้ากับมอเตอร์ .....	35
3.5 การวัดค่ากระแสสามเฟสของมอเตอร์ต่อแบบ Y .....	36
3.6 การวัดค่ากระแสสามเฟสของมอเตอร์ต่อแบบ $\Delta$ .....	37
3.7 มอเตอร์อินดักชัน .....	40
3.8 DC มอเตอร์ .....	40
3.9 เครื่องวัดความเร็วรอบ .....	40
3.10 แคลปิมิเตอร์ .....	40
3.11 แมกเนติกคอนแทคเตอร์ .....	41
3.12 วัตต์มิเตอร์ .....	41
3.12 ออสซิลโลสโคป .....	41
3.13 สวิตช์ปุ่มกดสีเขียวปกติปิด .....	41
3.14 สวิตช์ปุ่มกดสีแดงปกติปิด .....	41
3.15 AC Supply 24 V .....	41
3.16 ตัวต้านทาน $10 \text{ w } 10 \Omega$ .....	42
3.17 โอลเวอร์ไนล์ครีเดย์ .....	42
3.18 แสดงหน้าต่างของ โปรแกรม PSIM Schematic .....	43
3.19 แสดงหน้าต่างของ โปรแกรม SimView .....	43
3.20 วงจรการวิเคราะห์มอเตอร์ต่อแบบ Y .....	45
3.21 แสดงหน้าต่างของ โปรแกรม SimView .....	49
3.22 กราฟแสดงค่ากระแสสามเฟสต่อ load 35% .....	49
3.23 กราฟแสดงค่า กระแส ความเร็วรอบและทอร์คของมอเตอร์ .....	50
3.24 วงจรการวิเคราะห์มอเตอร์ต่อแบบ $\Delta$ .....	50
4.1 การวัดค่าเพื่อหาค่า $R_{(stator)}$ .....	53
4.2 ค่าที่ได้จากการวัด $R_{(stator)}$ .....	53
4.3 วงจรสมมูลมอเตอร์ .....	56
4.4 กราฟกระแสขณะ starters A .....	67
4.5 กราฟกระแสขณะ starters B .....	68

## สารบัญรูป(ต่อ)

รูปที่	หน้า
4.6 กราฟกระแสขณะสถานะสตาร์ทไฟสี C .....	68
4.7 กราฟกระแสขณะสถานะสตาร์ท .....	68
4.8 กราฟกระแสขณะสถานะสตาร์ท .....	69
4.9 กราฟกระแสขณะสถานะสตาร์ท .....	69
4.10 กราฟกระแสขณะสถานะสตาร์ท .....	70
4.11 กราฟกระแสขณะสถานะสตาร์ท .....	70
4.12 กราฟ Simulate จาก PSIM .....	73
4.13 กราฟจากการทดสอบจริง .....	73
4.14 กราฟ Simulate จาก PSIM .....	74
4.15 กราฟจากการทดสอบจริง .....	74
4.16 กราฟ Simulate จาก PSIM .....	75
4.17 กราฟจากการทดสอบจริง .....	75
4.18 กราฟ Simulate จาก PSIM .....	76
4.19 กราฟจากการทดสอบจริง .....	76
4.20 กราฟ Simulate จาก PSIM .....	77
4.21 กราฟจากการทดสอบจริง .....	77
4.22 กราฟ Simulate จาก PSIM .....	78
4.23 กราฟจากการทดสอบจริง .....	78
4.24 วงจรสมมูลอเตอร์สภาวะ Transient .....	81
4.25 วงจรสมมูลอเตอร์สภาวะ Transient ขณะสถานะสตาร์ท load 35% .....	83
4.26 วงจรสมมูลอเตอร์ขณะทำงานปกติ load 35% .....	83
4.27 วงจรสมมูลอเตอร์สภาวะ Transient ขณะสถานะสตาร์ท load 65% .....	86
4.28 วงจรสมมูลอเตอร์ขณะทำงานปกติ load 65% .....	86
4.29 วงจรสมมูลอเตอร์สภาวะ Transient ขณะสถานะสตาร์ท load 90% .....	89
4.30 วงจรสมมูลอเตอร์ขณะทำงานปกติ load 90% .....	89
4.31 วงจรสมมูลอเตอร์สภาวะ Transient ขณะสถานะสตาร์ท load 35% .....	92
4.32 วงจรสมมูลอเตอร์ขณะทำงานปกติ load 35% .....	92
4.33 วงจรสมมูลอเตอร์สภาวะ Transient ขณะสถานะสตาร์ท load 65% .....	95

## สารบัญรูป(ต่อ)

รูปที่	หน้า
4.34 วงจรสมมูลมอเตอร์ขับทำงานปกติ load 65% .....	95
4.35 วงจรสมมูลมอเตอร์สกาวะ Transient ขณะสตาร์ท load 90% .....	98
4.36 วงจรสมมูลมอเตอร์ขับทำงานปกติ load 90% .....	98



## บทที่ 1

### บทนำ

#### 1.1 ที่มาและความสำคัญของโครงงาน

ในปัจจุบันเครื่องจักรกลต่างๆ ที่ใช้ในโรงงานอุตสาหกรรมเกือบทุกประเภทมักจะใช้มอเตอร์เป็นต้นกำลัง ซึ่งส่วนใหญ่เป็นมอเตอร์อินดักชัน (Induction Motor) เพราะมีความคงทนเป็นเยี่ยมและราคาถูกกว่ามอเตอร์ชนิดอื่น ในขณะที่การบำรุงรักษาค่อนข้างต่ำแต่มีข้อเสียคือ จะมีกระแสแซมสตาร์ทสูงประมาณ 7 เท่าของกระแสปกติซึ่งจะทำให้มีผลข้างเคียงต่อระบบไฟฟ้าภายในโรงงาน เช่น ระดับแรงดันไฟฟ้าตกและการตัดออกโดยอัตโนมัติของอุปกรณ์ป้องกัน

เทคนิคในการเริ่มต้นหมุนมอเตอร์อินดักชันวิธีนิยมใช้งานมากที่สุดในอุตสาหกรรม เช่น

- การสตาร์ทแบบ ต่อโดยตรงจากไลน์ (Direct on – Line Starting, DOL)
- การสตาร์ทแบบ สตาร์-เดลต้า (Star – Delta Starting)

ดังนั้นจึงก่อให้เกิดการศึกษาค้นคว้าและทำการทดลองเพื่อเปรียบเทียบการเริ่มต้นหมุน มอเตอร์อินดักชัน 3 เฟสได้แก่ Direct On Line และ Star – Delta เพื่อให้ผู้ที่สนใจสามารถนำไปวิเคราะห์และปฏิบัติให้เกิดประโยชน์ในการทำงานได้

#### 1.2 วัตถุประสงค์

1.2.1 เพื่อศึกษาและทดลองเทคนิคในการเริ่มต้นหมุนมอเตอร์อินดักชัน 3 เฟส แบบต่อมอเตอร์โดยตรงจากไลน์ (Direct On Line)

1.2.2 เพื่อศึกษาและทดลองเทคนิคในการเริ่มต้นหมุนมอเตอร์อินดักชัน 3 เฟสแบบ Star – Delta

1.2.3 เพื่อนำผลการทดลองที่ได้จากการทดลองมาวิเคราะห์และเปรียบเทียบ กับโปรแกรม PSIM โดยการนำค่าผลการทดสอบมอเตอร์อินดักชัน 3 เฟสมาใส่ในโปรแกรม PSIM แล้ว Simulate

1.2.4 เพื่อวิเคราะห์เปรียบเทียบค่ากระแสแซมสตาร์ทของมอเตอร์อินดักชัน 3 เฟสทั้ง 2 แบบ ในการกรณีที่มีค่าโหลดต่างๆ

### 1.3 ขั้นตอนของโครงการ

- 1.3.1 ศึกษาการเริ่มต้นหมุนเวียนด้วยอินดักชัน 3 เฟสทั้ง 2 แบบ ในสภาวะ荷ลด 35%, 65% 90%
- 1.3.2 ทดสอบหมุนเวียนด้วยอินดักชัน 3 เฟสเพื่อนำค่าพารามิเตอร์มาวิเคราะห์ในโปรแกรม PSIM
- 1.3.3 นำผลการทดลองมาวิเคราะห์เปรียบเทียบค่ากระแสและสถานะทบทองหมุนเวียนด้วยอินดักชัน 3 เฟสกรณีที่มี荷ลดต่างๆ เปรียบเทียบกับผลจากการ Simulate ค่าที่ได้จากโปรแกรม PSIM

### 1.4 กิจกรรมการดำเนินงาน

รายละเอียด	ปี 2551							ปี 2552		
	ม.ย.	ก.ค.	ส.ค.	ก.ย.	ต.ค.	พ.ย.	ธ.ค.	ม.ค.	ก.พ.	มี.ค.
1. ศึกษาอินดักชัน 3 เฟสทั้ง 2 แบบ ในสภาวะ荷ลด 35%, 65%, 90%	↔									
2. ออกแบบการทดลอง		↔								
3. ทดลองการถอดรหัสหมุนเวียนด้วยอินดักชัน 3 เฟสทั้ง 2 แบบ และทดสอบหมุนเวียนเพื่อนำค่าพารามิเตอร์มาวิเคราะห์ในโปรแกรม PSIM				↔						
4. นำผลการทดลองที่ได้มาวิเคราะห์เปรียบเทียบกับ PSIM							↔			
5. สรุปผลการทดลอง และจัดทำรูปเล่น								↔		

## 1.5 ผลที่คาดว่าจะได้รับ

- 1.5.1 สามารถเข้าใจหลักการทำงานและการสตาร์ทของมอเตอร์อินดักชัน 3 เฟสได้
- 1.5.2 สามารถวิเคราะห์และเปรียบเทียบการสตาร์ทของมอเตอร์อินดักชัน 3 เฟสได้
- 1.5.3 สามารถวิเคราะห์ผลจากการใช้โปรแกรม PSIM ได้
- 1.5.4 สามารถนำความรู้ที่ได้จากการทดลองมาใช้ในชีวิตประจำวันได้
- 1.5.5 สามารถนำความรู้ไปเผยแพร่เพื่อให้เกิดประโยชน์มากที่สุด

## 1.6 งบประมาณ

1.6.1 ค่าอุปกรณ์อิเล็กทรอนิกส์	1,000	บาท
1.6.2 ค่ากระดาษและถ่ายเอกสาร	200	บาท
1.6.3 ค่าอุปกรณ์คอมพิวเตอร์	300	บาท
1.6.4 ค่าจัดทำรูปเปลี่ยน	500	บาท
<u>รวมเป็นเงิน</u>	<u>2,000</u>	บาท (สองพันบาทถ้วน)

หมายเหตุ

ขออนุมัติ davidee@kmutt.ac.th

## บทที่ 2

# ทฤษฎีที่เกี่ยวข้อง

### 2.1 มอเตอร์อินดัคชัน (Induction Motors)

มอเตอร์อินดัคชันเป็นได้ทั้งมอเตอร์และเครื่องกำเนิดไฟฟ้าแต่ถ้านำมาใช้เป็นเครื่องกำเนิดไฟฟ้าจะมีข้อเสียมากจึงไม่ค่อยนิยมเท่าที่ควร ดังนั้นมีอุปกรณ์อินดัคชันจึงมักหมายถึง มอเตอร์อินดัคชัน

คำว่า “อินดัคชัน” (Induction) หมายถึง การเหนี่ยวนำทางครั้งเริ่ยกมอเตอร์อินดัคชันว่า มอเตอร์เหนี่ยวนำ เนื่องจากการหมุนของมอเตอร์เกิดจากการเหนี่ยวนำของสนามแม่เหล็กหมุนของ ขดลวดที่สเตเตอร์ที่ต่อตัวนำในโรเตอร์



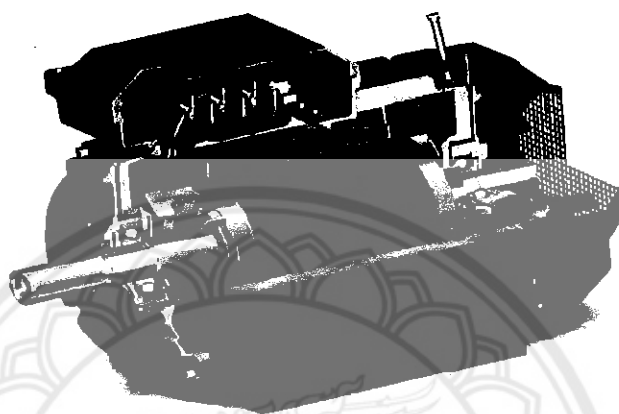
รูป 2.1 มอเตอร์อินดัคชัน [10]

โรงงานอุตสาหกรรมโดยมากเป็นมอเตอร์อินดัคชัน 3 เฟสเนื่องจากมอเตอร์ชนิดนี้มีราคาไม่แพง มากต้องการการดูแลรักษาน้อยและมีความเร็วเกือบคงที่ความเร็วคล่องจากสภาพไม่มีโหลด จนกระทั่งขับโหลดเต็มที่ข้อเสียมีดังนี้

1. ควบคุมความเร็วได้ยาก
2. ขณะมีโหลดน้อยจะทำงานที่ Power Factor ต่ำและล้าหลัง
3. กระแสไฟฟ้าเริ่มต้นหมุนจะเป็น 5 เท่า หรือ 7 เท่าของกระแสไฟฟ้าขณะขับโหลดเต็มที่

## 2.2 โครงสร้างของมอเตอร์อินดักชัน 3 เฟส (Induction Motor Construction)

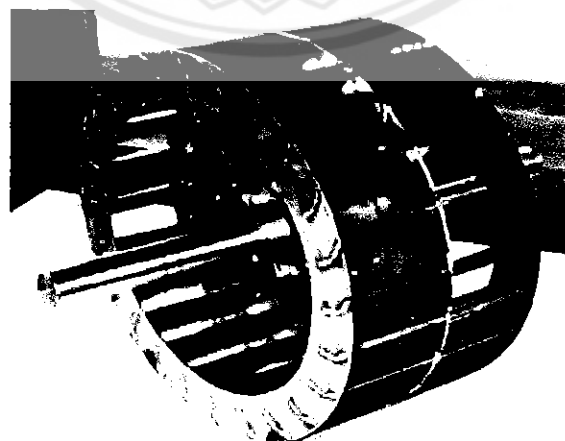
มอเตอร์อินดักชันมีส่วนประกอบที่สำคัญคือ ส่วนอยู่กับที่ (Stator) และส่วนที่หมุน (Rotor) โดยสเตเตอร์มีหน้าที่ยึดคงความเร็วเจ็ตที่บรรจุอยู่ในร่องสลิ๊อตทำด้วยแผ่นโลหะบางๆอัดเป็นรูปทรงดังรูป 2.2



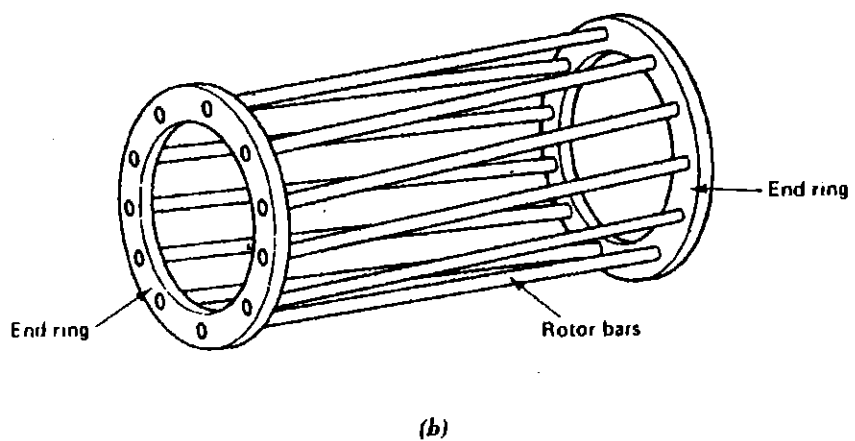
รูป 2.2 โครงสร้างภายในของมอเตอร์อินดักชัน [11]

### โรเตอร์แบบออกเกิน 2 แบบ คือ

- แบบกรงกระอก (Squirrel Cage) มีแท่งตัวนำ (Rotor Bar) คล้ายกรงกระอกฝังอยู่ภายในโรเตอร์ ที่ปลายทั้งสองค้านของแท่งตัวนำถูกล็อกช่วงระหว่างตัวนำที่ติดกัน叫做端环 (end Ring) ดังรูป 2.3



รูป 2.3 โรเตอร์แบบกรงกระอก [12]



รูปที่ 2.4 ลักษณะแห่งตัวนำของโรเตอร์ [9]

แห่งตัวนำของโรเตอร์นักวิศวกรรมจะเน้นให้โรเตอร์หมุนได้ราบรื่นและลดปัญหาเสียง (Acoustic Noise) ของแม่เหล็ก

2. แบบวลีวโรเตอร์ (Wound Rotor) โรเตอร์แบบนี้แตกต่างกับแบบกรงกระอกคือ มีขดลวดทองแดงพันรอบตัวโรเตอร์ ส่วนปลายของขดลวดนี้จะต่อ กับสลิบ-ring ซึ่งมีประแจติดตั้งอยู่ ดังรูป 2-4



รูป 2.5 แบบวลีวโรเตอร์ [13]

### 2.3 หลักการทำงาน (Principle of Operation)

ถ้าจ่ายไฟฟ้ากระแสสลับ 3 เฟสให้ขัดคลาวด์อาร์เมเจอร์ที่สเตเตอเรจเกิดสนามแม่เหล็กหมุน เมื่อพล็อกแม่เหล็กของสนามแม่เหล็กหมุนเคลื่อนตัวดังผ่านตัวนำที่ฝังอยู่ในโรเตอร์จะเกิดการเห็นี่ขวนำและเนื่องจากโรเตอร์ถูกดึงรั้งเกิดแรงดันไฟฟ้าหนี่ขวนำและแรงบิด มีผลทำให้โรเตอร์หมุนไปในทิศทางเดียวกับสนามแม่เหล็กหมุน

$$N_s = \frac{120f}{P} \quad (2-1)$$

$N_s$  = ความเร็วซิงโกรนัส

$f$  = ความถี่หักมูลของไฟฟ้ากระแสสลับ

$P$  = จำนวนขั้วแม่เหล็กของมอเตอร์

การกลับทิศทางการหมุนของมอเตอร์อินดักชันทำได้ง่ายเพียงแค่สลับสายไฟคู่ใดคู่หนึ่งที่ข่ายให้ขัดคลาวด์ที่สเตเตอเรจจะทำให้สนามแม่เหล็กหมุนและโรเตอร์หมุนกลับทิศทางได้ จึงเป็นข้อดีของมอเตอร์ชนิดนี้

### 2.4 ความเร็วสลิปและความเร็วโรเตอร์ (Slip and Rotor Speed)

กล่าวคือโรเตอร์ของมอเตอร์อินดักชันจะหมุนไปทางเดียวกับกับสนามแม่เหล็กหมุนของสเตเตอเรจไม่ได้หมุนด้วยความเร็วซิงโกรนัสจึงเกิดความแตกต่างระหว่างความเร็วซิงโกรนัสกับความเร็วของโรเตอร์เรียกว่า ความเร็วสลิป (slip speeds ; S) หากาได้จากการ

$$n_{slip} = n_s - n_r \quad (2-4)$$

$$S = \frac{n_s - n_r}{n_s} \times 100\% \quad (2-5)$$

จากสมการข้างล่างนี้จัดให้อยู่ในรูปความเร็วเชิงมุมซิงโกรนัส และความเร็วเชิงมุมของโรเตอร์ได้ดังนี้

$$s = \frac{\omega_s - \omega_r}{\omega_s} \times 100\% \quad (2-6)$$

นอกจากนี้ความเร็วของโรเตอร์ในทอนของสลิปและความเร็วซิงโกรนัสหาค่าได้จาก

$$n_r = (1 - s)n_s \quad (2-7)$$

ในทำงานของเดียวกัน

$$\omega_r = (1-s)\omega_s \quad (2-8)$$

สมการทั้งหมดที่กล่าวมานี้มีประโยชน์อย่างมากในการหาค่าความสัมพันธ์ระหว่างกำลังไฟฟ้าและแรงบิดที่เกิดขึ้นในมอเตอร์อินดักชัน

## 2.5 แรงดันไฟฟ้าหนี่ยวนำและความถี่ในโรเตอร์ (Rotor-Induced Voltage and Frequency)

เมื่อจ่ายแรงดันไฟฟ้าให้ขาดคลอดาร์เมเจอร์ขณะโรเตอร์อยู่กับที่ ฟลีกแม่เหล็กของสนามแม่เหล็กจะผ่านขาดคลอดของโรเตอร์และสเตเตอร์ด้วยความเร็วสูงสุด (ความเร็วซิงโกรนัส) แรงดันไฟฟ้าหนี่ยวนำที่เกิดขึ้นในตัวนำนั้นย่อมมีค่าสูงสุดและขึ้นอยู่กับจำนวนรอบของขาดคลอดในโรเตอร์และสเตเตอร์ดังนั้น ความสัมพันธ์ของแรงดันไฟฟ้าหนี่ยวน้ำทั้ง 2 ส่วนจึงมีลักษณะคล้ายกับหน้อแปลงซึ่งมีค่าแรงดันไฟฟ้าหนี่ยวนำในขาดคลอดปฐมภูมิและขาดคลอดทุติกูมิโดยจะขึ้นอยู่กับจำนวนรอบของขาดคลอดทั้งสอง

ขณะโรเตอร์อยู่กับที่ความถี่ของแรงดันไฟฟ้าหนี่ยวนำในโรเตอร์ จะมีค่าความถี่ของสายกรณีค่าสลิบเท่ากับ 1 หรือ 100% (พิจารณาจากสมการ 2-6) เมื่อโรเตอร์หมุนอัตราที่ฟลีกแม่เหล็กผ่านตัวนำก็จะข้ามจังท่าให้ค่าสลิบลดลงไปด้วย ในสภาพเช่นนี้แรงดันไฟฟ้าหนี่ยวนำของโรเตอร์ก็จะลดลงเป็นสัดส่วนกับค่าสลิบ เนื่องสมการได้ดังนี้

$$E_R = s \times E_{BR} \quad (2-9)$$

ทำงานของเดียวกันความถี่ของโรเตอร์จะเปลี่ยนแปลงตามค่าของสลิบ ดังนี้

$$f_r = s \times f_e \quad (2-10)$$

เมื่อ

$f_r$  = ความถี่ของโรเตอร์

$E_{BR}$  = แรงดันไฟฟ้าหนี่ยวนำของโรเตอร์ขณะอยู่กับที่

$f_e$  = ความถี่ของแรงดันไฟฟ้าที่จ่ายให้มอเตอร์

$E_R$  = แรงดันไฟฟ้าหนี่ยวนำของโรเตอร์ขณะทำงาน

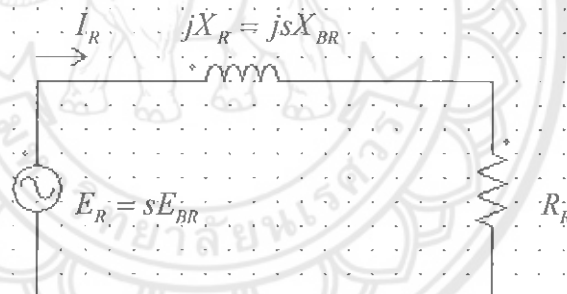
## 2.6 วงจรสมมูลโรเตอร์ (Equivalent Circuit of Rotor)

มอเตอร์อินดักชัน 3 เฟสมีหลักการคล้ายกับหม้อแปลงไฟฟ้าที่มีการลัดวงจรที่ขดลวดทุกดิบภูมิ (ขดลวดที่โรเตอร์) และมีอิสระในการเคลื่อนที่ได้อย่างต่อเนื่องตามขั้วแม่เหล็กของขดลวดปฐมภูมิ (ขดลวดที่สเตเตอร์) ดังนั้นวงจรสมมูลจึงคล้ายกับวงจรสมมูลของหม้อแปลงไฟฟ้า แรงดันไฟฟ้านี้จะสร้างกระแสไฟฟ้าในโรเตอร์ที่ถูกจำคัดด้วยอินเพคเคนซ์ของโรเตอร์ ซึ่งค่าอินเพคเคนซ์นี้ประกอบด้วย

- ความต้านทานของโรเตอร์ ( $R_R$ )
- รีแอกเคนซ์รั่วไหล (leakage reactance;  $sX_{BR}$ ) เมื่อ  $X_{BR}$  = รีแอกเคนซ์ของโรเตอร์ขดลวดอยู่กับที่รีแอกเคนซ์ของโรเตอร์จะขึ้นอยู่กับค่าอินดักเคนซ์ของโรเตอร์ ความถี่ของแรงดันและกระแสที่เกิดขึ้นในโรเตอร์

$$X_R = \omega_r L_R = 2\pi f_r L_R \quad (2-11)$$

เมื่อนำองค์ประกอบต่างๆ ของโรเตอร์มาเขียนวงจรสมมูลจะได้ดังรูป 2.6



รูป 2.6 วงจรสมมูลของโรเตอร์

จากรูป 2.6 กระแสไฟฟ้าของโรเตอร์หาได้จาก

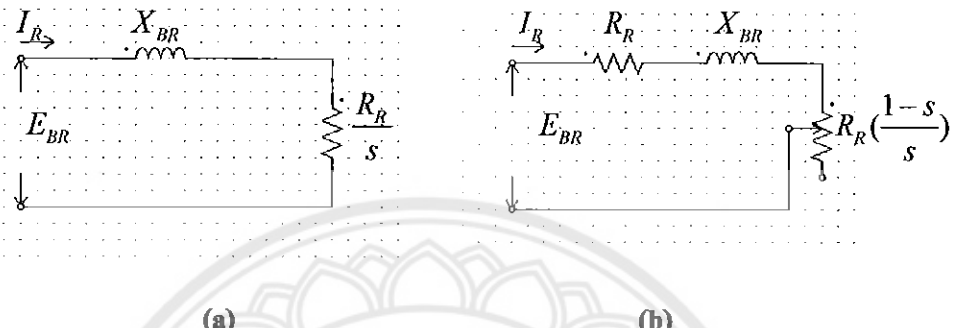
$$I_R = \frac{E_R}{R_R + jX_R} \quad (2-12)$$

$$I_R = \frac{sE_{BR}}{\sqrt{R_R^2 + (sX_{BR})^2}} \quad (2-13)$$

หารทั้งเศษและส่วนของสมการ 2-13 คือสิบ

$$I_R = \frac{E_{BR}}{\sqrt{(R_R/s)^2 + X_{BR}^2}} \quad (2-14)$$

จากสมการ 2-14 เขียนวงจรสมมูลจากสมการ 2-14 ได้ดังรูป



รูปที่ 2.7 วงจรสมมูลจากสมการ 2-14

เนื่องจากการใช้ค่าความต้านทานที่แท้จริงของโรเตอร์ดังรูป 2.7 (a) ได้สมการดังนี้

$$\frac{R_R}{s} = \frac{R_R}{s} + R_R - R_R \quad (2-15)$$

$$= R_R + R_R \left( \frac{1}{s} - 1 \right)$$

$$\frac{R_R}{s} = R_R + R_R \frac{1-s}{s}$$

จากสมการ 2-16 นี้เขียนวงจรสมมูลใหม่ดังรูป 2.7 (b) และถ้ากูณสมการนี้ตลอด จะได้สมการในเทอมกำลังไฟฟ้าดังนี้

$$I_R^2 \frac{R_R}{s} = I_R^2 R_R + I_R^2 R_R \frac{1-s}{s} \quad (2-16)$$

$I_R^2 R_R$  = กำลังสูญเสียในเขต漉ทองแดงของโรเตอร์

$I_R^2 R_R \frac{1-s}{s}$  = เป็นกำลังทางกลหรือกำลังไฟฟ้าของโรเตอร์

จากความหมายดังกล่าวจึงเขียนสมการ 2-16 ได้ใหม่เป็นดังนี้

$$P_{AG} = P_{RCL} + P_{conv} \quad (2-17)$$

$$P_{AG} = I_R^2 \frac{R_R}{s} \quad (2-18)$$

$$P_{conv} = I_R^2 R_R \frac{1-s}{s} = P_{AG}(1-s) \quad (2-19)$$

โดยทั่วไปกำลังไฟฟ้าที่เกิดในมอเตอร์เป็นผลคูณของแรงบิด ( $T$ ) กับความเร็วเชิงมุมดังนี้จึงเขียนเป็นสมการได้ดังนี้

$$P_{conv} = \omega_r T_{conv} \quad (2-20)$$

ดังนั้นแรงบิดที่เกิดขึ้นในโรเตอร์ (developed torque ;  $T$ )

$$T_{conv} = \frac{P_{conv}}{\omega_r} \quad (2-21)$$

เมื่อ

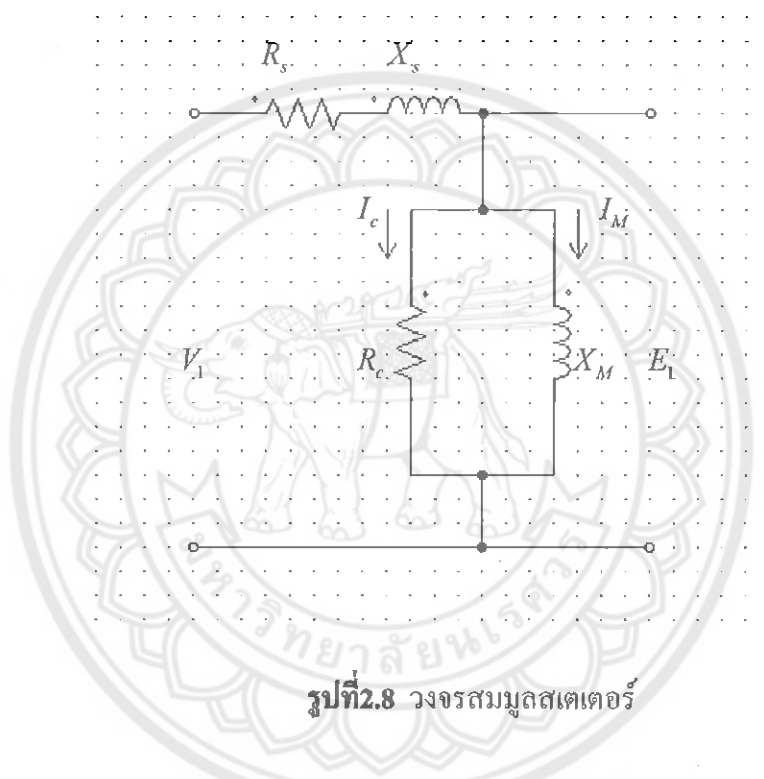
$$\omega_r = \frac{2\pi n_r}{60} \quad (2-22)$$

$\omega_r$  = ความเร็วเชิงมุมของโรเตอร์

$n_r$  = ความเร็วของโรเตอร์

## 2.7 วงจรสมมูลของสเตเตอเร (Equivalent Circuit of Stator)

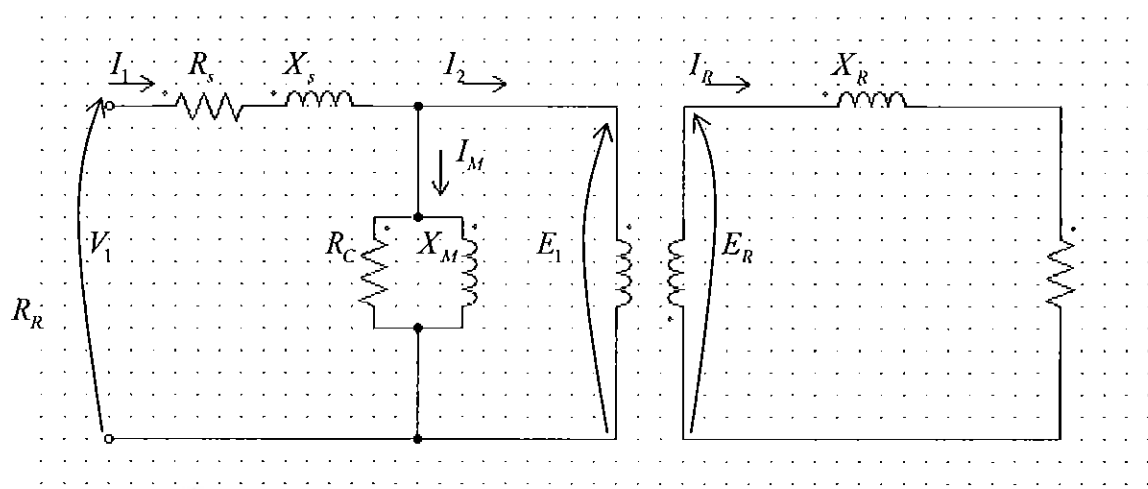
วงจรสมมูลของสเตเตอเรก็เหมือนกับวงจรสมมูลด้านขดลวดปฐมภูมิของหม้อแปลงไฟฟ้า คือ ประกอบด้วยความต้านทานของสเตเตอเร ( $R_s$ ) รีแอคเวนซ์รั่วไหลของสเตเตอเร ( $X_s$ ) และ ค่าต่าง ๆ ที่เป็นองค์ประกอบของสาขาที่เกิดจากสนามแม่เหล็ก (magnetizing branch) ได้แก่  $R_c$  (ความต้านทานของแกนเหล็ก),  $X_M$  (รีแอคเวนซ์ที่เกิดจากสนามแม่เหล็ก),  $I_c$  (กระแสไฟฟ้าที่ทำให้เกิดกำลังสูญเสียในแกนเหล็ก),  $I_M$  (กระแสไฟฟ้าที่สร้างสนามแม่เหล็ก) เบี้ยนวงจรสมมูลของสเตเตอเรได้ดังรูป 2.8



รูปที่ 2.8 วงจรสมมูลสเตเตอเร

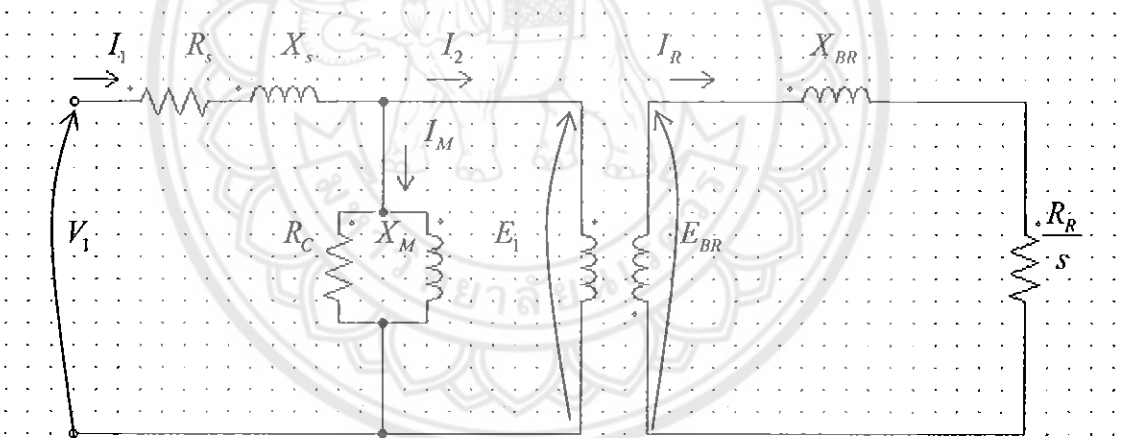
## 2.8 วงจรสมมูลของมอเตอร์อินดักชัน (Equivalent Circuit an Induction Motor)

มอเตอร์อินดักชันอาศัยหลักการหนึ่งขั้นนำของแรงดันและกระแสที่วงจรของโรเตอร์จาก วงจรของสเตเตอเร ซึ่งมีหลักการเหมือนกับหม้อแปลงไฟฟ้าดังนั้นวงจรสมมูลของมอเตอร์อินดักชัน จึงคล้ายกับวงจรสมมูลของหม้อแปลงไฟฟ้าดังรูป



รูปที่ 2.9 วงจรสมมูลของหม้อแปลงไฟฟ้าเทียบเท่ามอเตอร์อินดักชัน

เพื่อให้สอดคล้องกับรูป 2.9 จึงเขียนวงจรสมมูลใหม่ได้ดังนี้



รูปที่ 2.10 วงจรสมมูลของหม้อแปลงไฟฟ้าเทียบเท่ามอเตอร์อินดักชันใหม่

เป็นทราบกันว่าวงจรเที่ยบเคียงของหม้อแปลงไฟฟ้าสามารถข่ายด้านรวมกันได้ ถ้ารู้ค่าอัตราส่วนระหว่างจำนวนรอบของคลอดปฐมภูมิกับคลอดทุติยภูมิ ในทำนองเดียวกันถ้ารู้ค่าอัตราส่วนระหว่างจำนวนรอบของคลอดที่สเตเตอร์กับโรเตอร์ ก็จะข่ายค่าในวงจรสมมูลของคลอดทั้งสองมารวมกันได้ในที่นี้ต้องการข่ายค่าของวงจรสมมูลโรเตอร์ไปยังวงจรสมมูลสเตเตอร์ ซึ่งมีค่าต่าง ๆ ได้ดังนี้

$$E'_{BR} = aE_{BR} = E_1 \quad (2-23)$$

เมื่อ

$E'_{BR}$  = แรงดันไฟฟ้าบนโรเตอร์อยู่กับที่ที่ข่ายค่ามาข้างด้านสเตเตอร์

$$I'_R = \frac{I_R}{a} \quad (2-24)$$

เมื่อ

$I'_R$  = กระแสไฟฟ้าของโรเตอร์ที่ข่ายค่ามาข้างด้านสเตเตอร์

$$R'_R = a^2 R_R \quad (2-25)$$

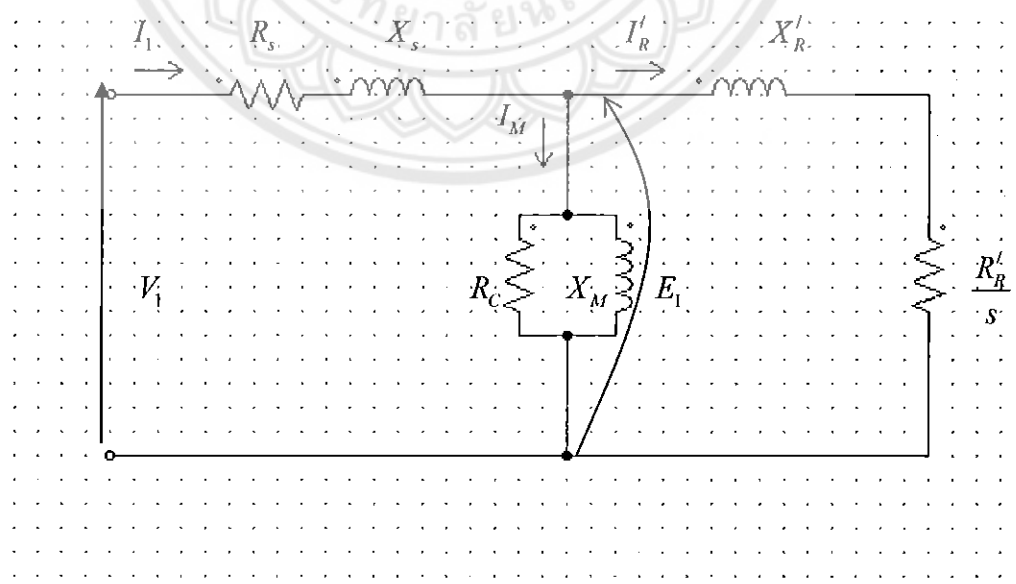
$$X'_R = a^2 X_{BR} \quad (2-26)$$

เมื่อ

$R'_R$  = ความต้านทานของโรเตอร์ที่ข่ายค่ามาข้างด้านสเตเตอร์

$X'_R$  = รีแอคเเชนต์ของโรเตอร์ที่ข่ายค่ามาข้างด้านสเตเตอร์

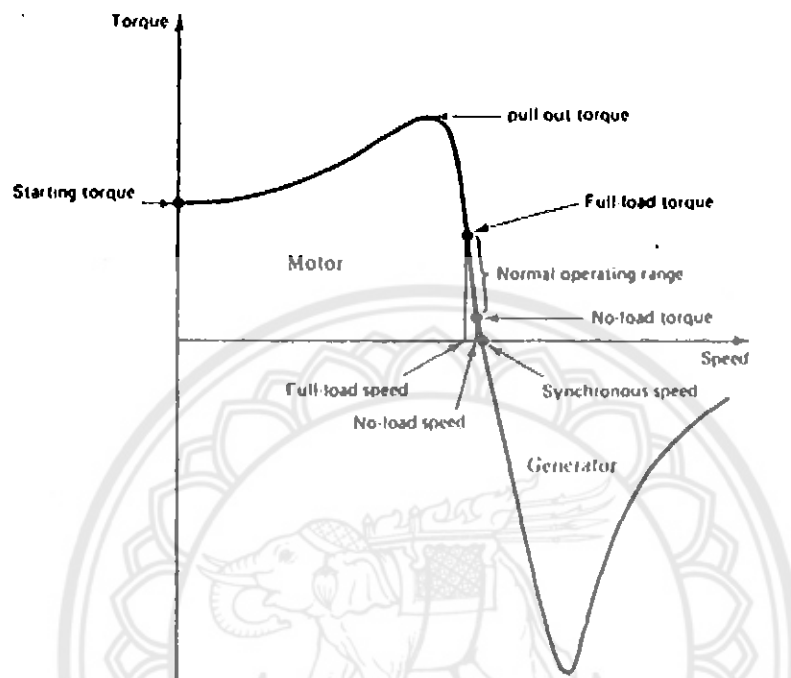
นำค่าที่ได้จากสมการ 2-23 ถึงสมการ 2-26 เขียนวงจรสมมูลของมอเตอร์อินดักชันได้ ดังรูป 2.11



รูปที่ 2.11 วงจรสมมูลของมอเตอร์อินดักชัน

## 2.9 คุณลักษณะของมอเตอร์อินดักชัน (Induction Motor Characteristics)

มอเตอร์อินดักชันแบบวัสดุโรเตอร์ที่ปรับความเร็วได้จะใช้ความต้านทานที่ปรับค่าจากภายนอกได้โดยต่ออนุกรมเข้ากับขดลวดโรเตอร์เพื่อปรับความเร็วหรือเพิ่มแรงบิดตอนเริ่มต้นหมุนของมอเตอร์ลักษณะแบบนี้นำไปใช้กับ荷ลดที่ต้องการเริ่มต้นหมุนบ่อยๆ เช่น ปั๊มจั่น เป็นต้น



รูปที่ 2.12 คุณลักษณะแรงบิด – ความเร็วในมอเตอร์อินดักชัน 3 เฟส [9]

ส่วนงานที่ต้องการกำลังทางกลค่อนข้างคงที่และเริ่มต้นหมุนไม่น่าอยู่นัก เช่น มอเตอร์ที่ใช้ขับปั๊มเครื่องเป่าอากาศ พัดลม จะใช้มอเตอร์อินดักชันที่มีโรเตอร์แบบวงกระรอก

## 2.10 หลักการทำงานของมอเตอร์อินดักชันมีดังนี้

1. แรงบิดที่เกิดขึ้นเป็นศูนย์ที่ความเร็วซิงโครนัส
2. เส้นโค้งแรงบิด – ความเร็วเกือบเป็นเชิงเส้นในช่วงระหว่างแรงบิดจะไม่มีโหลดกัน แรงบิดจะจ่ายโหลดเดิมที่ ซึ่งเรียกว่าช่วงนี้ว่า ย่านทำงานปกติของมอเตอร์
3. มีแรงบิดสูงสุด ( Maximum Torque ซึ่งบางครั้งเรียกว่า Pull-Out Torque) เป็น 2-3 เท่า ของแรงบิดที่พิกัดจะจ่ายโหลดเดิมที่
4. มีแรงบิดเริ่มต้นหมุนมากกว่าแรงบิดที่พิกัดเล็กน้อย ดังนั้นมอเตอร์จึงเริ่มต้นขึ้นโดย หรือต่อกับโหลดจะเริ่มต้นหมุนได้ทันที โดยแรงบิดที่โหลดนั้นจะต้องไม่นักกว่าแรงบิด ที่พิกัด
5. การสับساบคู่โดยที่หนึ่งจะทำให้สามารถเปลี่ยนทิศทางมอเตอร์ซึ่งหมุนกลับ ทิศทางได้แต่ก่อนที่จะกลับทิศทางนั้นจะมีอยู่จุดหนึ่งที่มอเตอร์หยุดอยู่กับที่อย่างรวดเร็วซึ่ง เราระบุว่า Plugging ซึ่งนำไปสู่หลักการควบคุมมอเตอร์
6. ถ้ามอเตอร์ของมอเตอร์อินดักชันขับด้วยความเร็วที่สูงกว่าความเร็วซิงโครนัสแรงบิดที่ เกิดขึ้นในมอเตอร์จะกลับทิศทางและมอเตอร์ดังกล่าวจะทำงานเป็นเครื่องกำนันไฟฟ้าซึ่ง เปลี่ยนกำลังกลับเป็นกำลังไฟฟ้า

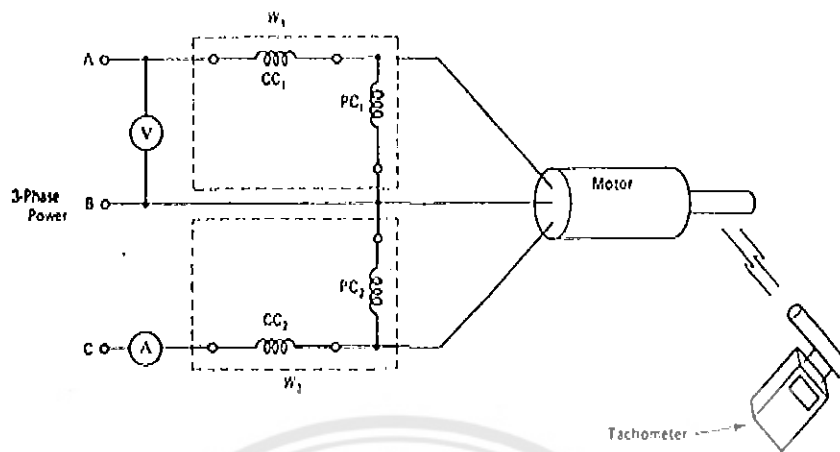
## 2.11 มอเตอร์ที่มีโรเตอร์แบบ瓦ล์วโรเตอร์ (Wound-Rotor Motor)

มอเตอร์อินดักชันแบบ瓦ล์วโรเตอร์กับแบบกรุงกระรอกมีโครงสร้างของโรเตอร์ต่างกัน แต่มีโครงสร้างของสเตเตอร์เหมือนกันมอเตอร์ที่มีโรเตอร์แบบกรุงกระรอกมีข้อจำกัดคือ ขณะ ทำงานสภาพปกติความต้านทานของโรเตอร์คงที่ ถ้าต้องการให้มอเตอร์ชนิดนี้มีประสิทธิภาพสูงจึง จำเป็นต้องออกแบบให้โรเตอร์มีความต้านทานต่ำ แต่จะทำให้มีกระแสไฟฟ้าเริ่มต้นหมุนสูงจึง ส่งผลให้แรงบิดเริ่มต้นหมุนของโรเตอร์ชนิดนี้ต่ำ

ในการกลับกันโรเตอร์ของมอเตอร์แบบ瓦ล์วโรเตอร์จะต่ออยู่กับสลิบiringซึ่งติดอยู่กับ แปรรูปด้าน ดังนั้นจึงต่อความต้านทานจากภายนอกนุ่มนวลกับโรเตอร์ได้และถ้าเราเพิ่มความต้านทานขณะมอเตอร์เริ่มต้นหมุนกระแสไฟฟ้าเริ่มต้นจะลดลงส่งผลให้แรงบิดเริ่มต้นหมุนเพิ่มขึ้น เมื่อมอเตอร์มีความเร็วเพิ่มขึ้น สามารถปรับความต้านทานจากภายนอกลดลงได้เพื่อให้เกิดแรงบิดสูงสุดตลอดช่วงที่มีการเร่งและถ้าความเร็วของมอเตอร์เหมาะสมกับการทำงานแล้ว จึงปลดความต้านทานจากภายนอกออกจากร่วงด้วยการลัดวงจรที่แปรรูปด้าน

เนื่องจากมอเตอร์แบบ瓦ล์วโรเตอร์ที่สามารถคงแรงบิดสูงสุดไว้ได้ตลอดช่วงที่มีการเร่งจึง นิยมใช้กับโหลดที่มีความต้องการแรงบิดสูง

## 2.12 การทดสอบขณะไม่มีโหลด (No – load Test)



รูปที่ 2.13 การทดสอบขณะไม่มีโหลด (No – load Test) [9]

การทดสอบนี้ต้องข่ายค่าแรงดันไฟฟ้าที่พิกัดให้กับคลัวค์ที่สเตเตอเริ่บจะที่ไม่มีโหลดคือที่แกนของมอเตอร์ ดังรูป 2.13 ค่าที่ต้องการทราบคือ

$$V_{NL} = \text{แรงดันไฟฟ้าที่สายของสเตเตอเริ่บ} \quad (\text{อ่านได้จากโวลต์มิเตอร์} ; V)$$

$$I_{NL} = \text{กระแสไฟฟ้าที่สาย} \quad (\text{อ่านได้จากแอมมิเตอร์} ; A)$$

$$P_{NL} = \text{กำลังไฟฟ้าที่จ่ายให้มอเตอร์ขณะไม่มีโหลดทั้ง 3 เฟส} \quad (\text{อ่านได้จากผู้รวมของวัตต์มิเตอร์} \text{ ทั้ง 2 ตัว หรือ } P_{NL} = W_1 + W_2)$$

การทดสอบนี้ไม่มีโหลดคือต่ออยู่ที่แกน ดังนั้นความเร็วของแกนโรเตอร์ ( $n_r$ ) จึงสูง (วัดได้จาก Tachometer) ส่งผลให้ค่าสลิบต่ำ (จากสมการ 2-6 กล่าวว่า  $s = \frac{n_s - n_r}{n_s}$ ) นอกจากนี้

กระแสไฟฟ้าของโรเตอร์มีค่าต่ำทำให้กำลังสูญเสียในคลัวค์ของโรเตอร์ ( $P_{RCL}$ ) มีค่าต่ำมาก (จากสมการ 2-19 กล่าวว่า  $P_{RCL} = I_R^2 R_R$ ) เราจึงไม่คิดค่ากำลังสูญเสียในส่วนนี้ ดังนั้น ( $P_{NL}$ ) จึงประกอบด้วยกำลังสูญเสียในแกนเหล็ก ( $P_{core}$ ), กำลังสูญเสียทางกล ( $P_{mech}$ ) และกำลังสูญเสียในคลัวค์ของสเตเตอเริ่บ ทั้ง 3 เฟส เป็นสมการได้ดังนี้

$$P_{SCL} = 3I_{NL}^2 R_s \quad (2-27)$$

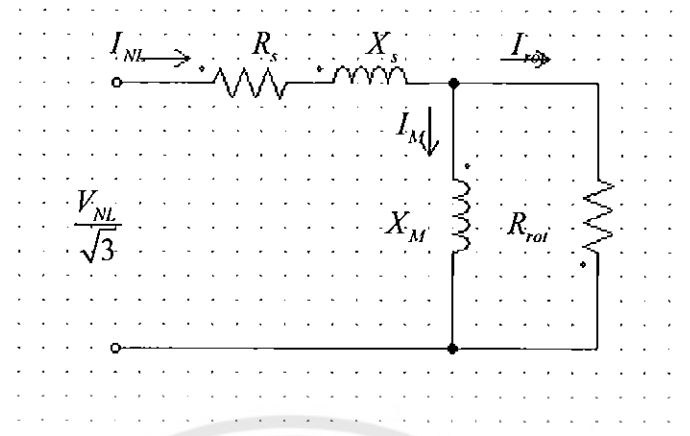
$$P_{NL} = P_{core} + P_{mech} + 3I_{NL}^2 R_s \quad (2-28)$$

ผู้รวมของ  $P_{mech}$  และ  $P_{core}$  เราเรียกว่ากำลังสูญเสียในแกนหมุน (Rotation Losses ;  $P_{rot}$ ) ซึ่งเป็นค่าคงที่หาได้จาก

$$P_{rot} = P_{NL} - 3I_{NL}^2 R_s \quad (2-29)$$

ความต้านทานของสเตเตอเริ่บ ( $R_s$ ) หากำได้จากการวัดความต้านทานของคลัวค์ที่สเตเตอเริ่บ

สำหรับวงจรสมมูลของมอเตอร์อินดักชันในการทดสอบจะไม่มีโหลดเป็นดังรูป 2.14



รูปที่ 2.14 วงจรสมมูลของมอเตอร์อินดักชันในการทดสอบจะไม่มีโหลด

ขณะไม่มีโหลดค่า Power Factor ต่ำแสดงว่าองค์ประกอบของวงจรสมมูลส่วนใหญ่เป็นรีแอกเคนซ์ซึ่งย่อมหมายถึงรีแอกเคนซ์ที่เกิดจากสนามแม่เหล็ก ( $X_M$ ) เพราะค่า  $R_s$  และ  $X_S$  มีค่าน้อยเมื่อเทียบกับ  $X_M$  ถ้าเป็นมอเตอร์แบบดั้งเดิม (conventional motor) ค่า  $X_M \gg X_S$  ดังนั้นกระแสไฟฟ้า  $I_{NL}$  จะต้องถูกหักแรงดันไฟฟ้า  $V_{NL}$  แต่สำหรับความต้านทานที่เป็นองค์ประกอบของ  $P_{rot}$  (คือ  $R_{rot}$ ) จะมีค่าสูงเมื่อเทียบกับ  $X_M$  ทำให้กระแสไฟฟ้าที่เป็นองค์ประกอบของ  $P_{rot}$  (คือ  $I_{rot}$ ) มีค่าต่ำมากเมื่อเทียบกับ  $I_M$  ซึ่งแสดงว่าภายใต้ข้อสมมตินี้จะได้ค่า

$$X_M = \frac{V_{NL}}{\sqrt{3}I_{NL}} \quad (2-30)$$

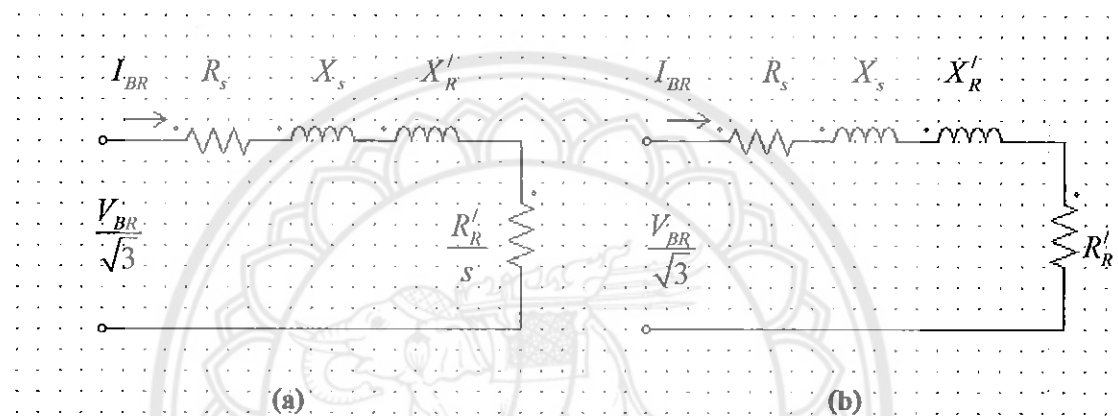
เมื่อ

$X_M$  = รีแอกเคนซ์ที่เกิดจากสนามแม่เหล็ก

### 2.13 การทดสอบการยึดโรเตอร์ (Locked – rotor Test)

การทดสอบจะต้องปรับแรงดันไฟฟ้าจนได้กระแสไฟฟ้าที่พิกัดของสเตเตอร์ (เช่นเดียวกับกรณีทดสอบลักษณะของหม้อแปลงไฟฟ้า) สมมติแรงดันไฟฟ้าที่ป้อนให้การทดสอบ มีค่า 10-20% ของแรงดันไฟฟ้าที่พิกัด ฟลักแม่เหล็กที่เกิดขึ้นที่ Air Gap มีค่าน้อยแสดงว่า  $X_M$  มีปริมาณมากกว่าปกติ ดังนั้นเราจึงไม่สนใจค่า  $X_M$  ทำให้เขียนวงจรสมมูลใหม่ดังรูป 2.15(a)

และเนื่องจากการทดสอบนี้โรเตอร์ถูกยึดไม่ให้หมุน ( $n_r = 0$ ) ทำให้ค่าสลิบ = 1 หรือ 100% ส่งผลให้  $\frac{R'_R}{s} = R'_R$  จึงเขียนวงจรสมมูลใหม่ดังรูป 2.15(b)



รูปที่ 2.15 วงจรสมมูลการทดสอบการยึดโรเตอร์

การทดสอบนี้ทำเพื่อหาค่าต่อไปนี้  
 $V_{BR}$  = แรงดันไฟฟ้าที่สายขณะยึดโรเตอร์  
 $I_{BR}$  = กระแสไฟฟ้าที่สายขณะยึดโรเตอร์  
 $P_{BR}$  = กำลังไฟฟ้าทั้ง 3 เฟสขณะยึดโรเตอร์

เมื่อทราบค่าดังกล่าวประกอบกับการพิจารณารูป 2.15(b) ทำให้หาค่าสมมูลของมอเตอร์ ได้ดังนี้

$$Z_e = \frac{V_{BR}}{\sqrt{3}I_{BR}} = (R_s + R'_R) + j(X_s + X'_R) \quad (2-31)$$

$$R_e = \frac{P_{BR}}{3I_{BR}^2} = R_s + R'_R \quad (2-32)$$

$$X_e = \sqrt{Z_e^2 - R_e^2} = X_s + X'_R \quad (2-33)$$

เมื่อ

$Z_e$  = อิมพีడเอนซ์ที่ยับเคียงต่อเฟสของมอเตอร์

$R_e$  = ความต้านทานที่ยับเคียงต่อเฟสของมอเตอร์

$X_e$  = รีแอคเคนซ์ที่ยับเคียงต่อเฟสของมอเตอร์

$Z_s$  = อิมพีడเอนซ์ต่อเฟสของขดลวดที่สเตเตอร์

$R_s$  = ความต้านทานต่อเฟสของขดลวดที่สเตเตอร์

$X_s$  = รีแอคเคนซ์ต่อเฟสของขดลวดที่สเตเตอร์

การวัดค่า  $R_s$  จะแยกต่างหากทำให้ความต้านทานของโรเตอร์ที่ขับค่ามาข้างด้านสเตเตอร์ ( $R_R$ ) มีค่าเป็น

$$R_R = R_e - R_s \quad (2-34)$$

มีข้อสมมติเกี่ยวกับมอเตอร์แบบวัลว์โรเตอร์ที่เป็นที่ยอมรับว่า

$$X_s = X_R = 0.5X_e \quad (2-35)$$

การหาค่ารีแอคเคนซ์และความต้านทานที่แท้จริงของโรเตอร์ ( $X_R$  และ  $R_R$ ) จะต้องทราบค่า  $X'_R$  และ  $R'_R$  รวมทั้งค่าอัตราส่วนจำนวนรอบของขดลวดหรืออัตราส่วนของการขับค่า (Turn Ratio or Transformation Ratio ; a) เสียก่อน การหาค่า a ทำได้เช่นเดียวกับหน้าแปลงไฟฟ้าคือ ใช้อัตราส่วนระหว่างแรงดันไฟฟ้าที่สายที่จ่ายให้กับมอเตอร์ ( $V_L$ ) กับแรงดันไฟฟ้าที่โรเตอร์หรือแรงดันไฟฟ้าที่วัดได้จากสตีบิริง ( $V_{sr}$ ) หรือหาค่าได้จากอัตราส่วนจำนวนรอบของขดลวดทั้งสองซึ่งเป็นสมการได้ดังนี้

$$a = \frac{V_L}{V_{sr}} = \frac{N_s}{N_r} \quad (2-36)$$

เมื่อ

$N_s$  = จำนวนรอบของขดลวดต่อเฟสในสเตเตอร์

$N_r$  = จำนวนรอบของขดลวดต่อเฟสในโรเตอร์

เมื่อนำหลักการขับค่าของหรือแปลงไฟฟ้ามาใช้ ค่ารีแอคเคนซ์ที่แท้จริงของโรเตอร์ ( $X_R$ ) จึงมีค่าเป็น

$$X_R = \frac{X'_R}{a^2} \quad (2-37)$$

ในทำนองเดียวกัน ความต้านทานแท้จริงของโรเตอร์ ( $R_R$ ) จึงมีค่าเป็น

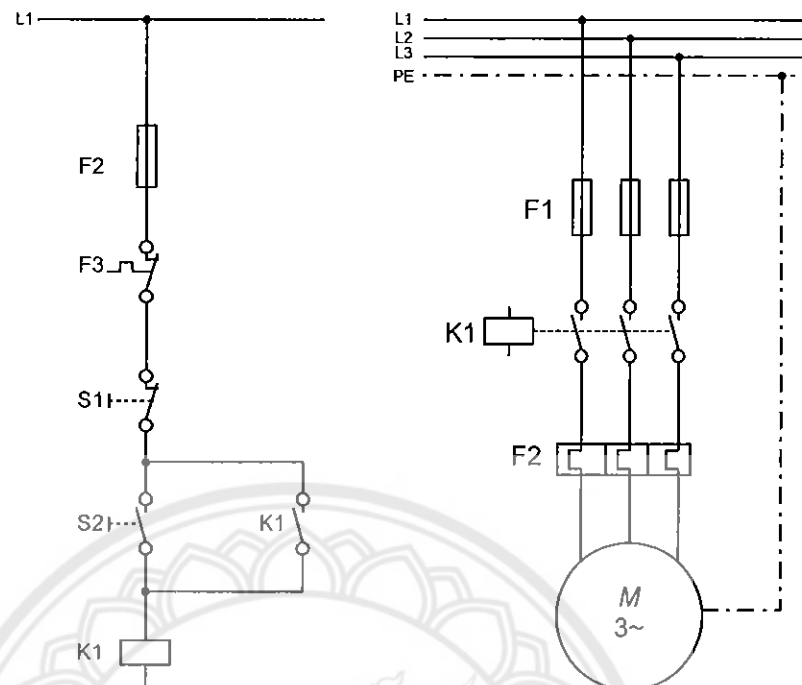
$$R_R = \frac{R'_R}{a^2} \quad (2-38)$$

## 2.14 เทคนิคในการเริ่มต้นหมุนของเตอร์อินดักชัน

### 2.14.1 การสตาร์ทแบบ Full Voltage Starting

Full Voltage Starting หรืออีกชื่อคือ "การสตาร์ทแบบต่อโดยตรงจากไลน์" (Direct on – Line Starting, DOL) โดยทั่วไปวิธีนี้จะใช้กับมอเตอร์ขนาดเล็กจนถึง 7.5 kW ลักษณะการต่อใช้งานง่ายความของเตอร์จะได้รับแรงดันเดิมพิกัดเช่น ถ้าแผ่นป้ายมอเตอร์บันอกพิกัดแรงดันเป็น 220/380 V. ก็จะต้องเป็นแบบสตาร์ท (เนื่องจากระบบไฟฟ้าอุตสาหกรรมในบ้านเรายังคงเป็นแบบ 3 phase 380 volt 50 Hz.) หรือถ้าแผ่นป้ายบันอกพิกัดแรงดันเป็น 400/690 V. ก็จะต้องเป็นแบบเดลต้าการสตาร์ทด้วยวิธีนี้มอเตอร์จะมีกระแสขบวนสตาร์ทสูงถึง 4-8 เท่าของกระแสพิกัด ส่วนทอร์กจะมีค่า 0.5-1.5 เท่าของแรงบิดพิกัดขึ้นอยู่กับคุณสมบัติด้านทอร์กของมอเตอร์แต่ต่ำตัว

การสตาร์ทด้วยวิธีนี้หากใช้กับเครื่องจักรที่มีโหลดหนักๆ จะทำให้อัตราเร่งของโรเตอร์สูงเกินไป เนื่องจากมอเตอร์มีแรงบิดขณะสตาร์ทสูงทำให้เกิดการกระซิบกระซิบ (Oscillations) ของทอร์กที่เพล่า ซึ่งจะนำไปสู่การสึกหรอของชุดสต็อปกำลังชุดเกียร์และชุดขับเคลื่อน หากใช้กับเครื่องจักรที่มีโหลดหนักๆ ก็อาจจะทำให้เกิดปัญหาอื่นๆ ได้เหมือนกัน เช่น อาจส่งผลทำให้สายพานและมูลเดอร์เกิดการลื่น ถอดทำให้เกิดการชำรุดและสึกหรอย่างรวดเร็ว หากใช้กับปั๊มน้ำจะทำให้ปั๊มเกิดการคลอนตัว เกิดการกระแทกของท่อในขณะมอเตอร์ทำงานและหยุดทำงานการสตาร์ทแบบ DOL โดยทั่วไปเป็นวิธีที่ได้รับความนิยมใช้งานกันอย่างกว้างขวาง เนื่องจากเป็นวิธีการสตาร์ทที่ทำได้ง่ายๆ มีค่าใช้จ่ายต่ำความผิดพลาดในการสตาร์ทที่มีน้อยจึงทำให้มีเส้นเชื้อ และมีแรงดึงดูดจนทำให้ล้มคิดถึงค่าใช้จ่ายแพงที่จะส่งผลกระทบในระยะยาว เช่น ค่าใช้จ่ายในการบำรุงรักษาที่เพิ่มขึ้น อยุกการใช้งานอุปกรณ์สต็อปกำลังและอื่นๆ ลดลงของการกันน้ำ ยังอาจเกิดความเสี่ยงต่อความเสียหายของมอเตอร์ค่อนข้างสูง โดยเฉพาะการใช้งานที่มีการสตาร์ทและหยุดบ่อยๆ



รูปที่ 2.16 Schematic Diagram ของวงจรกำลังและวงจรควบคุม [6]

### ขั้นตอนการทำงาน

1. กดสวิตช์ S2 คอนแทคเตอร์ K1 ทำงานปล่อยสวิตช์ S2 คอนแทคเตอร์ K1 ยังทำงานอยู่ ตลอดเวลาเนื่องจากหน้าสัมผัสช่วงปักติเปิด K1 ใน霎เวลาที่ 2 ทำงานหน้าสัมผัสจะปิดกระแสไฟฟ้า ให้เลี้ยวไปในบค漉ดของแมกเนติกต่อกลอดเวลา
2. เมื่อเกิดสภาวะโอลเวอร์โหลดหน้าสัมผัสของโอลเวอร์โหลดปักติปิด (F3) จะตัววงจรไม่มีกระแส ให้เลี้ยวเดลค่อนแทคเตอร์ K1 จะหยุดทำงาน
3. ในการหยุดการทำงานของวงจรให้กดสวิตช์ S1
4. ถ้าฟิวส์ F2 ขาดวงจรจะหยุดทำงาน
5. เมื่อเกิดสภาวะโอลเวอร์โหลดให้วงจรทำงานใหม่ให้กดปุ่มเรซ์ทโอลเวอร์โหลดหน้าสัมผัสกลับสู่ สภาพเดิมแล้วทำการกด S2 ใหม่เมื่อเทอร์จะกลับมาทำงานตามเดิม

**ข้อดี** (Advantages) อุปกรณ์ไม่สลับซับซ้อน, ง่ายแก่การติดตั้ง, ง่ายแก่การบำรุงรักษา ด้านทุนหรือค่าใช้จ่ายต่ำเพรำมีเพียงสวิตช์ตัดตอนทางไฟฟ้า (Switch Gear)

**ข้อเสีย** (Disadvantages) กระแสไฟฟ้าเริ่มนิ่งหมุนสูงประมาณ 4 เท่าของกระแสไฟฟ้าพิกัด, แรงดันไฟฟ้าตกขณะสับสวิตช์เริ่มนิ่งหมุนทั้งนี้ขนาดของแรงดันไฟฟ้าตกคลื่นขึ้นอยู่กับขนาดของ Short Circuit Power ของแหล่งจ่ายกำลังไฟฟ้า

#### 2.14.2 การสตาร์ทโดยการลดแรงดัน (Reduce Voltage Starting)

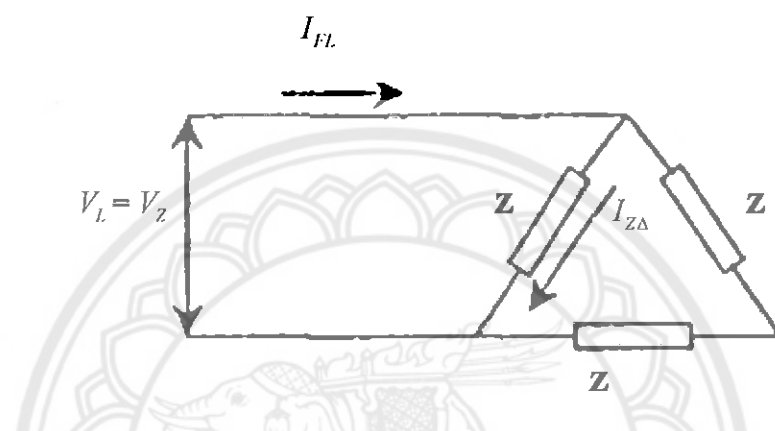
เทคนิคการลดแรงดันช่วงสตาร์ทโดยทั่วไปจะมีหลายวิธี เช่น Auto-Transformer Starting หรือ Primary Resistance Starting และอื่นๆ แต่ในส่วนนี้จะกล่าวถึงวิธีที่นิยมใช้งานมากที่สุดในอุตสาหกรรมคือการสตาร์ทแบบสตาร์-เดลต้า (Star – Delta Starting) องค์ประกอบของวงจรแบบสตาร์-เดลต้าจะประกอบด้วยคอนแทกเตอร์ 3 ชุด และไทร์มเมอร์ วิชั่น์ สำหรับใช้งานกับมอเตอร์ขนาดกลางจนถึงขนาดใหญ่ที่บัดลัดสแตเตเตอร์ถูกออกแบบมาใช้งานที่พิกัดเมื่อต่อแบบเดลต้า ( $400/690\text{ V.}$ ) ลักษณะการทำงานของวงจรสตาร์ทแบบนี้เมื่อเริ่มสตาร์ทบัดลัดของมอเตอร์จะถูกต่อวงจรให้เป็นแบบสตาร์โดยคอนแทกเตอร์ (แรงดันที่จ่ายเข้าบัดลัดจะต่ำกว่าพิกัด 42% และเหลือเพียง 58%) หลังจากนั้น เมื่อความเร็วของมอเตอร์เพิ่มขึ้นถึง 80% บัดลัดก็จะถูกเปลี่ยนไปเป็นแบบเดลต้าโดยใช้ไทร์มเมอร์เป็นตัวตั้งเวลา ผลของการสตาร์ทด้วยวิธีนี้จะทำให้แรงบิดมอเตอร์ลดลงเหลือ 1 ใน 3 (ประมาณ 34%) ของแรงบิดขณะถูกล็อกโรเตอร์ (Locked Rotor Torque, LTR) ซึ่งก็ทำให้กระแสขาดสตาร์ทและอัตราการเร่งเครื่องลดลงด้วยแต่อย่างไรก็ตามในช่วงที่มีการปลดวงจรเพื่อเปลี่ยนจากสตาร์ไปเป็นเดลต้าอย่างรวดเร็ว จะมีสนามแม่เหล็กตกรักษาและมีกระแสไฟไหลในโรเตอร์ซึ่งจะทำให้เกิดแรงดันในบัดลัดสแตเตอร์ เนื่องจากความถี่โรเตอร์และในขณะที่ต่อแบบเดลต้าเข้าไปอีกครั้ง ในขณะที่ความเร็วของโรเตอร์ต่ำกว่า 80% จะทำให้เกิดกระแสสูงและเกิดการแกว่ง (Oscillation) ของกระแสและแรงบิดซึ่งทำให้มีค่าสูงสุดถึง 15 เท่าของแรงดันไฟฟ้าสูงสุด

ตัวอย่าง พิสูจน์ให้เห็นว่ากระแสที่ไหลผ่านขดลวดของมอเตอร์ในจังหวะการต่อแบบสตาร์ มีค่าเท่ากับ  $\frac{1}{3}$  เท่าของกระแสไฟลัดเติมที่ของวงจรควบคุมมอเตอร์แบบสตาร์-เดลต้า

วิธีทำ

$$\text{กระแสไฟลัดเติมที่ของมอเตอร์(ต่อแบบเดลต้า)} = I_{FL} \quad \text{A.}$$

จังหวะการต่อแบบเดลต้า



รูปที่ 2.17 ขบวนมอเตอร์ต่อแบบเดลต้า [6]

$$\text{แรงดันต่อกำรร้อนขดลวดขณะต่อแบบเดลต้า} \quad V_Z = V_L \quad \text{V.}$$

$$\text{กระแสผ่านขดลวดขณะต่อแบบเดลต้า} \quad I_{Z\Delta} = \frac{I_{FL}}{\sqrt{3}} \quad \text{A.}$$

$$\text{แต่} \quad I_{Z\Delta} = \frac{V_L}{Z} \quad \text{A.}$$

$$\text{ดังนั้น} \quad \frac{V_L}{Z} = \frac{I_{FL}}{\sqrt{3}} \quad \text{A.}$$

$$\therefore Z = \frac{\sqrt{3} \times V_L}{I_{FL}} \quad \Omega$$

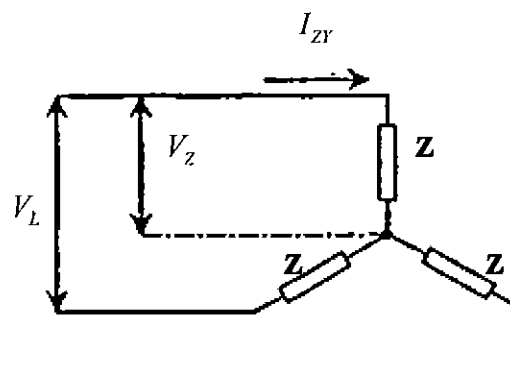
๑๕๘๐๗๒๖๘

บ.ร.

๗๖๙๑

๒๕๕๑

จังหวัดการต่อแบบสตาร์



รูปที่ 2.18 ขลمامอเดอร์ต่อแบบสตาร์ [6]

แรงดันต่อกำรร้อมของคลื่นกระแสต่อแบบสตาร์

$$V_z = \frac{V_L}{\sqrt{3}} \quad \text{V.}$$

กระแสผ่านขดลวดขณะต่อแบบสตาร์

$$I_{zy} = \frac{V_z}{Z} \quad \text{A.}$$

ดังนั้น

$$I_{zy} = \frac{V_L}{\sqrt{3} \times Z} \quad \text{A.}$$

แต่

$$Z = \frac{\sqrt{3} \times V_L}{I_{FL}} \quad \Omega$$

ดังนั้น

$$I_{zy} = \frac{\sqrt{3} \times I_{FL}}{\sqrt{3} \times \sqrt{3} \times V_L} \quad \text{A.}$$

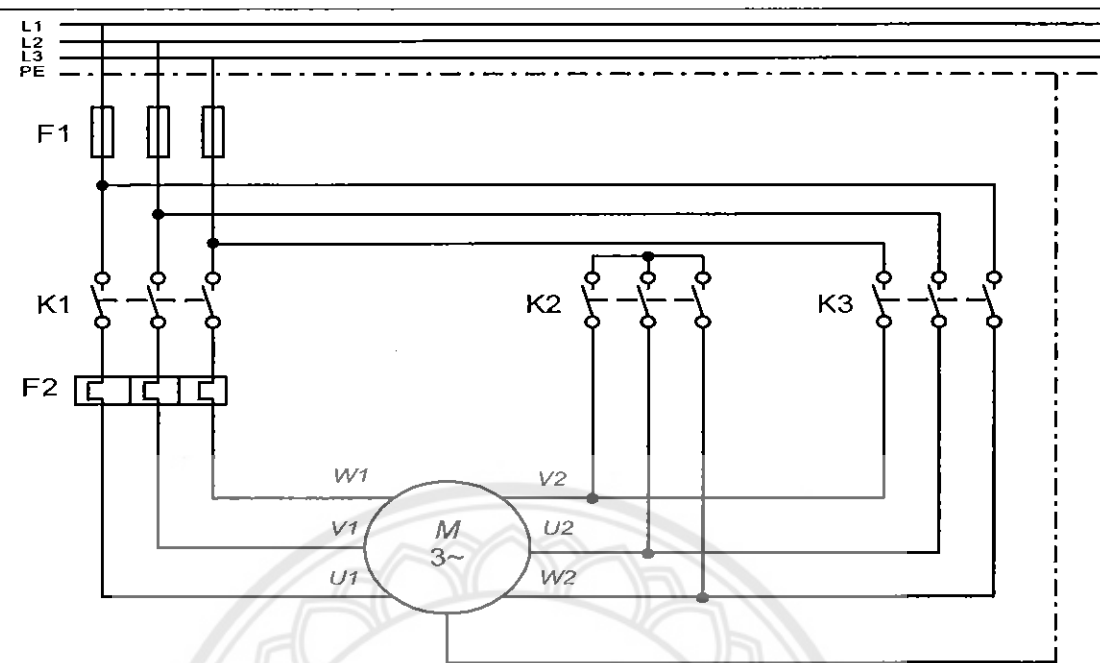
∴

$$I_{zy} = \frac{I_{FL}}{3} \quad \text{A.}$$

สรุปได้ว่า

$$\text{กระแสผ่านขดลวดขณะต่อแบบเดลต้า} \quad I_{z\Delta} = \frac{I_{FL}}{\sqrt{3}} \quad \text{A.}$$

$$\text{กระแสผ่านขดลวดขณะต่อแบบสตาร์} \quad I_{zy} = \frac{I_{FL}}{3} \quad \text{A.}$$

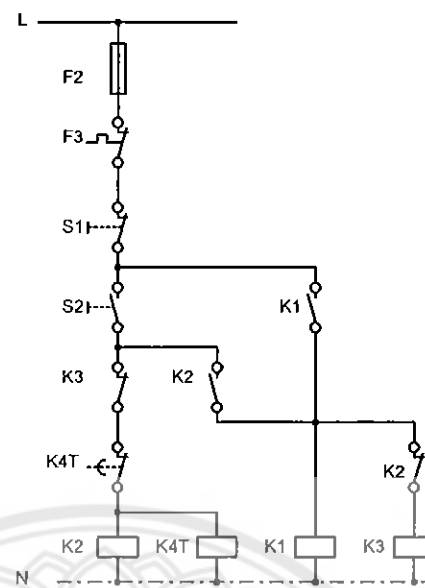


รูปที่ 2.19 วงจรกำลังของการสตาร์ทมอเตอร์แบบสตาร์-เดลต้า [6]

### วงจรกำลัง(Power Circuit)

วงจรกำลังของการสตาร์ทมอเตอร์แบบสตาร์- เดลต้านี้การสตาร์ทจะต้องเรียงกันไปจากสตาร์ทไปเดลต้าและ ก่อนแทกเดอร์สตาร์ทกับก่อนแทกเดอร์เดลต้าจะต้องมี Interlock ซึ่งกันและกัน การควบคุมมี 2 อย่างคือ เปลี่ยนจากสตาร์ทไปเดลต้าโดยการกด Push button กับเปลี่ยนโดยอัตโนมัติ ด้วยการใช้รีเลย์ตั้งเวลาการควบคุมแบบอัตโนมัติ 2 วิชี

1. ต่อจุดสตาร์ทด้วย K2 ก่อนจ่ายไฟเข้า K1
2. จ่ายไฟด้วย K1 ก่อนต่อจุดสตาร์ทด้วย K2



รูปที่ 2.20 วงจรควบคุมมอเตอร์ สตาร์-เดลต้า [6]

### วงจรควบคุม (Control Circuit)

ลำดับขั้นตอนการทำงาน

- กด S2 ทำให้คอนแทก K2 ทำงานต่อแบบสตาร์และรีเลย์ตั้งเวลา K4T ทำงานคอนแทกปิดของ K2 ใน霎วที่ 4 ตัวจร K3 และคอนแทกปกติปิดใน霎วที่ 2 ตัวจรให้เม่นคอนแทก K1
- หลังจากที่ K1 ทำงานและปล่อย S2 ไปแล้วหน้าสัมผัสปกติปิด (N.O.) ของ K1 ใน霎วที่ 3 ต่อ วงจรที่คอนแทกเตอร์ K2 และตัวตั้งเวลา K4T จะทำงานตลอดเวลาและนึ่งมอเตอร์หมุน

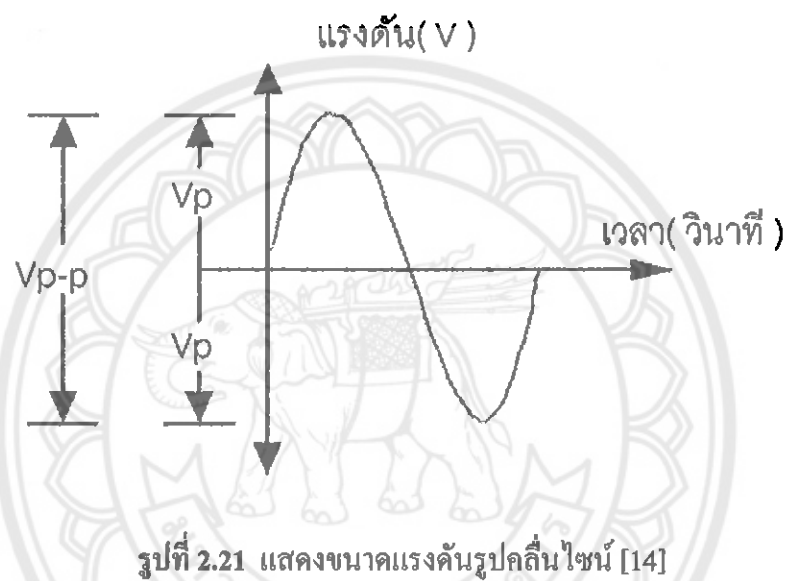
แบบสตาร์

- รีเลย์ตั้งเวลา K4T ทำงานหลังจากเวลาที่ตั้งไว้ก่อนแทกเตอร์ K2 จะถูกตัดออกจากการหัวบยหน้าสัมผัสปกติปิด (N.C.) ของ รีเลย์ตั้งเวลา K4T ใน霎วที่ 1 และหน้าสัมผัสปกติปิด (N.C.) ของ K2 ใน 霎วที่ 4 กลับสู่ สภาพะเดิมต่อวงจรให้กันคอนแทกเตอร์ K3 ทำงานและหน้าสัมผัสปกติปิด (N.C.) ของ K3 ใน霎วที่ 1 จะตัดคอนแทกเตอร์ K2 และรีเลย์ตั้งเวลา K4T ออกจากวงจรจะคงเหลือคอนแทกเตอร์ K1 และ K3 ทำงานร่วมกันมอเตอร์หมุนแบบเดลต้า (Delta)

- เมื่อต้องการหยุดการทำงานของมอเตอร์ให้กดสวิตช์ S1 (Stop)

## 2.15 ออสซิลโลสโคป

ออสซิลโลสโคปหรือเรียกสั้น ๆ ว่า สโคป (Scope) มีชื่อเดิมมาจากแคร์โทเครย์ ออสซิลโลสโคป (Cathode Ray Oscilloscope : CRO) หมายถึง ออสซิลโลสโคปใช้หลอดรังสี แคร์โท สโคปเป็นเครื่องมือวัดทางอิเล็กทรอนิกส์ที่สำคัญอีกชนิดหนึ่งที่ใช้ในการวัดแสดงรูปคลื่นสัญญาณต่างๆ ออกรามเป็นภาพประกายบนหลอดภาพให้เห็นได้ ซึ่งการวัดแอมป์ลิจูดของสัญญาณแรงดันไฟฟ้าจะวัดเป็น  $V_{pp}$  ซึ่งจะแตกต่างกันการวัดจากมิเตอร์ทั่วไปที่จะได้ค่าอกรามเป็น  $V_{rms}$



รูปที่ 2.21 แสดงขนาดแรงดันรูปคลื่นไข่น [14]

$V_{pp}$  กือ แรงดันไฟฟ้าพีค-ทุ-พีค (ยอดถึงยอด)

$V_p$  กือ แรงดันไฟฟ้าพีค (คิดเพียงยอดคลื่นเดียว)

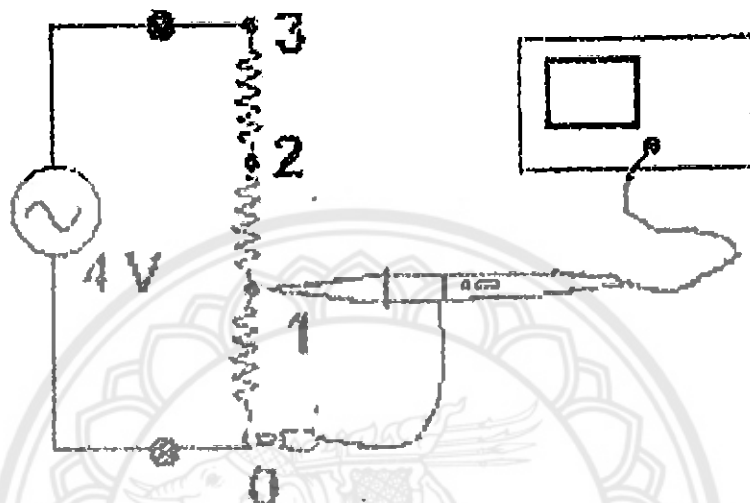
$$V_{pp} = 2V_p$$

$$V_{rms} = 0.707V_p$$

เราสามารถใช้ออสซิลโลสโคปวัดแรงดันไฟฟ้ากระแสตรง (DC) วัดแรงดันไฟฟ้ากระแสสลับ (AC) และกระแสไฟฟ้าของสัญญาณวัดค่าเวลา คานเวลา และความถี่ของสัญญาณ วัดผลต่างทางเฟสของสัญญาณ และเปรียบเทียบสัญญาณ 2 สัญญาณ ความกว้างของพัลส์ ช่วงเวลา ขาขึ้น (Rise time) ใช้วัดตรวจสอบอิเล็กทรอนิกส์เกี่ยวกับความถี่ และรูปคลื่นสัญญาณที่ถูกต้อง เช่น การปรับภูนเครื่องรับ-ส่งวิทยุ เครื่องรับโทรศัพท์มือถือ และเครื่องเสียง เป็นต้น

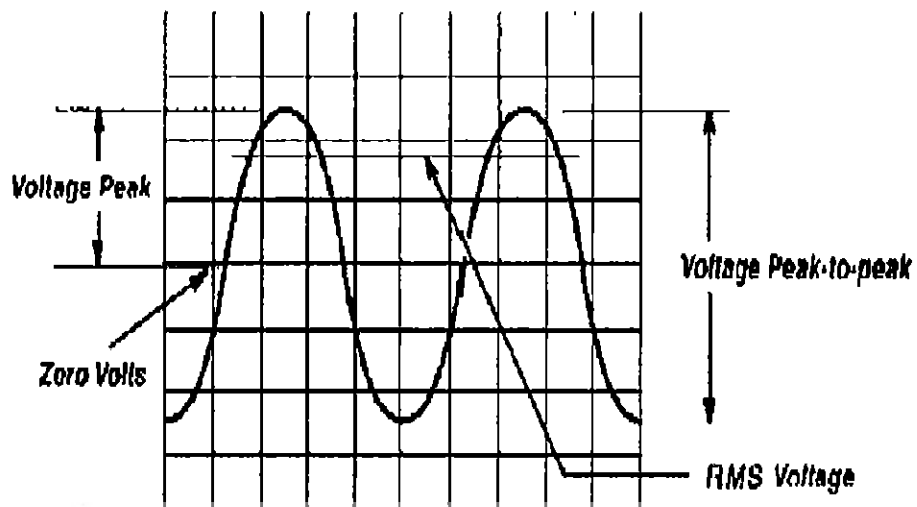
### วัดแรงดันไฟฟ้ากระแสสลับ

ตัวอย่างคือไปนี่จะใช้เฉพาะช่อง CH1 กดปุ่ม CH1 ที่ Vertical Mode กดปุ่ม GND เหนือช่อง CH1 ถ้าเส้นสัญญาณไม่ทับเส้นกางล่างของต้องปรับปุ่ม Position เสียก่อน การวัดแรงดันไฟฟ้ากระแสสลับให้ทำตามขั้นตอนต่อไปนี้



รูปที่ 2.22 เมื่อต่อแหล่งจ่ายไฟกระแสสลับในวงจร [14]

1. จากรูปมีแหล่งจ่ายไฟกระแสสลับขนาด 4 โวลต์ 50 Hz ต่อกับความด้านท่านอนุกรมกัน 3 ตัว
2. กดปุ่ม AC-GND-DC อยู่ที่ DC หรือ AC นำ Probe ไปแตะที่จุด 1 ปลายคีบแตะที่ตำแหน่ง 0 ปรับปุ่ม Volt/Div จนได้ขนาดของคลื่นหมายเสมอ กับภาพ
3. ปรับปุ่ม Trigger Level จนรูปคลื่นนิ่ง
4. ปรับ Sec/Div จนเกิดรูปคลื่นบนข้อ 1 ถึง 2 ถูกคลื่น
5. ปรับตำแหน่ง Positive ในแนวคิ่ง จนห้องคลื่นบรรจบที่เส้นในแนวระดับ ดังรูป 2.24 จุด A
6. ปรับตำแหน่ง Position ในแนวระดับบนข้อด้านล่างของจุด 0 ตรงกับเส้นในแนวคิ่งที่จุด B
7. นับจำนวนช่องในแนวคิ่ง จากจุด A ถึง B บันทึกค่าไว้
8. คำนวณ Peak -To-Peak Voltage ( $V_{P-P}$ ) ได้จาก  $V_{P-P} = \text{ค่า } V_{P-P} \times \text{จำนวนช่องในแนวตั้งที่นับได้ } x \text{ Volt/Div } \times \text{ Probe Setting}$
9. จากนั้นข้าย Probe ไปวัดความต่างศักย์ไฟฟ้าที่จุด 2 เทียบกับจุด 0 ทำซ้ำขั้นตอนที่ 3 ถึง 7 หาค่าที่ประกูณของ จดค่า Volt/Div จำนวนช่องในแนวตั้ง ลงไปในบันทึกผลการทดลอง
10. นำโวลต์มิเตอร์วัดค่าแรงดันไฟฟ้าที่จุด 1, 2 และ 3 เส้นวัดเปรียบเทียบกับค่าที่ได้จาก ออสซิลโลสโคป



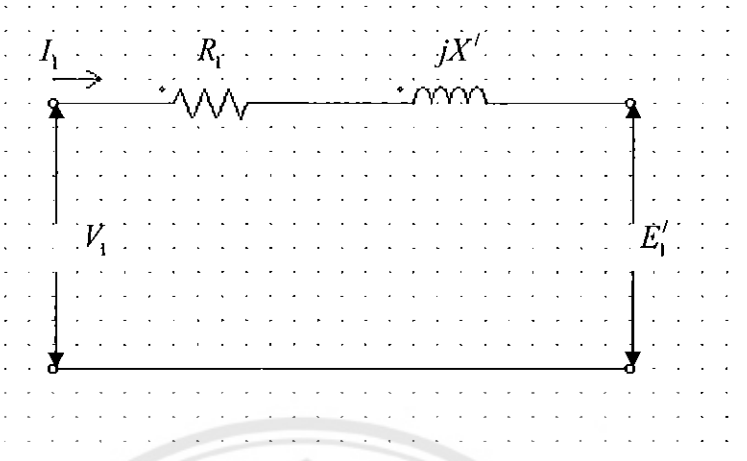
รูปที่ 2.23 การวัดค่าแรงดันไฟฟ้ากระแสสลับ [15]

ตัวอย่าง จากรูป 2.23 ใช้ Probe ที่ปรับค่าลดตอนสัญญาณไว้ที่  $\times 10$  ตั้งค่า Volt/Div ไว้ที่  $0.5\text{ V}$  จำนวนช่องที่นับได้คือ  $4.5$  ช่อง

$$V_{P-P} = 4.5 \text{ Div} \times 0.5 \text{ V/Div} \times 10 = 22.5 \text{ โวลต์}$$

$$V_{rms} \text{ หาได้จาก } V_{rms} = \frac{V_{P-P}}{2\sqrt{2}} = \frac{22.5}{2\sqrt{2}} = 7.955 \text{ โวลต์}$$

## 2.16 Electric Transients In Induction Machine



รูปที่ 2.24 วงจรสมมูลอต่อร่องดักขันอย่างง่ายสภาพชั่วครู่

โดยที่

$$X' = X_1 + X_M - \frac{X_M^2}{X_M + X_2}$$

## บทที่ 3

### การออกแบบการทดลอง

#### 3.1 การออกแบบการทดลอง

##### 3.1.1 การออกแบบการทดลองการวัดค่ากระแสโดยօอสซิลโลสโคป

การวัดกระแสขณะ starters หม้อเตอร์อินดักชัน ใช้วิธีวัดแรงดันตกคร่อมความต้านทาน โดยการต่อความต้านทานอนุกรมกับวงจรส่วนที่ต้องการวัดกระแส จากนั้นวัดแรงดันที่ตกคร่อมความต้านทานตามวิธีการวัดแรงดันรูปคลื่นที่ปรากฏบนจอภาพของօอสซิลโลสโคปจะเป็นรูปคลื่นของกระแส และสามารถคำนวณขนาดของกระแสได้จากกฎของโอล์ม

$$I = \frac{V}{R} [A]$$

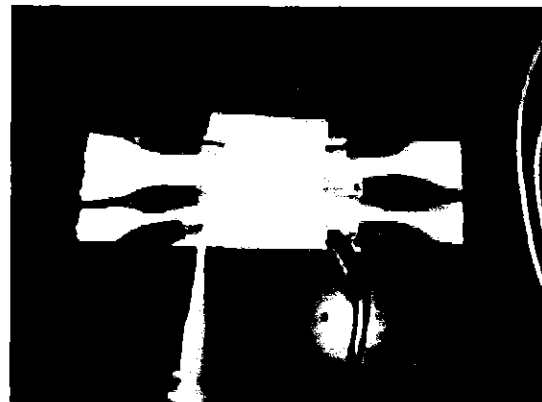
การออกแบบหาค่าความต้านทานทำได้ดังนี้

1. จาก name plate หม้อเตอร์ พิกัดมอเตอร์  $\Delta / Y 1.05/0.61 [A]$  แสดงว่า Full load ต่อแบบ  $\Delta$  หม้อเตอร์มีพิกัดกระแส 1.05 A เช่นเดียวกับต่อแบบ Y หม้อเตอร์จะมีพิกัดกระแส 0.61 [A] ที่พิกัด Full load
2. จากสมการ  $P = I^2 R$  โดยที่  $P =$  กำลังไฟฟ้าที่ตกคร่อมตัวต้านทาน  
 $I =$  กระแสที่ไหลผ่านตัวต้านทาน
3. ถ้าเลือกค่า  $R = 10\Omega$

$$P = (1.05)^2 \times 10 \text{ W}$$

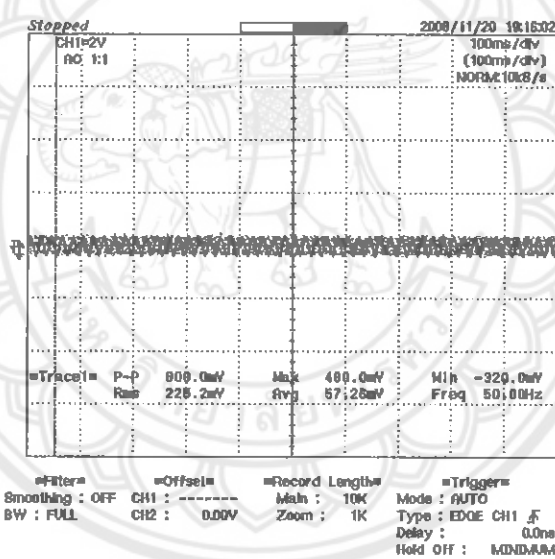
$$P = 11.025 \text{ W}$$

เลือกใช้  $R = 10\Omega$  10W เนื่องจากทำการทดลองที่พิกัดสูงสุด load 90%



รูปที่ 3.1 การต่อตัวต้านทาน  $10\Omega$   $10W$

#### 4. การหาค่าแรงดันตกคร่อมตัวต้านทาน $10\Omega$



รูปที่ 3.2 ค่าแรงดันตกคร่อมตัวต้านทาน  $10\Omega$

จากสมการ  $V_{p-p} =$  ระยะห่างจากเส้นอ้างอิง(ช่อง)  $\times$  อัตราขยายแกนตั้ง (*Volts / Div*)  $\times$  อัตรา  
คลื่นของไฟรับ

$$V_p = \frac{V_{p-p}}{2}$$

$$V_{rms} = 0.707 \times V_p$$

จากวิปออสซิลโลสโคปค่านิพนหาค่า  $V_{rms}$  แต่เนื่องจากปรับอัตราคลื่นของไฟรับเป็น  $\times 10$  ทำให้ค่า

$$V_{rms} = 0.225 \times 10$$

$$V_{rms} = 2.25[V]$$



รูปที่ 3.3 การวัดค่าแรงดันตกคร่อมตัวต้านทาน  $10\Omega$

จากรูปเป็นการวัดค่าแรงดันตกคร่อมความต้านทาน  $10\Omega$  แคลมป์ปีมิเตอร์ มีค่า  $2.14[V]$  จะเห็นว่ามีค่าใกล้เคียงกับการวัดโดยใช้ออสซิลโลสโคป

##### 5. การหาค่ากระแสโดยใช้ออสซิลโลสโคปวัดคร่อมความต้านทาน

จากสมการ

$$I = \frac{V}{R} [A]$$

จากรูปที่ 3.2 จะได้

$$I = \frac{0.225 \times 10}{10} [A]$$

$$I = 0.225 [A]$$



รูปที่ 3.4 การวัดค่ากระแสที่ต่อเข้ากับมอเตอร์

จากรูปเห็นว่าค่ากระแสที่วัดกับค่ากระแสที่คำนวณจากการวัดโดยใช้อัตโนมัติโอลิสโภมีค่าใกล้เคียงกัน

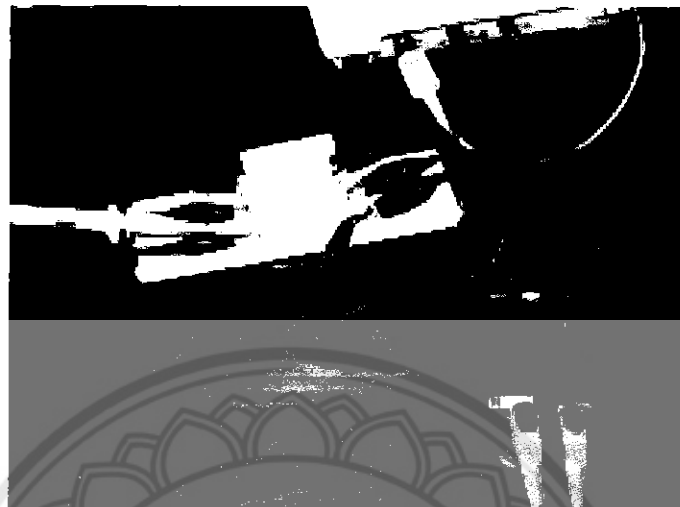
∴ สรุปได้ว่าค่าแรงดันที่วัด ได้จากอัตโนมัติ โอลิสโภมีนั้น ก็คือค่ากระแสที่ไฟลสู่นอยู่ในมอเตอร์เนื่องจากการปรับอัตราลดของไฟฟ้า  $\times 10$  ทำให้ ค่าตัวต้านทาน  $10\Omega$  กับค่า อัตราลดของไฟฟ้า  $\times 10$  ตัดกัน พอดี ทำให้ค่ากระแสที่ไฟลสู่นอยู่ในมอเตอร์ที่ต่อเข้ากับค่าที่อัตโนมัติ โอลิสโภบวัดได้

### 3.1.2 การออกแบบการทดสอบของพิกัดมอเตอร์

พิกัดของมอเตอร์ ต่อ load 35%, 65%, 90% จะใช้คีซีมอเตอร์ทำเป็นโหลด โดยการต่อดีซี มอเตอร์เข้ากับ มอเตอร์อินดักชัน ให้มีทิศทางการหมุนตรงข้ามกัน ทิศทางการหมุนตรงข้ามของดีซี มอเตอร์จะเป็นการต้านการหมุนของ มอเตอร์อินดักชันเหมือนกับการต่อโหลดให้ มอเตอร์ อินดักชัน การคำนวณหาค่ากระแสขณะต่อโหลด load 35%, 65%, 90% ดังนี้

### พิจารณาモเตอร์ต่อแบบ Y

#### 1. วัดค่ากระแสของมอเตอร์ no load



รูปที่ 3.5 การวัดค่ากระแสของมอเตอร์ต่อแบบ Y

จากรูปทำให้ทราบว่ามอเตอร์อินดักชัน ต่อแบบ Y กระแส 0.23 [A] จาก Nameplate มอเตอร์ต่อแบบ Y พิกัดกระแส Full load 0.61 [A]

2. การคำนวณค่าผลต่าง กระแส Full load กับ No load และแบ่งผลต่างกระแสเป็น 100 ส่วน  
กระแส no load

$$0.23[A]$$

กระแส Full load

$$0.61[A]$$

ผลต่างของกระแส Full load กับ no load

$$0.38[A]$$

แบ่งผลต่างกระแสเป็น 100 ส่วน

$$\frac{0.38}{100} = 3.8 \times 10^{-3}$$

#### 3. การคำนวณค่ากระแสขณะต่อ load 35%

ผลต่างของกระแส Full load กับ no load แบ่งเป็น 100 ส่วน  $3.8 \times 10^{-3}$

Load 35%  $35 \times (3.8 \times 10^{-3}) = 0.133$

กระแสขณะต่อ load 35%  $0.23 + 0.133 = 0.363[A]$

#### 4. การคำนวณค่ากระแสของต่อ load 65%

ผลต่างของกระแส Full load กับ no load แบ่งเป็น 100 ส่วน  $3.8 \times 10^{-3}$

Load 65%  $65 \times (3.8 \times 10^{-3}) = 0.247$

กระแสของต่อ load 65%  $0.23 + 0.27 = 0.477[A]$

#### 5. การคำนวณค่ากระแสของต่อ load 90%

ผลต่างของกระแส Full load กับ no load แบ่งเป็น 100 ส่วน  $3.8 \times 10^{-3}$

Load 90%  $90 \times (3.8 \times 10^{-3}) = 0.342$

กระแสของต่อ load 90%  $0.23 + 0.342 = 0.572[A]$

พิจารณาบนอเตอร์ต่อแบบ  $\Delta$

#### 1. วัดค่ากระแสของมนต์อเตอร์ขณะ No load



รูปที่ 3.6 การวัดค่ากระแสบนอเตอร์ต่อแบบ  $\Delta$

จากรูปเห็นว่า มนต์อเตอร์อินดักชัน ต่อแบบ  $\Delta$  กระแส 0.73 [A] จาก Nameplate มนต์อเตอร์ต่อแบบ  $\Delta$   
พิกัดกระแส Full load 1.05 [A]

2. การคำนวณค่าผลต่างของกระแส Full load กับ No load และแบ่งผลต่างกระแสเป็น 100 ส่วน

กระแส No load	$0.73[A]$
กระแส Full load	$1.05[A]$
ผลต่างของกระแส Full load กับ No load	$0.32[A]$
แบ่งผลต่างกระแสเป็น 100 ส่วน	$\frac{0.32}{100} = 3.2 \times 10^{-3}$

3. การคำนวณค่ากระแสขณะต่อ load 35%

ผลต่างของกระแส Full load กับ no load แบ่งเป็น 100 ส่วน	$3.2 \times 10^{-3}$
Load 35%	$35 \times (3.2 \times 10^{-3}) = 0.112$
กระแสขณะต่อ load 35%	$0.73 + 0.112 = 0.842[A]$

4. การคำนวณค่ากระแสขณะต่อ load 65%

ผลต่างของกระแส Full load กับ no load แบ่งเป็น 100 ส่วน	$3.2 \times 10^{-3}$
Load 65%	$65 \times (3.2 \times 10^{-3}) = 0.208$
กระแสขณะต่อ load 65%	$0.73 + 0.208 = 0.938[A]$

5. การคำนวณค่ากระแสขณะต่อ load 90%

ผลต่างของกระแส Full load กับ no load แบ่งเป็น 100 ส่วน	$3.2 \times 10^{-3}$
Load 90%	$90 \times (3.2 \times 10^{-3}) = 0.288$
กระแสขณะต่อ load 90%	$0.73 + 0.288 = 1.018[A]$

เมื่อคำนวณค่ากระแสขณะต่อ โดยลดต่างๆ แล้วในการทดสอบจริงจะทำการค่อยๆ ปรับแรงดันดีซิมอเตอร์ทำการวัดค่ากระแสของ มอเตอร์อินดักชัน ให้มีค่ากระแสตามโหลดต่างๆ ขึ้นอยู่กับการต่อขดลวดสเตเตอร์ แบบ  $\Delta$  หรือ  $Y$  เมื่อได้กระแสตามค่า load แล้วทำการปิดเซอร์กิตเบรกเกอร์แล้วทำการสตาร์ทมอเตอร์ใหม่อีกครั้งแล้วบันทึกค่ากระแสขณะสตาร์ท

### 3.2 ขั้นตอนและวิธีการทดสอบ

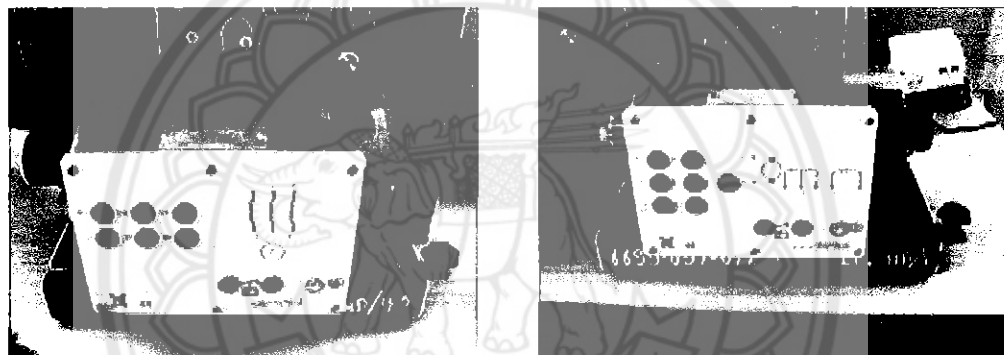
1. ศึกษาการทดสอบมอเตอร์ No load test และ Lock rotor test โดยการรวบรวมข้อมูลและศึกษาเพื่อทำการหาค่าพารามิเตอร์ต่างๆ ของมอเตอร์
2. ต่อวงจรมอเตอร์ทำการทดสอบมอเตอร์ No load test และ Lock rotor test แล้วนำผลจาก การทดสอบนำมาหาค่าของรสมูณฑลมอเตอร์
3. ศึกษาสมการหาค่า  $\tau_{load}$  โดยการรวบรวมข้อมูลจากหนังสือต่างๆ เพื่อทำการหาค่า  $\tau_{load}$  ของมอเตอร์ที่ต่อโหลดต่างๆ
4. ต่อวงจรมอเตอร์ทำการวัดค่าต่างๆ แล้วนำค่าไปคำนวณหาค่า  $\tau_{load}$  ของมอเตอร์ที่ต่อโหลด ต่างๆ
5. ศึกษาการทำงานของโปรแกรม PSIM โดยการรวบรวมข้อมูลการทำงานและการแสดงผล ของโปรแกรมในส่วนของความรู้เบื้องต้นที่ใช้ในการจำลองแบบของอุปกรณ์หรือวงจร
6. ออกแบบวงจรในโปรแกรม PSIM โดยใช้วงจรพื้นฐานเป็นหลักแล้วทำการปรับ ค่าพารามิเตอร์ต่างๆ ของอุปกรณ์ในโปรแกรมให้สอดคล้องกับค่าพารามิเตอร์ที่ได้มาจากการที่กล่าว มา
7. Simulate หา  $I_{start}$ ,  $\tau_{load}$ ,  $\tau_{motor}$  และ ความเร็วของมอเตอร์
8. ต่อขดลวดสเตเตอเร่แบบ  $\Delta$  ทำการ starters ทมอเตอร์แบบ Direct On Line การ starters ทมจะ ต่อ load 35%, 65%, 90% ทำการบันทึกค่าโดยใช้ออสซิลโลสโคปบันทึกภาพขณะ starters และบันทึก ภาพช่วงขดลวด สเตเตอเร่เปลี่ยน  $\Delta$
9. ต่อขดลวดสเตเตอเร่แบบ  $Y - \Delta$  ทำการ starters ทมอเตอร์แบบ  $Y - \Delta$  ทำการ starters ทมจะต่อ load 35%, 65%, 90% ทำการบันทึกค่าโดยใช้ออสซิลโลสโคปบันทึกภาพขณะ starters และบันทึก ภาพช่วงขดลวด สเตเตอเร่เปลี่ยน  $Y - \Delta$
10. นำผลทดสอบจากการ Simulation การต่อวงจรของแต่ละวงจรมาเปรียบเทียบและวิเคราะห์ ผล

ในการ Simulation จะใช้โปรแกรม PSIM ในการสร้างแบบจำลองวงจรและหาค่าพารามิเตอร์ ต่างๆ ของวงจร ส่วนการต่อวงจรจริงจะมีอุปกรณ์ต่างๆ ที่ใช้ในการต่อวงจรทดลอง ดังนี้

1. แหล่งจ่ายกระแสตรง (DC Supply)
2. แหล่งจ่ายกระแสสลับ (AC Supply)
3. ชุดสายไฟ
4. มอเตอร์อินดัคชัน (Induction motor) แบบกรงกระอก (Squirrel cage) จำนวน 1 ตัว  
ขนาดพิกัด 0.37 kw
5. ดิซิมอเตอร์

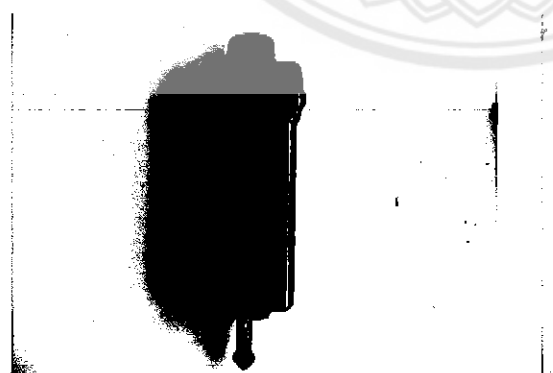
6. สวิตช์ปุ่มกดสีแดงปกติปิด 1 ตัว (Push Button switch N.C.)
7. สวิตช์ปุ่มกดสีเขียวปกติปิด 1 ตัว (Push Button switch N.O.)
8. แมกเนติกคอนแทคเตอร์ 2N.O. 2N.C. 4 ตัว(Magnetic contactor 3 phase ,2N.O. 2N.C.)
9. รีเล耶หน่วงเวลา (Timer Delay Relay) 1 ตัว
10. ตัวต้านทาน 10 w 10 Ω
11. ออสซิลโลสโคป
12. แคลมน์ปืนมิเตอร์
13. วัตต์มิเตอร์

### อุปกรณ์

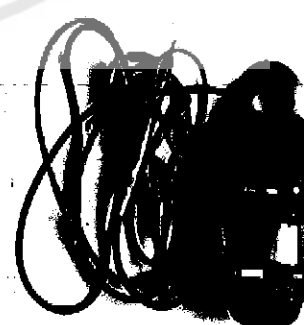


รูปที่ 3.7 มอเตอร์ร้อนดักขัน

รูปที่ 3.8 DC มอเตอร์



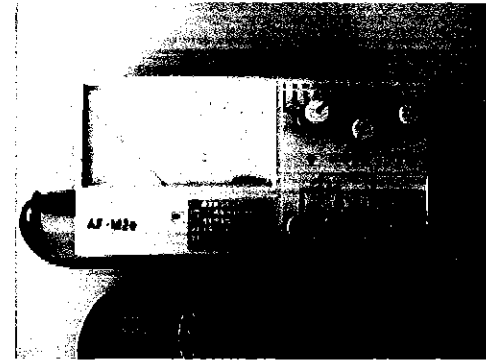
รูปที่ 3.9 เครื่องวัดความเร็วรอบ



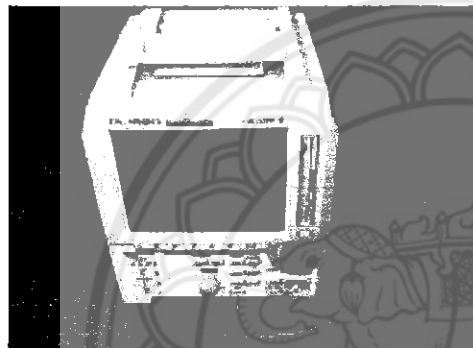
รูปที่ 3.10 แคลมน์ปืนมิเตอร์



รูปที่ 3.11 แมกเนติกคอนแทคเตอร์



รูปที่ 3.12 วัตต์มิเตอร์



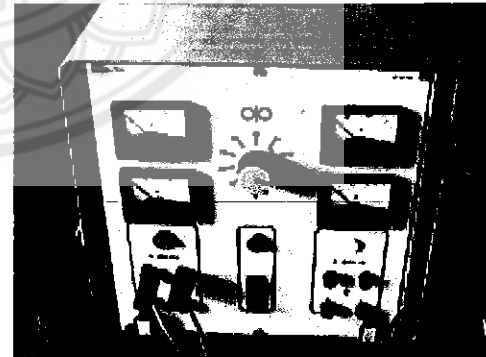
รูปที่ 3.13 ออสซิลโลสโคป



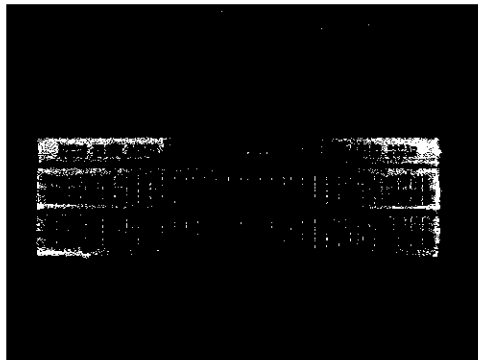
รูปที่ 3.14 สวิตช์ปุ่มกดสีเขียวปักติปิด



รูปที่ 3.15 สวิตช์ปุ่มกดสีแดงปักติปิด



รูปที่ 3.16 AC Supply 24 V



รูปที่ 3.16 ตัวด้านทาน 10 w 10 Ω



รูปที่ 3.17 โอเวอร์ไอลด์เรล์

### 3.3 โปรแกรม PSIM

การจำลองการทำงานด้วยโปรแกรม PSIM จะช่วยในการออกแบบและจำลองการทำงานของวงจร และขั้นสามารถควบคุมและปรับเปลี่ยนพารามิเตอร์ต่างๆ ของวงจรได้ง่าย นอกจากนี้ยังเป็นการประยุกต์ สะคลาน ปลดล็อกภัยและช่วยลดการเสียหายของอุปกรณ์ได้อีกด้วย กระบวนการจำลองเหตุการณ์ของโปรแกรม PSIM ประกอบด้วยโดยโปรแกรมหลักๆ 2 โปรแกรม

1. โปรแกรม Schematics ทำหน้าที่เป็นส่วนกราฟฟิกของวงจรไฟฟ้าอิเล็กทรอนิกส์ที่ต้องการจะวิเคราะห์ผล เมื่อบันทึกแบบภาพกราฟฟิกวงจรไฟฟ้าที่เขียนขึ้นจากโปรแกรมนี้ไฟล์ที่ได้จะเป็นนามสกุล .sch

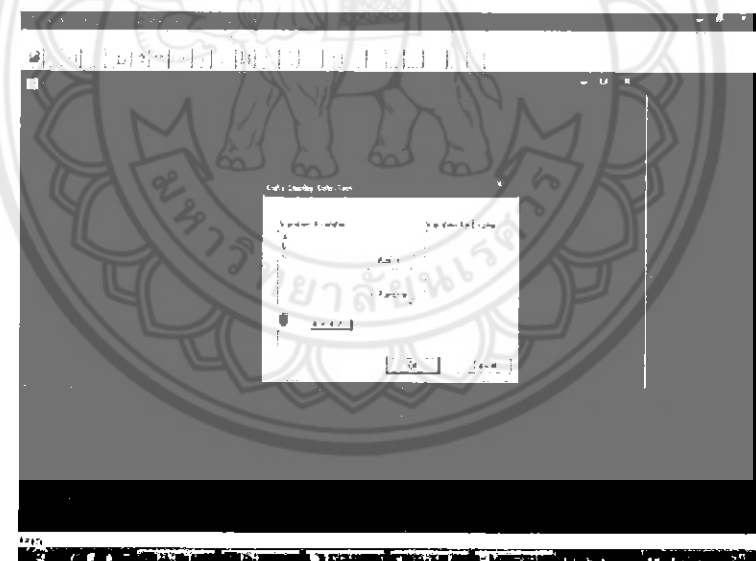
2. โปรแกรม Simview ทำหน้าที่วิเคราะห์วงจรไฟฟ้าที่เขียนจากโปรแกรม Schematics และทำหน้าที่แสดงผลการวิเคราะห์วงจรในรูปของกราฟ

หลังจากเขียนวงจรเสร็จแล้วทำการบันทึกจะได้ไฟล์นามสกุล .sch และเมื่อทำการ Run Simulate ซอฟท์แวร์จะสร้างไฟล์ที่จำเป็นขึ้นมา 1 ชนิด คือ

1. ไฟล์แสดงผลการวิเคราะห์วงจรในรูปของกราฟ (Files of type: Data(\*.TXT)) จากที่กล่าวมา สรุปได้ว่า กระบวนการจำลองสถานการณ์ของโปรแกรม PSIM จะมีไฟล์หลัก คือ ไฟล์ .sch จากนั้นจะแตกออกเป็นไฟล์ 1 ไฟล์เมื่อทำการ Run Simulate เพื่อใช้ในการแสดงผล



รูปที่ 3.18 แสดงหน้าต่างของโปรแกรม PSIM Schematic



รูปที่ 3.19 แสดงหน้าต่างของโปรแกรม SimView

### 3.4 การใช้ PSIM ในการวิเคราะห์วงจร

การใช้โปรแกรม PSIM เพื่อวิเคราะห์วงจรจะใช้โปรแกรม PSIM Schematic ในการเขียนวงจรและใช้โปรแกรม SimView ในการดูรูปคลื่นสัญญาณกระแสและนำผลการทดลองที่ได้มาวิเคราะห์และเปรียบเทียบกับผลที่ทดลองจริง

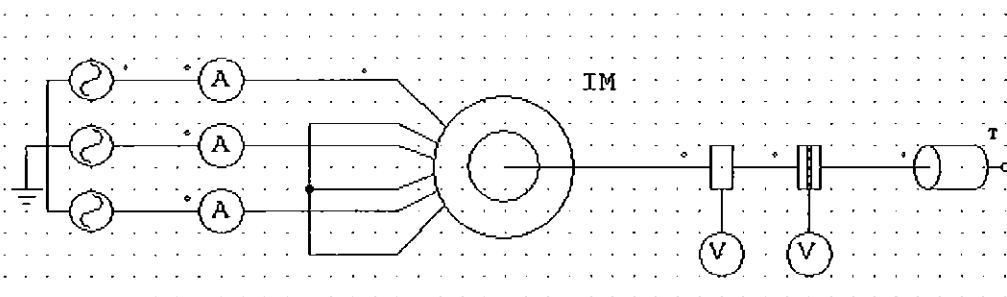
#### 3.4.1 การวิเคราะห์หม้อเตอร์ต่อแบบ Y

##### ขั้นตอนที่ 1 การสร้างวงจรด้วย Schematic

1. เปิดโปรแกรม PSIM Schematic คลิกที่ไอคอน  และเขียนวงจรดังรูป เลือกอุปกรณ์ต่างๆ โดยการเลือกเมนู Simulate / Simulate Control

- 
2. เขียนวงจรโดยเดือกดูอุปกรณ์ต่างๆดังนี้ โดยเดือกเมนู
    - 2.1 Elements / Sources / Voltage / 3-Ph Sine
    - 2.2 Elements / Other / Probes / Current Probe
    - 2.3 Elements / Power / Motor Drive Module / Squirrel-cage Ind. Machine (linear)
    - 2.4 Elements / Power / Motor Drive Module / Speed Sensor
    - 2.5 Elements / Power / Motor Drive Module / Torque Sensor
    - 2.6 Elements / Other / Probes / Voltage Probe
    - 2.7 Elements / Power / Motor Drive Module / Mechanical Load (Constant torque)
    - 2.8 Elements / Other / Ground

เขียนวงจรตามดังรูป

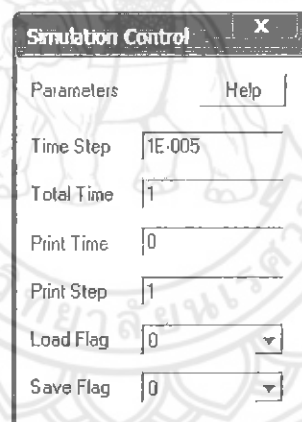


รูปที่ 3.20 วงจรการวิเคราะห์หม้อเตอร์ต่อแบบ Y

3. ลากจุดเชื่อมต่อโดยการคลิกที่ไอคอน

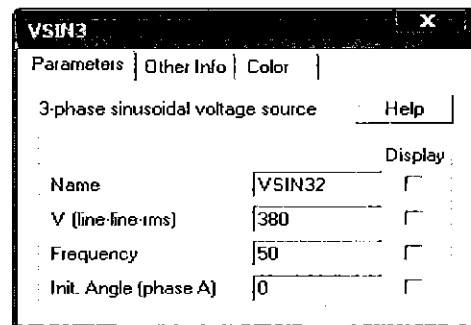
**ขั้นตอนที่ 2** การกำหนดค่าของอุปกรณ์ต่างๆ

1. ดับเบิลคลิกที่รูป Simulate Control และใส่ค่าดังรูป



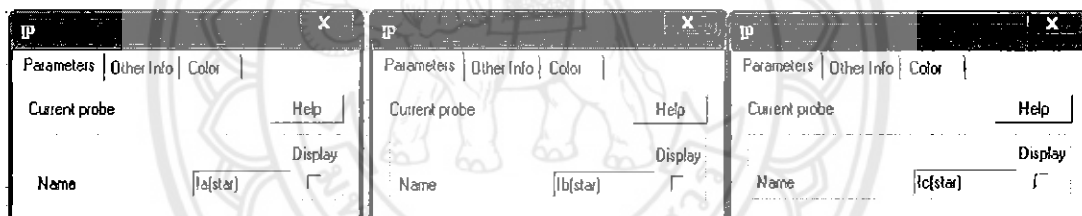
การตั้งค่า Simulate Control

2. ดับเบิลคลิกที่รูป 3-Ph Sine และใส่ค่าดังรูป



การตั้งค่า 3-Ph Sine

3. ดับเบิลคลิกที่รูป Current Probe ที่้านบน กลาง และด้านล่าง และใส่ค่าดังรูป



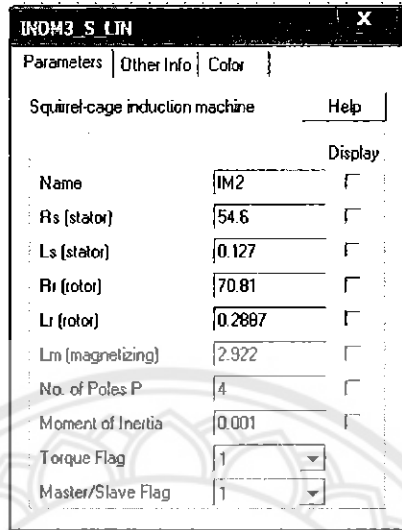
บน

กลาง

ล่าง

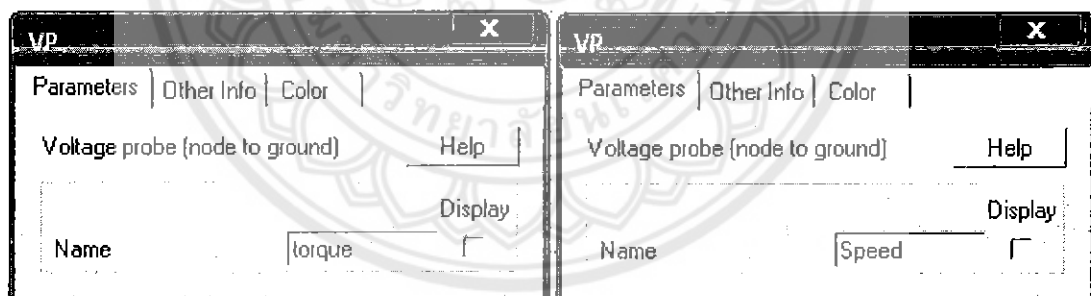
การตั้งค่า Current Probe

4. ดับเบิลคลิกที่รูป Squirrel-cage Ind. Machine (linear) แล้วใส่ค่าดังรูป นำมาได้จากการทดสอบมอเตอร์



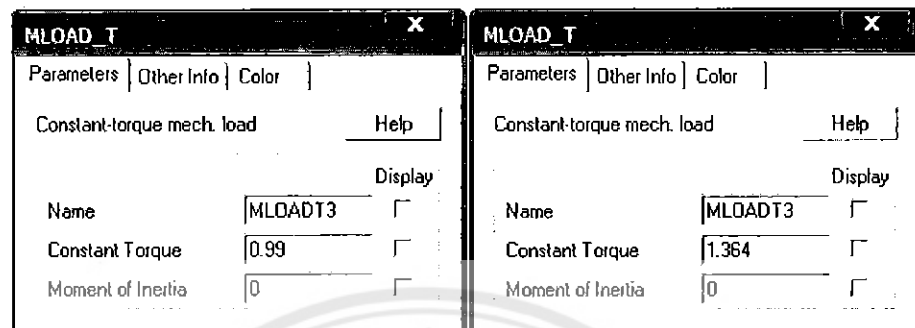
#### การตั้งค่า Squirrel-cage Ind. Machine (linear)

5. ดับเบิลคลิกที่รูป Voltage Probe แล้วใส่ค่าดังรูป จากซ้ายไปขวา



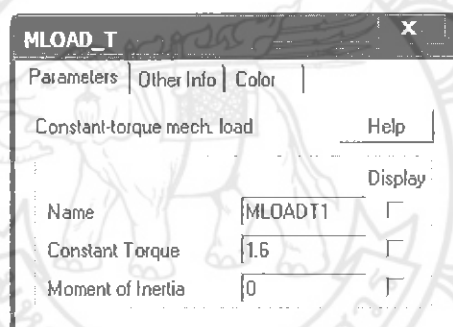
#### การตั้งค่า Voltage Probe

6. ดับเบิลคลิกที่รูป Mechanical Load (Constant torque) แล้วใส่ค่าดังรูป ขึ้นอยู่กับต่อ load 35%, 65%, 90% ที่ได้จากการทดลองและคำนวณ ใส่ค่าได้เพียงค่าเดียวขึ้นอยู่กับจะ Simulate คุณอเตอร์ต่อ荷ล์ดกีเปอร์เร็นต์



Load 35%

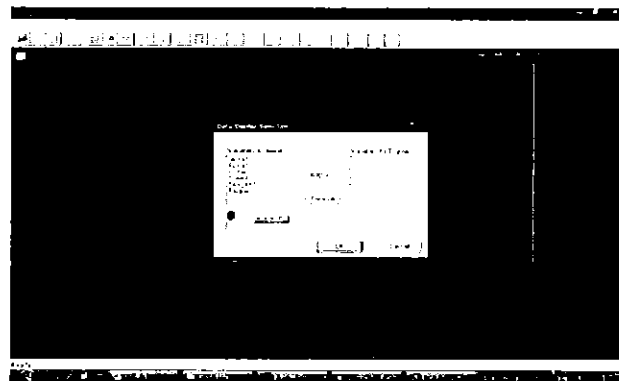
Load 65%



Load 90%

### ขั้นตอนที่ 3 การ Simulate และหาค่าต่างๆของมอเตอร์

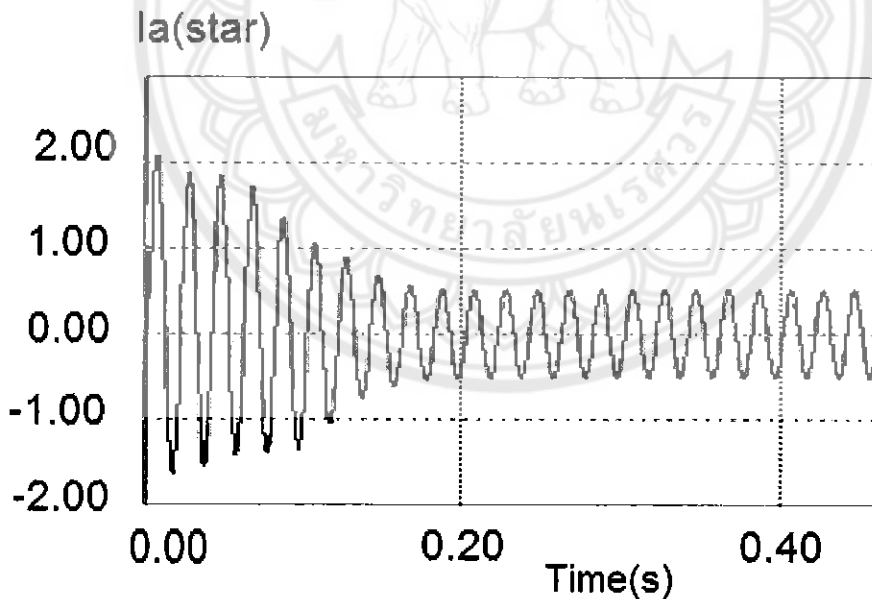
1. คลิกที่ไอคอน เพื่อทำการ Simulate
2. เมื่อโปรแกรม Simulate เสร็จจะปรากฏหน้าต่างโปรแกรม SimView ดังรูป



รูปที่ 3.21 แสดงหน้าต่างของโปรแกรม SimView

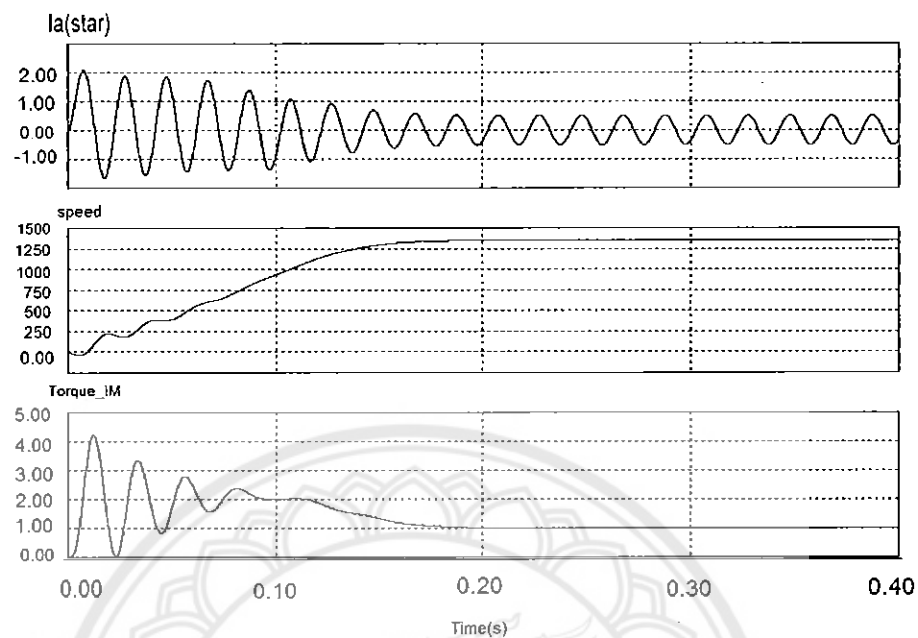
3. เมื่อต้องการทราบค่า กระแส ความเร็ว รอบ หรือ หอร์ค หรือค่าต่างๆให้คลิกส่วนที่ต้องการแสดงค่าเสร็จแล้วให้คลิกที่ไอคอน Add และถ้าต้องการยกเลิกให้คลิก Remove ถ้าตกลงแล้วคลิก Ok จะปรากฏกราฟ
- แสดงค่า

ตัวอย่าง ถ้าต้องการดูค่ากระแสสามเฟสต่อ load 35% ดังรูป



รูปที่ 3.22 กระแสสามเฟสต่อ load 35%

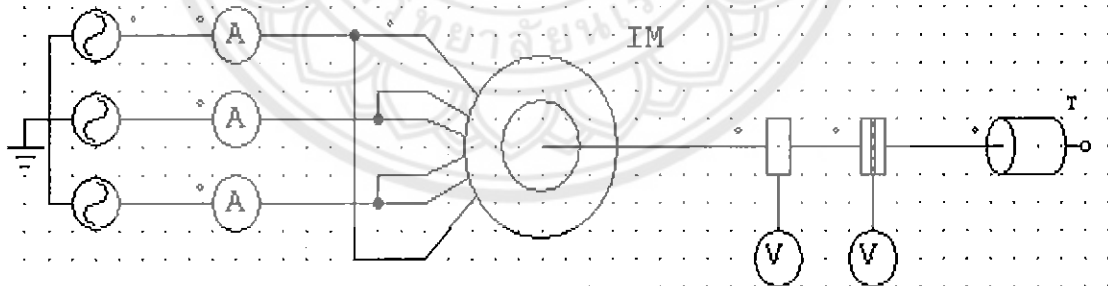
4. เมื่อต้องการทราบค่าอื่นให้คลิกไอคอน แล้วทำการ Add เพิ่มส่วนที่ต้องการดังรูป



รูปที่ 3.23 ค่า กระแส ความเร็วรอบ และทอร์กของมอเตอร์

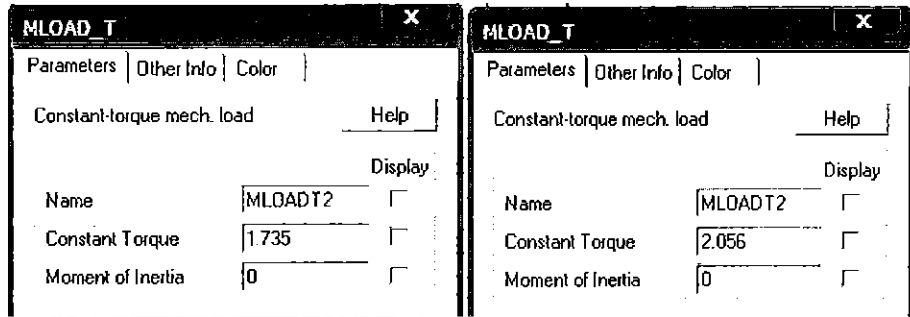
#### 3.4.1 การวิเคราะห์มอเตอร์ต่อแบบ $\Delta$

1. เก็บนวารดังรูป ส่วนอุปกรณ์ต่างๆ เมื่อมีการต่อมอเตอร์แบบ  $Y$



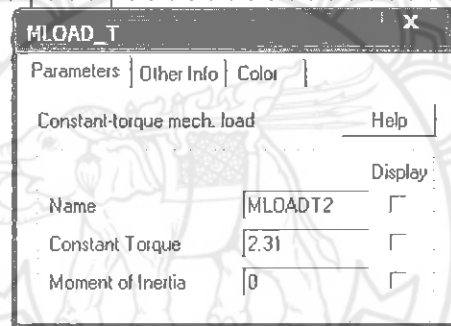
รูปที่ 3.24 วงจรการวิเคราะห์มอเตอร์ต่อแบบ  $\Delta$

2. การตั้งค่าของอุปกรณ์ใหม่เมื่อมีการต่อแบบ Y ยกเว้นการตั้งค่าของ Mechanical Load (Constant torque) ดังรูป



Load 35%

Load 65%



Load 90%

3. การ Simulate และหาค่าต่างๆเมื่อมีการต่อแบบ Y

## บทที่ 4

### ผลการทดลอง

การทดสอบมอเตอร์อินดักชันจะมีพารามิเตอร์ที่สำคัญที่ต้องนำมานำประกอบในการวิเคราะห์โดยใช้โปรแกรม PSIM คือการหาค่าพารามิเตอร์ของวงจรสมมูลมอเตอร์และ  $T_{load}$  ต่างๆ นำมาวิเคราะห์ด้วยโปรแกรม PSIM หากกระแสsexขณะstarทของมอเตอร์ต่อแบบ Y และ  $\Delta$  จะต่อ load ต่างๆ และจะมีการนำผลที่ได้จากการ Simulate จากการต่อวงจรและหาค่าสมการสภาวะ Transient ช่วงขณะstarทต่อ load ต่างๆ มาเปรียบเทียบและวิเคราะห์ผล

ผลการทดลองที่ได้จากการทำโครงงานนี้จะแบ่งออกเป็น ส่วน คือ

- 4.1 ผลจากการทดสอบมอเตอร์เพื่อหาวงจรสมมูล
- 4.2 ผลจากการทดลองเพื่อหา  $T_{load}$
- 4.3 ผลจากการทดลองต่อวงจรจริง
- 4.4 การเปรียบเทียบผลการทดลองและวิเคราะห์ผลการทดลอง

#### 4.1 ผลจากการทดสอบมอเตอร์เพื่อหาวงจรสมมูล

ในการวิเคราะห์ด้วยโปรแกรม PSIM จำเป็นที่ต้องหาวงจรสมมูลของมอเตอร์ที่ทำการทดลองเนื่องจากต้องนำค่าที่ได้จากการทดสอบมอเตอร์ไปใส่ในอุปกรณ์ Squirrel-cage Ind. Machine (linear) ของโปรแกรม PSIM

#### 4.1.1 D.C. Test มอเตอร์ต่อแบบ Y เพื่อหาค่า $R_{(stator)}$



รูปที่ 4.1 การวัดค่าเพื่อหาค่า  $R_{(stator)}$



รูปที่ 4.2 ค่าที่ได้จากการวัด  $R_{(stator)}$

จากรูปที่ 4.1 และ 4.2 เป็นการทดสอบมอเตอร์อินดักชันแบบ D.C. Test มอเตอร์ต่อแบบ Y เพื่อหาค่า  $R_{(stator)}$  ค่าที่วัดได้  $109.2\Omega$  ค่าความต้านทานสเตเตอร์ต่อเฟสจะมีค่าเท่ากับค่าที่วัดได้หารสองเนื่องจากขดลวดสเตเตอร์ต่อแบบ Y

#### 4.1.2 No load test

ตารางที่ 4.1 การแสดงผล No load test

No load test					
$V_T$ (V)	$I_A$ (A)	$I_B$ (A)	$I_C$ (A)	$P_{in} = W_1 + W_2$	$f$ (Hz)
380	0.23	0.23	0.23	-25W + 50W	50

#### 4.1.3 Locked-rotor test

ตารางที่ 4.2 การแสดงผล Locked-rotor test

Locked-rotor test					
$V_T$ (V)	$I_A$ (A)	$I_B$ (A)	$I_C$ (A)	$P_{in} = W_1 + W_2$	$f$ (Hz)
190.5	0.61	0.61	0.61	25W + 115W	50

4.1.4 นำค่าที่ได้จากการทดสอบมาคำนวณหาวงจรสมมุติมอเตอร์จาก DC Test ต่อแบบ Y

$$\text{วัดได้ } R_Y = 109.2\Omega$$

เนื่องจากมอเตอร์ต่อแบบ Y การหาค่า  $R_{(stator)}$  ต่อเฟสจึงต้องนำค่าที่ได้จากการวัดนั้นมาหารด้วยสอง

$$R_{(stator)} \text{ ต่อเฟส} = \text{ค่าที่วัดได้}/2$$

$$R_{(stator)} \text{ ต่อเฟส} = \frac{109.2}{2}$$

$$R_{(stator)} \text{ ต่อเฟส} = 54.6\Omega / \text{Phase}$$

หาก No load test

$$V_{\phi, nl} = \frac{V_T}{\sqrt{3}} V$$

$$V_{\phi, nl} = \frac{380}{\sqrt{3}} = 220V$$

$$|Z_{nl}| = \frac{V_{\phi, nl}}{I_{nl}} \Omega$$

$$|Z_{nl}| = \frac{220}{0.23} = 956.52 \Omega = X_1 + X_m$$

$$P_{SCL} = 3 I_1^2 R_1$$

$$P_{SCL} = 3 \times (0.23)^2 \times 54.6 = 8.665W$$

$$P_{rot} = P_{core} + P_{F \& W} + P_{misc}$$

$$P_{rot} = P_{in, nl} - P_{SCL, nl}$$

$$P_{rot} = 25 - 8.665 = 16.335W$$

อิมพีเดนซ์ข้อมะบีด โรเตอร์ (locked-rotor impedance)

$$|Z_{LR}| = \frac{V_\phi}{I_A} = \frac{V_T}{\sqrt{3} \times I_A} \Omega$$

$$|Z_{LR}| = \frac{190.5}{\sqrt{3} \times 0.61} = 180.30 \Omega$$

มุมเฟสของอิมพีเดนซ์ (impedance angle  $\theta$ )

$$\theta = \cos^{-1} \frac{P_m}{\sqrt{3} \times V_T \times I_L}$$

$$\theta = \cos^{-1} \frac{140}{\sqrt{3} \times 190.5 \times 0.61} = \cos^{-1} 0.6955$$

$$\theta = 45.92^\circ$$

$$R_{LR} = |Z_{LR}| \cos \theta$$

$$R_{LR} = 180.30 \cos 45.92^\circ$$

$$R_{LR} = 125.41\Omega = R_1 + R_2$$

$$R_1 = 54.6\Omega$$

$$R_2 = 125.41 - R_1$$

$$R_2 = 125.41 - 54.6 = 70.81\Omega$$

$$X_{LR} = |Z_{LR}| \sin \theta$$

$$X_{LR} = 180.30 \sin 45.92^\circ = 129.52\Omega$$

มอเตอร์ Class C

$$X_1 = 0.3X_{LR}$$

$$X_2 = 0.7X_{LR}$$

$$X_1 = 0.3 \times 129.52\Omega$$

$$X_2 = 0.7 \times 129.52\Omega$$

$$X_1 = 38.856\Omega$$

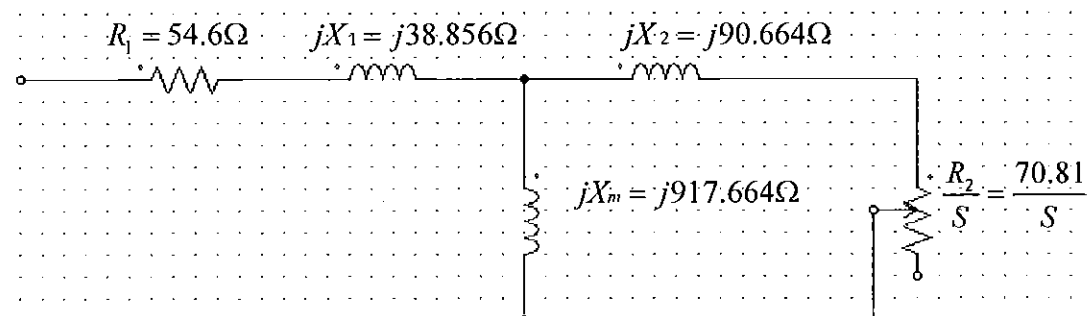
$$X_2 = 90.664\Omega$$

$$X_m = |Z_m| - X_1$$

$$X_m = 956.52 - 38.856$$

$$X_m = 917.664\Omega$$

จะได้วงจรสมมูลค้างรูป



รูปที่ 4.3 วงจรสมมูลค่ามอเตอร์

หาค่าความหนึ่งวนนำของวงจรสมมูลมอเตอร์

$$L_m = \frac{X_m}{2\pi f}$$

$$L_m = \frac{917.664}{2 \times 3.14 \times 50} = 2.992H$$

$$L_1 = \frac{X_1}{2\pi f}$$

$$L_1 = \frac{38.856}{2 \times 3.14 \times 50} = 0.1237H$$

$$L_2 = \frac{X_2}{2\pi f}$$

$$L_2 = \frac{90.664}{2 \times 3.14 \times 50} = 0.2887H$$

## 4.2 ผลจากการทดลองเพื่อหา $\tau_{load}$

ในการวิเคราะห์ด้วยโปรแกรม PSIM จำเป็นที่จะต้องหา  $\tau_{load}$  ที่จะทำการทดลองเพื่อที่จะนำค่าที่ได้ไปใส่ในอุปกรณ์ Mechanical Load (Constant torque) ของโปรแกรม PSIM

### 4.2.1 พิจารณาถูกต้องต่อแบบ Y

ตารางที่ 4.3 แสดงกระแสเน้มอเตอร์ขั้นละชั้บโหลดต่างๆ

Load %	กระแสเน้มอเตอร์		
	$I_A$ (A)	$I_B$ (A)	$I_C$ (A)
35	0.363	0.363	0.363
65	0.477	0.477	0.477
90	0.572	0.572	0.572

ตารางที่ 4.4 แสดงผลเพื่อนำไปหา  $\tau_{load}$

Load %	$P_m = W_1 + W_2$ (W)	ความเร็วรอบ (rpm)	$I_A$ (A)	$I_B$ (A)	$I_C$ (A)
35	60+135	1388	0.36	0.36	0.36
65	90+180	1320	0.47	0.47	0.47
90	115+220	1251	0.57	0.57	0.57

หา  $\tau_{load}$  ต่อแบบ Y 35%

หาค่า Slip ที่ทำงาน load 35%

$$n_s = \frac{120f}{p}$$

มอเตอร์ 4 ขั้ว

$$n_s = \frac{120 \times 50}{4} = 1500$$

$$S = \frac{n_s - n_m}{n_s}$$

$$S = \frac{1500 - 1388}{1500}$$

$$S = 0.0747$$

หา  $P_{out}$

กำลังสูญเสียของ rotor (Stator copper losses)

$$P_{SCL} = 3I_1^2 R_1$$

$$= 3 \times (0.363)^2 \times 54.6$$

$$P_{SCL} = 21.58W$$

กำลังไฟฟ้าในช่องอากาศ (air gap Power)

$$P_{AG} = P_m - P_{SCL}$$

$$= 195 - 21.58$$

$$P_{AG} = 173.42W$$

กำลังไฟฟ้าที่เปลี่ยนพลังงานไฟฟ้าเป็นพลังงานทางกล (power convert)

$$P_{conv} = (1 - S)P_{AG}$$

$$= (1 - 0.0747)173.42$$

$$P_{conv} = 160.47W$$

$$P_{out} = P_{conv} - P_{tot}$$

$$= 160.47 - 16.335$$

$$P_{out} = 144.135W$$

$$\tau_{load} = \frac{P_{out}}{\omega_m}$$

$$= \frac{144.135}{2 \times 3.14 \times \frac{1388}{60}}$$

$$\tau_{load} = 0.99 N.m$$

หา  $T_{load}$  ต่อแบบ Y 65%

หาค่า Slip ที่ทำงาน load 65%

$$S = \frac{n_s - n_m}{n_s}$$

$$S = \frac{1500 - 1320}{1500}$$

$$S = 0.12$$

หา  $P_{out}$

กำลังสูญเสียขัดลวดสเตเตอร์ (Stator copper losses)

$$P_{SCL} = 3I_1^2 R_1$$

$$= 3 \times (0.477)^2 \times 54.6$$

$$P_{SCL} = 37.27W$$

กำลังไฟฟ้าในช่องอากาศ (air gap Power)

$$P_{AG} = P_{in} - P_{SCL}$$

$$= 270 - 37.27$$

$$P_{AG} = 232.73W$$

กำลังไฟฟ้าที่เปลี่ยนพลังงานไฟฟ้าเป็นพลังงานทางกล (power convert)

$$P_{conv} = (1 - S)P_{AG}$$

$$= (1 - 0.12)232.73$$

$$P_{conv} = 204.8W$$

$$P_{out} = P_{conv} - P_{rot}$$

$$= 204.8 - 16.335$$

$$P_{out} = 188.465W$$

$$\begin{aligned}\tau_{load} &= \frac{P_{out}}{\omega_m} \\ &= \frac{188.465}{2 \times 3.14 \times \frac{1320}{60}} \\ \tau_{load} &= 1.364 N.m\end{aligned}$$

หา  $\tau_{load}$  ต่อแบบ Y 90%

หาค่า Slip ที่ทำงาน load 90%

$$S = \frac{n_s - n_m}{n_s}$$

$$S = \frac{1500 - 1251}{1500}$$

$$S = 0.166$$

หา  $P_{out}$

กำลังสูญเสียขัดความสูญเสีย (Stator copper losses)

$$\begin{aligned}P_{SCL} &= 3I_1^2 R_1 \\ &= 3 \times (0.572)^2 \times 54.6 \\ P_{SCL} &= 53.59 W\end{aligned}$$

กำลังไฟฟ้าในช่องอากาศ (air gap Power)

$$P_{AG} = P_{in} - P_{SCL}$$

$$= 325 - 53.59$$

$$P_{AG} = 271.41 W$$

กำลังไฟฟ้าที่เปลี่ยนพลังงานไฟฟ้าเป็นพลังงานทางกล (power convert)

$$P_{conv} = (1 - S)P_{AG}$$

$$= (1 - 0.166)271.41$$

$$P_{conv} = 226.36W$$

$$P_{out} = P_{conv} - P_{rot}$$

$$= 226.36 - 16.335$$

$$P_{out} = 210.025W$$

$$\tau_{load} = \frac{P_{out}}{\omega_m}$$

$$= \frac{210.025}{2 \times 3.14 \times \frac{1251}{60}}$$

$$\tau_{load} = 1.60 N.m$$

#### 4.2.2 พิจารณาเนอเตอร์ท่อแบบ $\Delta$

ตารางที่ 4.5 กระแสเมมเบรนอเตอร์ขณะขับโหลดต่างๆ

Load %	กระแสเมมเบรนอเตอร์		
	$I_A$ (A)	$I_B$ (A)	$I_C$ (A)
35	0.84	0.84	0.84
65	0.938	0.938	0.938
90	1.02	1.02	1.02

ตารางที่ 4.6 ผลเพื่อนำไปหา  $T_{load}$

Load %	$P_m = W_1 + W_2$ (W)	ความเร็วรอบ (rpm)	$I_A$ (A)	$I_B$ (A)	$I_C$ (A)
35	40+320	1406	0.84	0.84	0.84
65	60+360	1390	0.94	0.94	0.94
90	90+380	1372	1.02	1.02	1.02

หา  $T_{load}$  ต่อแบบ  $\Delta 35\%$

หาค่า Slip ที่ทำงาน load 35%

$$S = \frac{n_s - n_m}{n_s}$$

$$S = \frac{1500 - 1406}{1500}$$

$$S = 0.063$$

หา  $P_{out}$

กำลังสูญเสียขดลวดสเตเตอร์ (Stator copper losses)

$$P_{SCL} = 3I_1^2 R_1$$

$$= 3 \times (0.485)^2 \times 54.6$$

$$P_{SCL} = 38.53W$$

กำลังไฟฟ้าในช่องอากาศ (air gap Power)

$$P_{AG} = P_m - P_{SCL}$$

$$= 360 - 38.53$$

$$P_{AG} = 321.47W$$

กำลังไฟฟ้าที่เปลี่ยนพลังงานไฟฟ้าเป็นพลังงานทางกล (power convert)

$$P_{conv} = (1 - S) P_{AG}$$

$$= (1 - 0.063) 321.47$$

$$P_{conv} = 301.217 W$$

$$P_{SCL(NL)} = 3 \frac{I_1^2}{\sqrt{3}} R_1 = 3(0.423)^2 54.6 = 29.1$$

$$P_{rot} = P_{in(NL, \Delta)} - P_{SCL(NL)} = 75 - 29.1 = 45.9$$

$$P_{out} = P_{conv} - P_{rot}$$

$$= 301.217 - 45.9$$

$$P_{out} = 255.3 W$$

$$\tau_{load} = \frac{P_{out}}{\omega_m}$$

$$= \frac{255.3}{2 \times 3.14 \times \frac{1406}{60}}$$

$$\tau_{load} = 1.735 N.m$$

หา  $\tau_{load}$  ต่อแบบ  $\Delta 65\%$

หาค่า Slip ที่ทำงาน load 65%

$$S = \frac{n_s - n_m}{n_s}$$

$$S = \frac{1500 - 1390}{1500}$$

$$S = 0.073$$

## ๗.๑ Pout

กำลังสูญเสียขัดความสูญเสีย (Stator copper losses)

$$P_{SCL} = 3I_1^2 R_1$$

$$= 3 \times (0.54)^2 \times 54.6$$

$$P_{SCL} = 47.76W$$

กำลังไฟฟ้าในช่องอากาศ (air gap Power)

$$P_{AG} = P_m - P_{SCL}$$

$$= 420 - 47.76$$

$$P_{AG} = 372.24W$$

กำลังไฟฟ้าที่เปลี่ยนพลังงานไฟฟ้าเป็นพลังงานทางกล (power convert)

$$P_{conv} = (1 - S)P_{AG}$$

$$= (1 - 0.073)372.24$$

$$P_{conv} = 345.07W$$

$$P_{out} = P_{conv} - P_{rot}$$

$$= 345.07 - 45.9$$

$$P_{out} = 299.17W$$

$$\tau_{load} = \frac{P_{out}}{\omega_m}$$

$$= \frac{299.17}{2 \times 3.14 \times \frac{1390}{60}}$$

$$\tau_{load} = 2.056 N.m$$

หา  $T_{load}$  ต่อเมื่อ  $\Delta 90\%$

หาค่า Slip ที่ทำงาน load 90%

$$S = \frac{n_s - n_m}{n_s}$$

$$S = \frac{1500 - 1372}{1500}$$

$$S = 0.085$$

หา  $P_{out}$

กำลังสูญเสียของ rotor (Stator copper losses)

$$P_{SCL} = 3I_1^2 R_1$$

$$= 3 \times (0.59)^2 \times 54.6$$

$$P_{SCL} = 57.02W$$

กำลังไฟฟ้าในช่องอากาศ (air gap Power)

$$P_{AG} = P_{in} - P_{SCL}$$

$$= 470 - 57.02$$

$$P_{AG} = 412.98W$$

กำลังไฟฟ้าที่เปลี่ยนพลังงานไฟฟ้าเป็นพลังงานทางกล (power convert)

$$P_{conv} = (1 - S)P_{AG}$$

$$= (1 - 0.085)412.98$$

$$P_{conv} = 377.79W$$

$$P_{out} = P_{conv} - P_{tot}$$

$$= 377.79 - 45.9$$

$$P_{out} = 331.89W$$

$$\tau_{load} = \frac{P_{out}}{\omega_m}$$

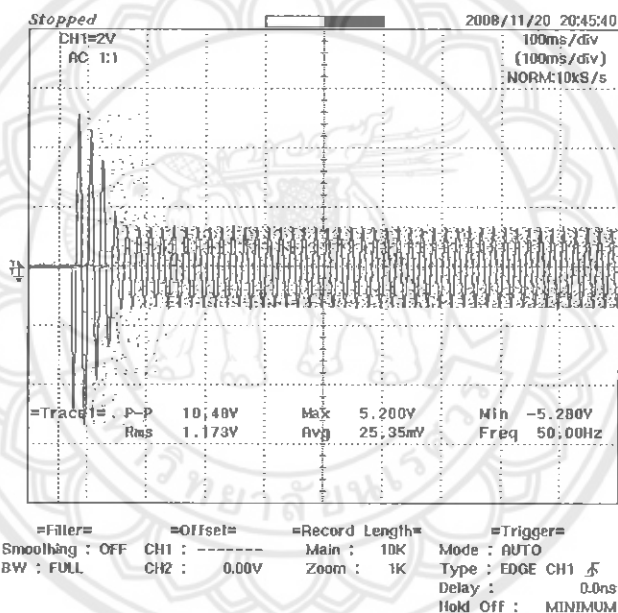
$$= \frac{331.89}{2 \times 3.14 \times \frac{1372}{60}}$$

$$\tau_{load} = 2.31 N.m$$

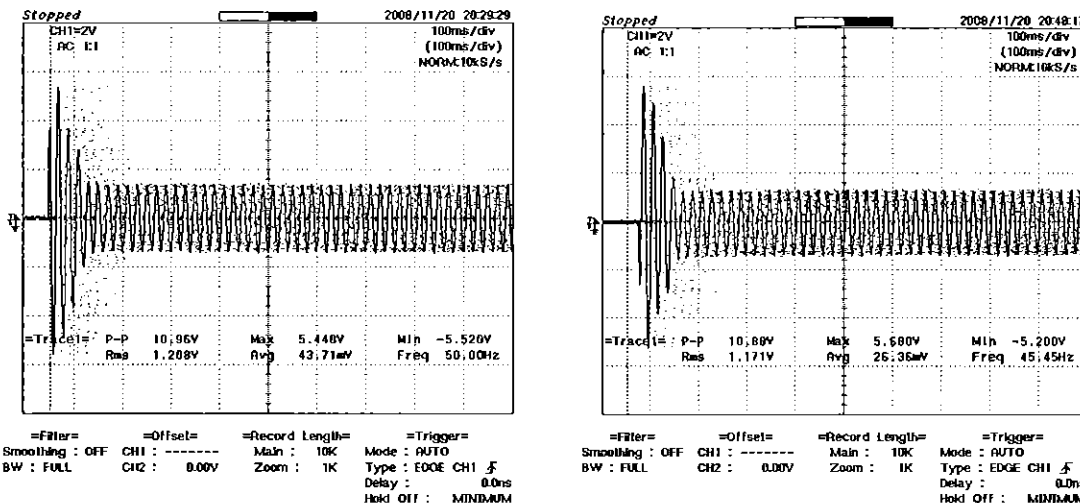
### 4.3 ผลจากการทดสอบต่อวงจรริง

#### 4.3.1 การสตาร์ทมอเตอร์โดยตรง (Direct On Line)

ขณะต่อให้ลด 35%



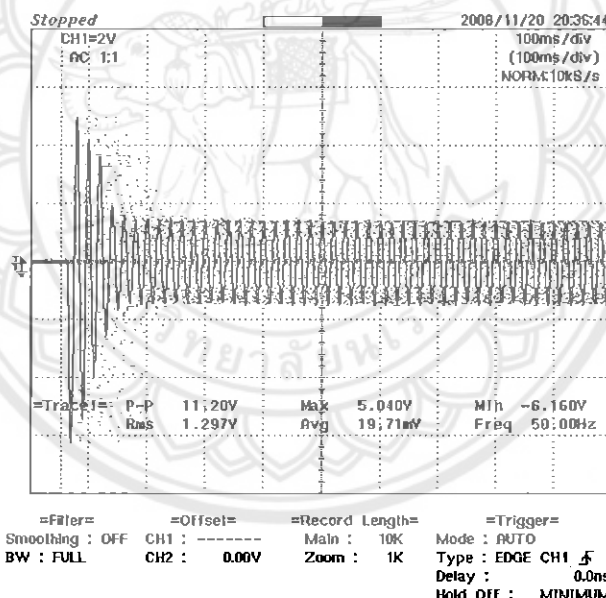
รูปที่ 4.4 กราฟกระแสขณะสตาร์ทมอเตอร์ A



รูปที่ 4.5 กราฟกระแสข้อมูลสตาร์ทเฟส B

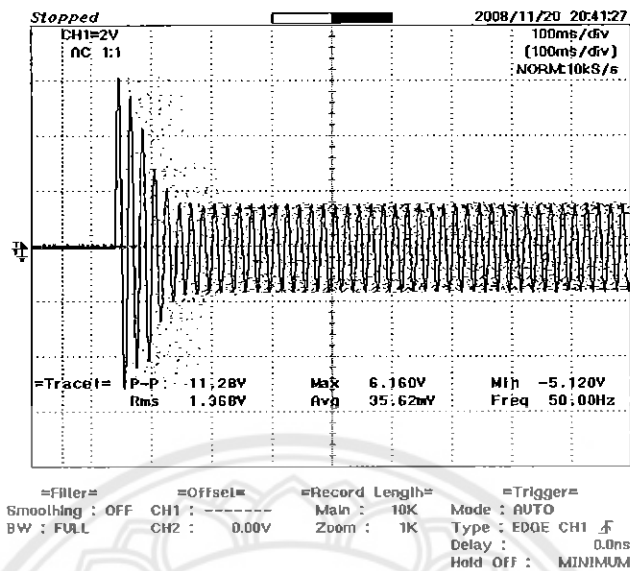
รูปที่ 4.6 กราฟกระแสข้อมูลสตาร์ทเฟส C

ขณะต่อโหมดค 65%



รูปที่ 4.7 กราฟกระแสข้อมูลสตาร์ท

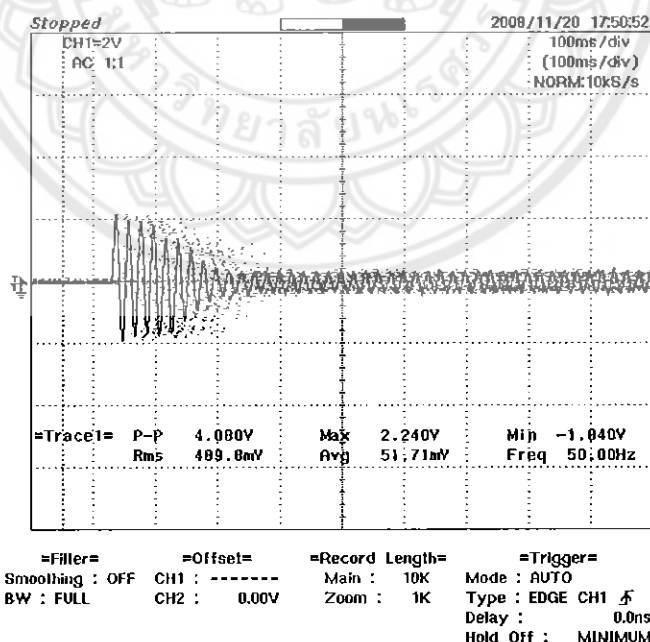
ขณะต่อโถอด 90%



รูปที่ 4.8 กราฟกระแสขณะต่อโถอด

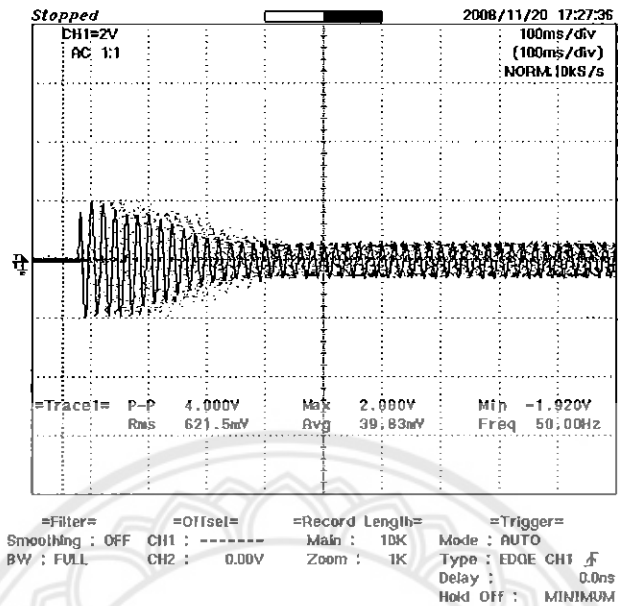
#### 4.3.2 การสตาร์ทมอเตอร์โดย สตาร์-เดลต้า (Star-Delta)

ขณะต่อโถอด 35%



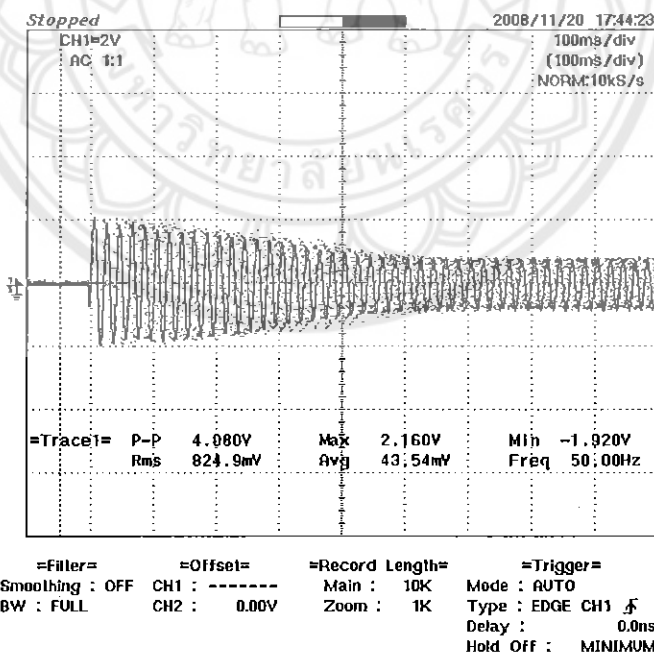
รูปที่ 4.9 กราฟกระแสขณะต่อโถอด

ขณะต่อโหมด 65%



รูปที่ 4.10 กราฟกระแสขั้นต่ำสุด

ขณะต่อโหมด 90%



รูปที่ 4.11 กราฟกระแสขั้นต่ำสุด

## 4.4 การเปรียบเทียบผลการทดสอบและวิเคราะห์ผลการทดสอบ

### 4.4.1 การสตาร์ทมอเตอร์แบบ Y – Δ และการสตาร์ทแบบ Direct On Line

ตารางที่ 4.7 เปรียบเทียบกระแสขั้นต่ำสตาร์ท

Load %	Y – Δ				Direct On Line				$\frac{I_{(peak)DOL}}{I_{(peak)Y - \Delta}}$
	$I_{peak}$ (A)	$I_{P - P}$ (A)	จำนวน ลูก คลื่น	เวลา เข้าสู่ ภาวะ ปกติ	$I_{peak}$ (A)	$I_{P - P}$ (A)	จำนวน ลูก คลื่น	เวลาเข้า สู่ภาวะ ปกติ	
35	2.24	4.080	9	0.18	5.68	10.88	4	0.08	2.536
65	2.080	4.00	11	0.22	6.16	11.20	4	0.08	2.96
90	2.16	4.080	22	0.44	6.16	11.28	5	0.10	2.85

จากตารางเห็นว่าการสตาร์ทมอเตอร์ต่อแบบ Direct On Line จะมีค่ากระแส  $I_{peak}$  ที่สูงกว่าการสตาร์ทมอเตอร์ต่อแบบ Y – Δ กระแสขั้นต่ำสตาร์ทมอเตอร์ต่อแบบ Y – Δ กระแสสตาร์ทจะลดลงจากอัตราส่วนระหว่างกระแสสูงสุดต่อแบบ Direct On Line กับกระแสสูงสุดต่อแบบ Y – Δ

สภาพไฟลด 35% มีค่าเท่ากับ 2.536

สภาพไฟลด 65% มีค่าเท่ากับ 2.960

สภาพไฟลด 90% มีค่าเท่ากับ 2.850

ค่ากระแสขั้นต่ำสตาร์ทจะขึ้นอยู่กับเบอร์เซ็นต์ของ load ที่ต้องเข้ากับมอเตอร์เมื่อต่อไฟลดเบอร์เซ็นต์สูงขึ้นจะทำให้กระแสสูงขึ้นและจำนวนลูกคลื่นที่จะเข้าสู่ภาวะปกติเป็นเวลานานขึ้น

#### 4.4.2 การเปรียบเทียบกระแสขั้นตอนที่ต่อกระแทกที่ทำงานปักติ ของเตอร์ที่ทำงานปักติดต่อแบบ Δ

ตารางที่4.8 เปรียบเทียบกระแสขั้นตอนที่ต่อกระแทกที่ต่อกระแทกที่ทำงานปักติ ของเตอร์ที่ทำงานปักติดต่อแบบ Δ

Load %	กระแส ทำงานปักติ ต่อแบบ Δ (A)	กระแสขั้นตอนที่ต่อกระแทกที่		กระแสขั้นตอนที่ต่อกระแทกที่ทำงานปักติ	
		Direct On Line (A)	Y-Δ (A)	Direct On Line (A)	Y-Δ (A)
		$\frac{5.68}{\sqrt{2}} = 4$	$\frac{2.24}{\sqrt{2}} = 1.58$	4.76	1.88
35	0.84	$\frac{6.16}{\sqrt{2}} = 4.36$	$\frac{2.08}{\sqrt{2}} = 1.47$	4.648	1.568
65	0.938	$\frac{6.16}{\sqrt{2}} = 4.36$	$\frac{2.16}{\sqrt{2}} = 1.53$	4.275	1.497
90	1.02				

จากตารางจะทราบว่าอัตราส่วนระหว่างกระแสขั้นตอนที่ต่อกระแทกที่ต่อกระแทกที่ทำงานปักติ

กรณีมอเตอร์ต่อ Direct On Line

สภาพไฟลัด 35% มีค่าเท่ากับ 4.760

สภาพไฟลัด 65% มีค่าเท่ากับ 4.648

สภาพไฟลัด 90% มีค่าเท่ากับ 4.275

กรณีมอเตอร์ต่อ Y-Δ

สภาพไฟลัด 35% มีค่าเท่ากับ 1.880

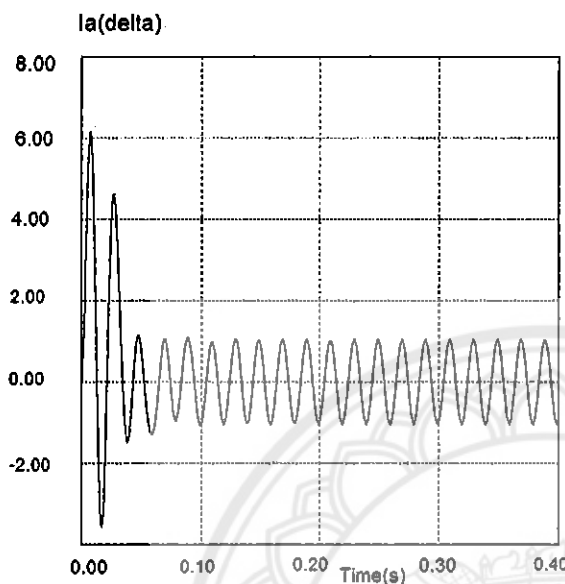
สภาพไฟลัด 65% มีค่าเท่ากับ 1.568

สภาพไฟลัด 90% มีค่าเท่ากับ 1.497

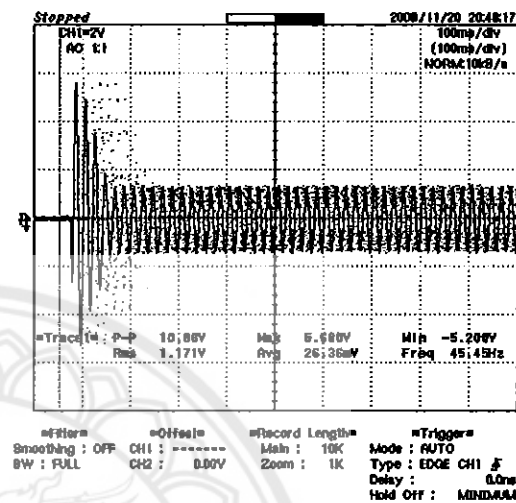
#### 4.4.3 การเปรียบเทียบค่า Simulate กับ การทดลองจริง

##### การสตาร์ท Direct On Line

Load 35%

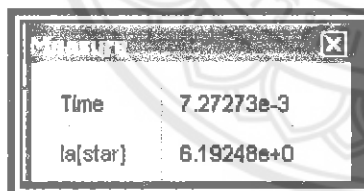


รูปที่ 4.12 กราฟ Simulate จาก PSIM

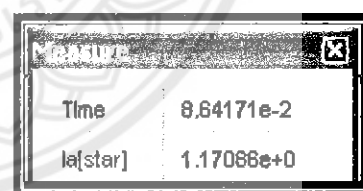


รูปที่ 4.13 กราฟจากการทดลองจริง

##### ค่าจากการ Simulate



ค่าเวลาและกระแสสูงสุด



ค่าเวลาและกระแสทำงานปกติ

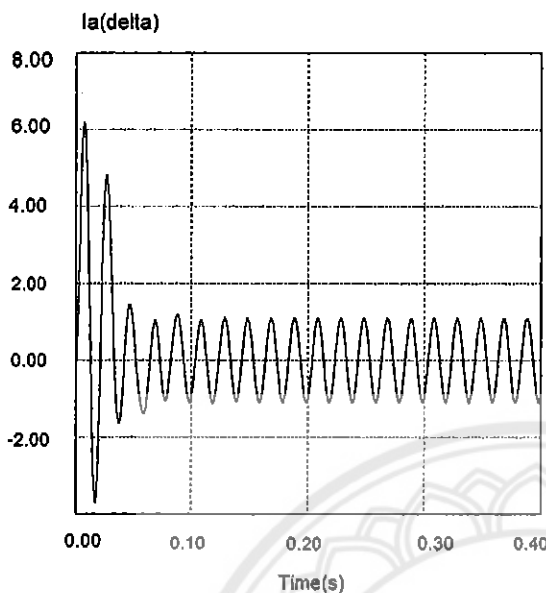
##### ค่าจากการทดลองจริง

กระแสสูงสุด เท่ากับ  $5.68A$

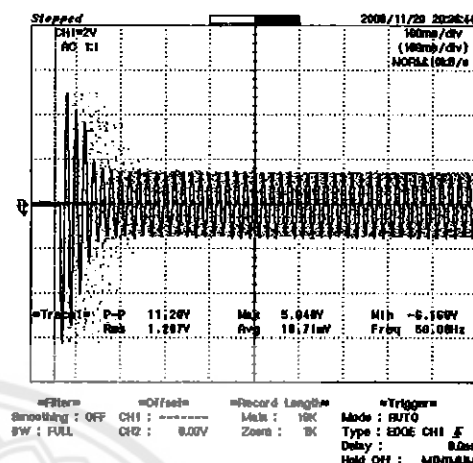
กระแสทำงานปกติ เท่ากับ  $0.84 \times \sqrt{2} = 1.1879A$

เวลาเข้าสู่สภาวะปกติ เท่ากับ จำนวนถูกคลื่นคุณความเวลา =  $4 \times 0.02 = 0.08s$

Load 65%

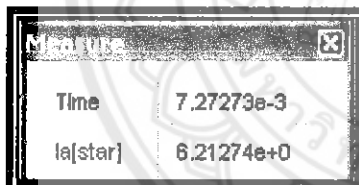


รูปที่ 4.14 กราฟ Simulate จาก PSIM



รูปที่ 4.15 กราฟจากการทดลองจริง

ค่าจากการ Simulate



ค่าเวลาและกระแสสูงสุด



ค่าเวลาและกระแสทำงานปกติ

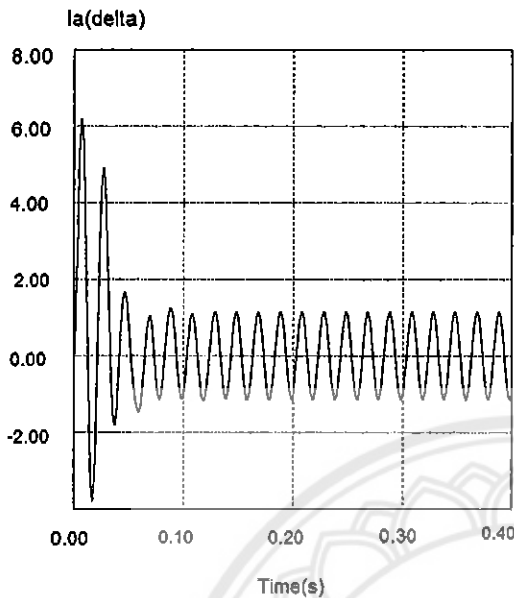
### ค่าจากการทดลองจริง

กระแสสูงสุด เท่ากับ .6.16A

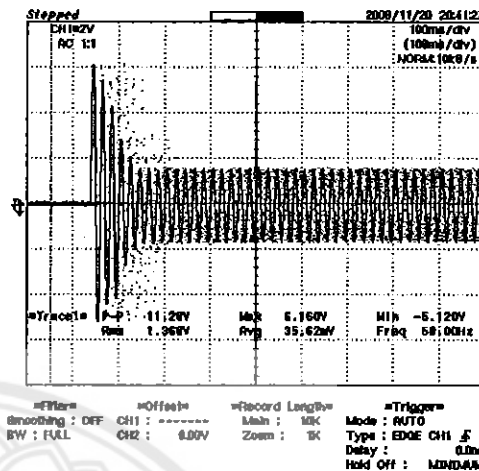
กระแสทำงานปกติ เท่ากับ  $0.938 \times \sqrt{2} = 1.3265A$

เวลาเข้าสู่ภาวะปกติ เท่ากับ จำนวนถูกคลื่นคูณความเวลา =  $4 \times 0.02 = 0.08s$

Load 90%

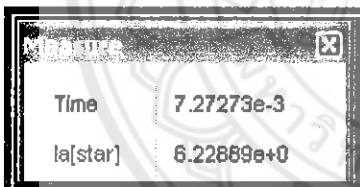


รูปที่ 4.16 กราฟ Simulate จาก PSIM

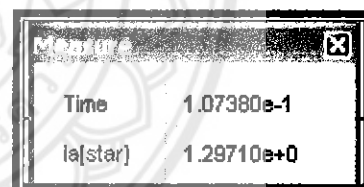


รูปที่ 4.17 กราฟจากการทดลองจริง

ค่าจากการ Simulate



ค่าเวลาและกระแสสูงสุด



ค่าเวลาและกระแสทำงานปกติ

ค่าจากการทดลองจริง

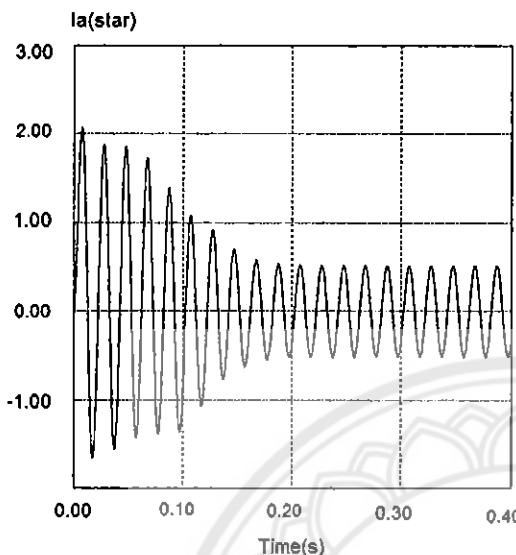
กระแสสูงสุด เท่ากับ  $6.16A$

กระแสทำงานปกติ เท่ากับ  $1.02 \times \sqrt{2} = 1.4425A$

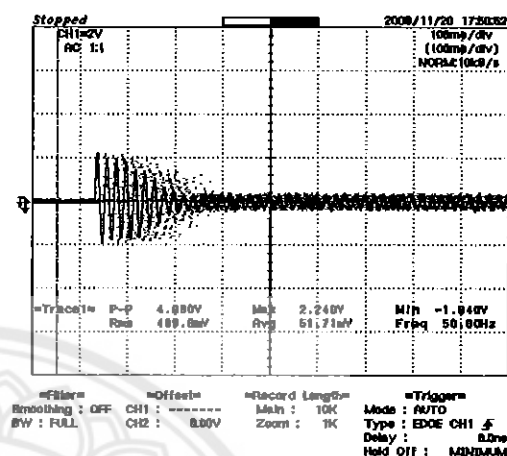
เวลาเข้าสู่สภาวะปกติ เท่ากับ จำนวนถูกคัดลื่นคุณความเวลา  $= 5 \times 0.02 = 0.10s$

## การ starters Y-Δ

Load 35%

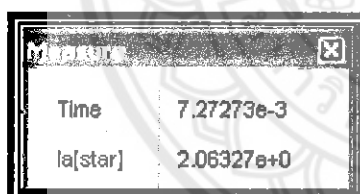


รูปที่ 4.18 กราฟ Simulate จาก PSIM



รูปที่ 4.19 กราฟจากการทดลองจริง

ค่าจากการ Simulate



ค่าเวลาและกระแสสูงสุด



ค่าเวลาและกระแสทำงานปกติ

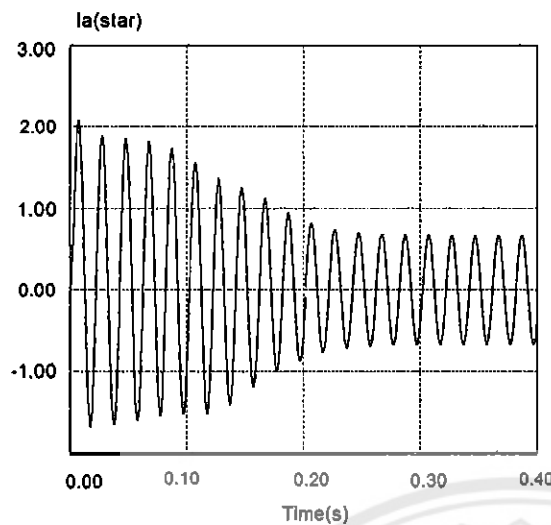
ค่าจากการทดลองจริง

กระแสสูงสุด เท่ากับ  $2.24A$

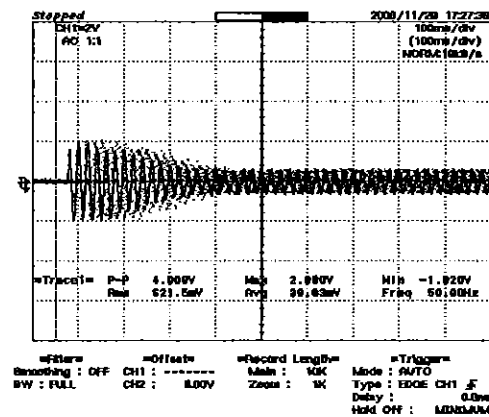
กระแสทำงานปกติ เท่ากับ  $0.36 \times \sqrt{2} = 0.5091A$

เวลาเข้าสู่ภาวะปกติ เท่ากับ จำนวนลูกคลื่นคุณภาพเวลา  $= 9 \times 0.02 = 0.18s$

Load 65%

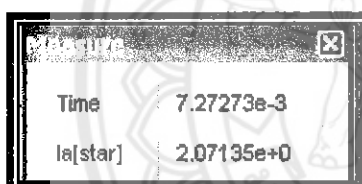


รูปที่ 4.20 กราฟ Simulate จาก PSIM

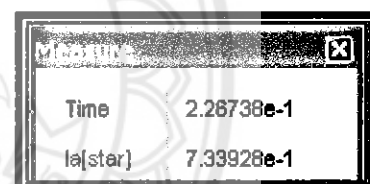


รูปที่ 4.21 กราฟจากการทดลองจริง

ค่าจากการ Simulate



ค่าเวลาและกระแสสูงสุด



ค่าเวลาและกระแสทำงานปกติ

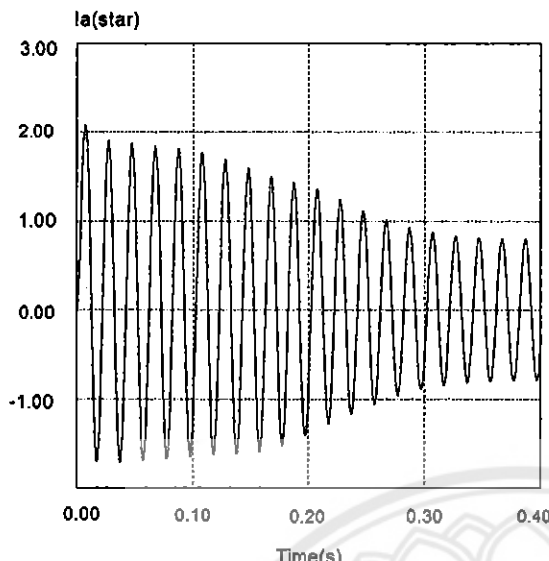
ค่าจากการทดลองจริง

กระแสสูงสุด เท่ากับ  $2.08A$

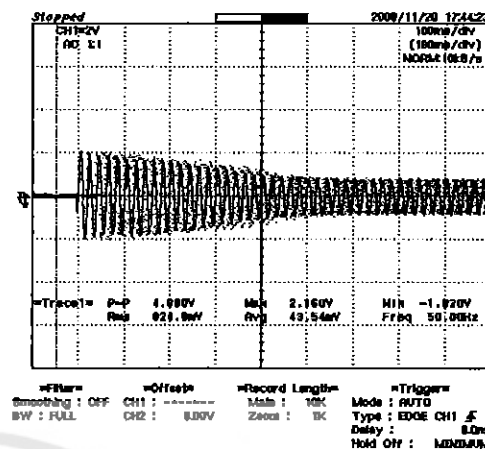
กระแสทำงานปกติ เท่ากับ  $0.47 \times \sqrt{2} = 0.6647A$

เวลาเข้าสู่สภาวะปกติ เท่ากับ จำนวนถูกคลื่นคูณความเวลา  $= 11 \times 0.02 = 0.22s$

Load 90%



รูปที่ 4.22 กราฟ Simulate จาก PSIM



รูปที่ 4.23 กราฟจากการทดลองจริง

#### ค่าจากการ Simulate

Time	7.27273e-3
$I_a(\text{star})$	2.07649e+0

ค่าเวลาและกระแสสูงสุด

Time	3.26845e-1
$I_a(\text{star})$	8.27422e-1

ค่าเวลาและกระแสทำงานปกติ

#### ค่าจากการทดลองจริง

กระแสสูงสุด เท่ากับ  $2.16A$

กระแสทำงานปกติ เท่ากับ  $0.57 \times \sqrt{2} = 0.8061A$

เวลาเข้าสู่ภาวะปกติ เท่ากับ จำนวนลูกคลื่นคูณความเวลา =  $22 \times 0.02 = 0.44s$

**ตารางที่ 4.9 ตารางการเปรียบเทียบค่าจากการ Simulate กับค่าการทดลอง ของมอเตอร์ต่อแบบ  $\Delta$**

โหลด %	กระแสสูงสุด (A)		กระแสทำงานปกติ (A)		ผลต่างระหว่าง กระแสสูงสุดกับ กระแสทำงานปกติ		เวลาเข้าสู่สภาวะ ปกติ (s)	
	ทดลอง	Simulate	ทดลอง	Simulate	ทดลอง	Simulate	ทดลอง	Simulate
35	5.680	6.193	1.188	1.171	4.492	5.022	0.080	0.086
65	6.160	6.213	1.326	1.364	4.834	4.849	0.080	0.088
90	6.160	6.223	1.443	1.297	4.717	4.926	0.100	0.107

**ตารางที่ 4.10 ตารางการคิดค่า error ของโหลดต่างๆ ระหว่างการทดลองกับ Simulate  
ของมอเตอร์ต่อแบบ  $\Delta$**

โหลด %	กระแสสูงสุด (A)		กระแสทำงานปกติ (A)		ผลต่างระหว่าง กระแสสูงสุดกับ กระแสทำงานปกติ		เวลาเข้าสู่สภาวะ ปกติ (s)	
	error	% error	error	% error	error	% error	error	% error
35	0.513	8.28%	0.017	1.45%	0.53	10.55%	0.006	6.98%
65	0.053	0.85%	0.038	2.79%	0.015	0.31%	0.008	9.10%
90	0.063	1.01%	0.146	11.26%	0.209	4.24%	0.007	6.54%

**ตารางที่ 4.11 ตารางการเปรียบเทียบค่าจากการ Simulate กับค่าการทดลอง ของเตอร์ต่อแบบ Y**

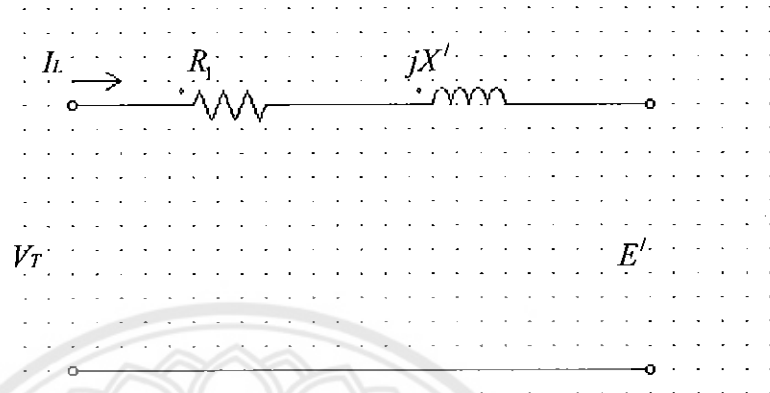
โหลด %	กระแสสูงสุด (A)		กระแสทำงานปกติ (A)		ผลต่างระหว่าง กระแสสูงสุดกับ กระแสทำงานปกติ		เวลาเข้าสู่สภาวะ ปกติ (s)	
	ทดลอง	Simulate	ทดลอง	Simulate	ทดลอง	Simulate	ทดลอง	Simulate
35	2.240	2.063	0.509	0.530	1.731	1.533	0.180	0.187
65	2.080	2.071	0.665	0.734	1.415	1.337	0.220	0.227
90	2.160	2.076	0.806	0.827	1.354	1.249	0.440	0.327

**ตารางที่ 4.12 ตารางการคิดค่า error ของโหลดต่างๆ ระหว่างการทดลองกับ Simulate ของเตอร์ต่อแบบ Y**

โหลด %	กระแสสูงสุด (A)		กระแสทำงานปกติ (A)		ผลต่างระหว่าง กระแสสูงสุดกับ กระแสทำงานปกติ		เวลาเข้าสู่สภาวะ ปกติ (s)	
	Error	% error	error	% error	error	% error	error	% error
35	0.177	8.58%	0.021	3.96%	0.198	12.92%	0.007	3.74%
65	0.009	0.43%	0.069	9.40%	0.078	5.83%	0.007	3.08%
90	0.084	4.05%	0.021	2.54%	0.105	8.41%	0.113	34.56%

#### 4.4.4 การเปรียบเทียบวงจรสมมูลอเดอร์ร์และทำงานปกติ กับวงจรสมมูลอเดอร์ สภาวะ Transient ขณะสตาร์ท

จากวงจรสมมูลอเดอร์สภาวะ Transient



รูปที่ 4.24 วงจรสมมูลสภาวะ Transient

$$\text{โดยที่ } X' = X_1 + X_M - \frac{X_M^2}{X_M + X_2}$$

สถานี Direct On Line

Load 35%

$$I_{peak} = 5.68A$$

$$I_{rms} = \frac{5.68}{\sqrt{2}} = 4A$$

เนื่องจากคลาวด์ต่อแบบ  $\Delta$

$$I_L = \sqrt{3} I_\phi$$

$$I_\phi = \frac{4}{\sqrt{3}} = 2.31A$$

เนื่องจากมอเตอร์ขังไม่หมุน  $E' \approx 0$

$$R_l = 54.6$$

$$V_\phi = 380V$$

$$|R_l + jX'| = \frac{|V_\phi|}{|I_\phi|}$$

$$\sqrt{R_l^2 + X'^2} = \frac{|V_\phi|}{|I_\phi|}$$

$$\sqrt{(54.6)^2 + X'^2} = \frac{380}{2.31}$$

$$\sqrt{(54.6)^2 + X'^2} = 164.5$$

$$X'^2 = (164.5)^2 - (54.6)^2$$

$$X'^2 = 24079.09$$

$$X' = 155.174j$$

$$I_\phi \rightarrow R_1 = 54.6\Omega \quad jX' = j155.74\Omega$$

$$V_L = V_\phi = 380V$$

รูปที่ 4.25 วงจรสมมุติณอเตอร์สกัวะ Transient ขณะสตาร์ท load 35%

$$I_\phi \rightarrow R_1 = 54.6\Omega \quad X_1 = j38.856\Omega \quad X_2 = j90.664\Omega$$

$$V_L = V_\phi = 380V \quad jX_m = j917.664\Omega \quad \frac{R_2}{S} = \frac{70.81}{0.063} = 1123.97\Omega$$

รูปที่ 4.26 วงจรสมมุติณอเตอร์ขบวนทำงานปกติ load 35%

หากค่ากระแสที่ทำงานปกติ 35% จากวงจรสมมูล ต่อแบบ  $\Delta$

$$S = \frac{n_s - n_m}{n_s}$$

$$S = \frac{1500 - 1406}{1500}$$

$$S = 0.063$$

$$Z_f = \frac{(1123.97 + 90.664j)(917.664j)}{1123.97 + 1008.328j}$$

$$Z_f = 415.13 + 545.25j$$

$$Z_T = 54.6 + 415.13 + (545.25 + 38.856j)$$

$$Z_T = 469.73 + 584.106j$$

$$Z_T = 749.55 \angle 51.2^\circ$$

$$I_\phi = \frac{V_\phi}{Z_\phi} = \frac{380 \angle 0^\circ}{749.55 \angle 51.2^\circ}$$

$$I_\phi = 0.51 \angle -51.2^\circ A$$

$$I_L = \sqrt{3} I_\phi$$

$$I_L = 0.88 \angle -51.2^\circ A$$

Load 65%

$$I_{peak} = 6.16A$$

$$I_{rms} = \frac{6.16}{\sqrt{2}} = 4.32A$$

เนื่องจากคลาวด์ต่อแบบ  $\Delta$

$$I_L = \sqrt{3} I_\phi$$

$$I_\phi = \frac{4.32}{\sqrt{3}} = 2.494A$$

เนื่องจากมอเตอร์ยังไม่หมุน  $E' \approx 0$

$$R_1 = 54.6$$

$$V_\phi = 380V$$

$$|R_1 + jX'| = \frac{|V_\phi|}{|I_\phi|}$$

$$\sqrt{R_1^2 + X'^2} = \frac{|V_\phi|}{|I_\phi|}$$

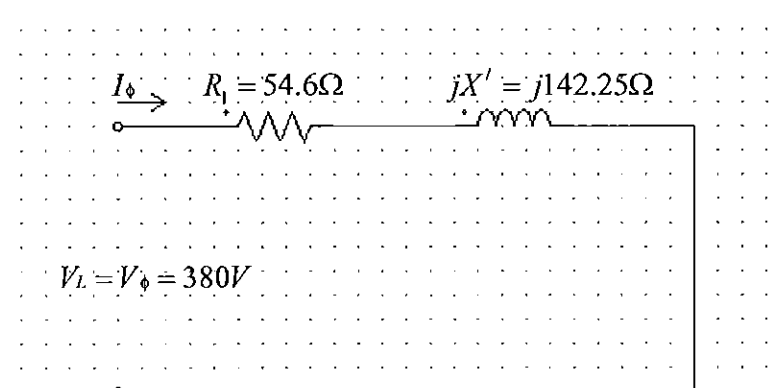
$$\sqrt{(54.6)^2 + X'^2} = \frac{380}{2.494}$$

$$\sqrt{(54.6)^2 + X'^2} = 152.37$$

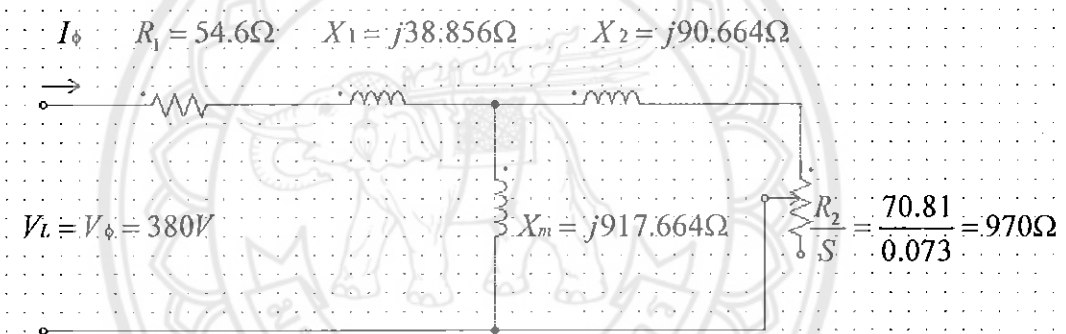
$$X'^2 = (152.37)^2 - (54.6)^2$$

$$X'^2 = 20235.4569$$

$$X' = 142.25j$$



รูปที่ 4.27 วงจรสมมูลมอเตอร์สกawa Transient ขณะ starters ท負 load 65%



รูปที่ 4.28 วงจรสมมูลมอเตอร์ขณะทำงานปกติ load 65%

หากค่ากระแสทำงานปกติ 65% จากวงจรสมมูล ต่อแบบ  $\Delta$

$$S = \frac{n_s - n_m}{n_s}$$

$$S = \frac{1500 - 1390}{1500}$$

$$S = 0.073$$

$$Z_f = \frac{(970 + 90.664j)(917.664j)}{970 + 1008.328j}$$

$$Z_f = 417.26 + 483.9j$$

$$Z_T = 54.6 + 417.26 + (483.9 + 38.856j)$$

$$Z_T = 471.26 + 483.9j$$

$$Z_T = 704.22 \angle 47.93^\circ$$

$$I_\phi = \frac{V_\phi}{Z_\phi} = \frac{380 \angle 0^\circ}{704.22 \angle 47.93^\circ}$$

$$I_\phi = 0.54 \angle -47.93^\circ A$$

$$I_L = \sqrt{3} I_\phi$$

$$I_L = 0.935 \angle -47.93^\circ A$$

Load 90%

$$I_{peak} = 6.16A$$

$$I_{rms} = \frac{6.16}{\sqrt{2}} = 4.32A$$

เนื่องจากคลาวด์ต่อแบบ  $\Delta$

$$I_L = \sqrt{3} I_\phi$$

$$I_\phi = \frac{4.32}{\sqrt{3}} = 2.494A$$

เนื่องจากมอเตอร์ยังไม่หมุน  $E' \approx 0$

$$R_1 = 54.6$$

$$V_\phi = 380V$$

$$|R_1 + jX'| = \frac{|V_\phi|}{|I_\phi|}$$

$$\sqrt{R_1^2 + X'^2} = \frac{|V_\phi|}{|I_\phi|}$$

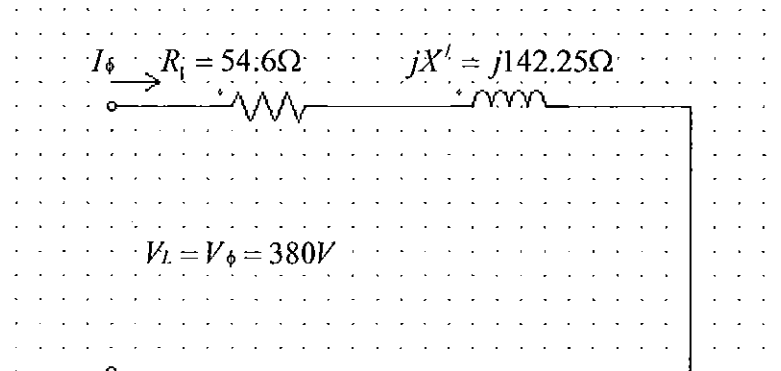
$$\sqrt{(54.6)^2 + X'^2} = \frac{380}{2.494}$$

$$\sqrt{(54.6)^2 + X'^2} = 152.37$$

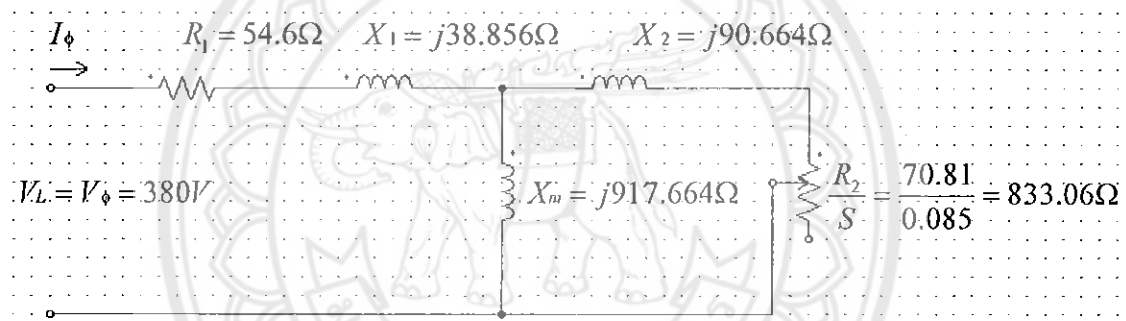
$$X'^2 = (152.37)^2 - (54.6)^2$$

$$X'^2 = 20235.4569$$

$$X' = 142.25j$$



รูปที่ 4.29 วงจรสมมูลนอเตอร์สกาวะ Transient ขณะ starters ท負 load 90%



รูปที่ 4.30 วงจรสมมูลนอเตอร์ขั้นทำงานปกติ load 90%

หากค่ากระแสที่ทำงานปกติ 90% จากวงจรสมมูล ต่อแบบ  $\Delta$

$$S = \frac{n_s - n_m}{n_s}$$

$$S = \frac{1500 - 1372}{1500}$$

$$S = 0.085$$

$$Z_f = \frac{(833.06 + 90.664j)(917.664j)}{833.06 + 1008.328j}$$

$$Z_f = 410.1 + 421.32j$$

$$Z_T = 54.6 + 410.1 + (421.32 + 38.856)j$$

$$Z_T = 464.7 + 460.176j$$

$$Z_r = 653.99 \angle 44.72^\circ$$

$$I_\phi = \frac{V_\phi}{Z_\phi} = \frac{380 \angle 0^\circ}{653.99 \angle 44.72^\circ}$$

$$I_\phi = 0.58 \angle -44.72^\circ A$$

$$I_L = \sqrt{3} I_\phi$$

$$I_L = 1.006 \angle -44.72^\circ A$$

การถอดรหัสอัตรแบบ  $Y - \Delta$

Load 35%

$$I_{peak} = 2.24A$$

$$I_{rms} = \frac{2.24}{\sqrt{2}} = 1.58A$$

เนื่องจากคลาดต่อแบบ Y

$$I_L = I_\phi$$

เนื่องจากมอเตอร์ซึ่งไม่มีหนุน  $E' \approx 0$

$$R_1 = 54.6$$

$$V_\phi = \frac{V_L}{\sqrt{3}} = \frac{380}{\sqrt{3}} = 220V$$

$$|R_1 + jX'| = \frac{|V_\phi|}{|I_\phi|}$$

$$\sqrt{R_1^2 + X'^2} = \frac{|V_\phi|}{|I_\phi|}$$

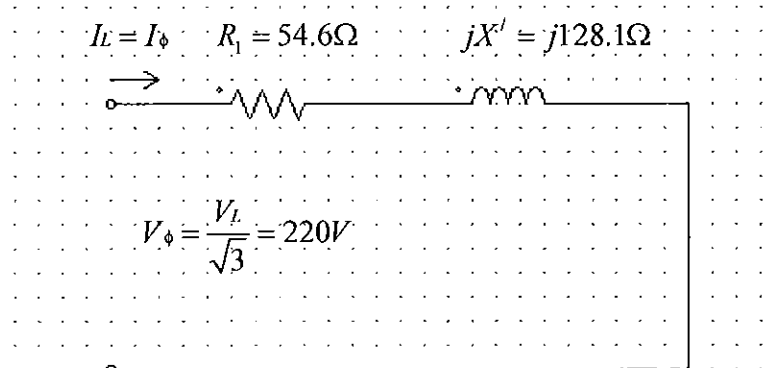
$$\sqrt{(54.6)^2 + X'^2} = \frac{220}{1.58}$$

$$\sqrt{(54.6)^2 + X'^2} = 139.24$$

$$X'^2 = (139.24)^2 - (54.6)^2$$

$$X'^2 = 16406.617$$

$$X' = 128.1j$$



รูปที่ 4.31 วงจรสมมูลมอเตอร์สกawa Transient ขณะ starters load 35%



รูปที่ 4.32 วงจรสมมูลมอเตอร์ขบวนทำงานปกติ load 35%

หากค่ากระแสทำงานปกติ 35% จากวงจรสมมุติ ต่อแบบ Y

$$S = \frac{n_s - n_m}{n_s}$$

$$S = \frac{1500 - 1388}{1500}$$

$$S = 0.0747$$

$$Z_f = \frac{(947.925 + 90.664j)(917.664j)}{947.925 + 1008.328j}$$

$$Z_f = 416.78 + 474.325j$$

$$Z_T = 54.6 + 416.78 + (474.32 + 38.856)j$$

$$Z_T = 471.38 + 507.176j$$

$$Z_T = 692.4 \angle 47.09$$

$$I_\phi = \frac{V_\phi}{Z_\phi} = \frac{220 \angle 0^\circ}{692.4 \angle 47.09^\circ}$$

$$I_\phi = 0.318 \angle -47.09^\circ A$$

)

Load 65%

$$I_{peak} = 2.08A$$

$$I_{rms} = \frac{2.08}{\sqrt{2}} = 1.47A$$

เนื่องจากคลาดต่อแบบ Y

$$I_L = I_\phi$$

เนื่องจากมอเตอร์ขังไม่หมุน  $E' \approx 0$ 

$$R_l = 54.6$$

$$V_\phi = \frac{V_L}{\sqrt{3}} = \frac{380}{\sqrt{3}} = 220V$$

$$|R_l + jX'| = \frac{|V_\phi|}{|I_\phi|}$$

$$\sqrt{R_l^2 + X'^2} = \frac{|V_\phi|}{|I_\phi|}$$

$$\sqrt{(54.6)^2 + X'^2} = \frac{220}{1.47}$$

$$\sqrt{(54.6)^2 + X'^2} = 149.659$$

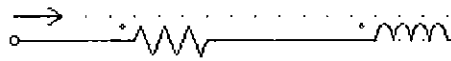
$$X'^2 = (149.659)^2 - (54.6)^2$$

$$X'^2 = 19416.656$$

$$X' = 139.344j$$

3

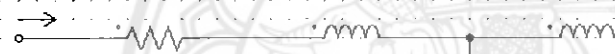
$$I_L = I_\phi \quad R_1 = 54.6\Omega \quad jX' = j139.344\Omega$$



$$V_\phi = \frac{V_L}{\sqrt{3}} = 220V$$

รูปที่ 4.33 วงจรสมมุติมอเตอร์สกัวร์ Transient ขณะสตาร์ท load 65%

$$I_L = I_\phi \quad R_1 = 54.6\Omega \quad X_1 = j38.856\Omega \quad X_2 = j90.664\Omega$$



$$V_\phi = \frac{V_L}{\sqrt{3}} = 220V$$

$$X_m = j917.664\Omega$$

$$\frac{R_2}{S} = \frac{70.81}{0.12} = 590.08\Omega$$

รูปที่ 4.34 วงจรสมมุติมอเตอร์ขับเคลื่อนทำงานปกติ load 65%

หากค่ากระแสทำงานปกติ 65% จะวงจรสมมูล ต่อแบบ Y

$$S = \frac{n_s - n_m}{n_s}$$

$$S = \frac{1500 - 1320}{1500}$$

$$S = 0.12$$

$$Z_f = \frac{(590.08 + 90.664j)(917.664j)}{500.08 + 1008.328j}$$

$$Z_f = 364.0585 + 295.56j$$

$$Z_T = 54.6 + 364.0585 + (295.56 + 38.856)j$$

$$Z_T = 418.66 + 334.416j$$

$$Z_T = 535.827 \angle 38.62^\circ$$

$$I_\phi = \frac{V_\phi}{Z_\phi} = \frac{220 \angle 0^\circ}{535.827 \angle 38.62^\circ}$$

$$I_\phi = 0.411 \angle -38.62^\circ A$$

Load 90%

$$I_{peak} = 2.16A$$

$$I_{rms} = \frac{2.16}{\sqrt{2}} = 1.53A$$

เนื่องจากคลาวด์อเมบบ Y

$$I_L = I_\phi$$

เนื่องจากมอเตอร์ยังไม่หมุน  $E' \approx 0$

$$R_1 = 54.6$$

$$V_\phi = \frac{V_L}{\sqrt{3}} = \frac{380}{\sqrt{3}} = 220V$$

$$|R_1 + jX'| = \frac{|V_\phi|}{|I_\phi|}$$

$$\sqrt{R_1^2 + X'^2} = \frac{|V_\phi|}{|I_\phi|}$$

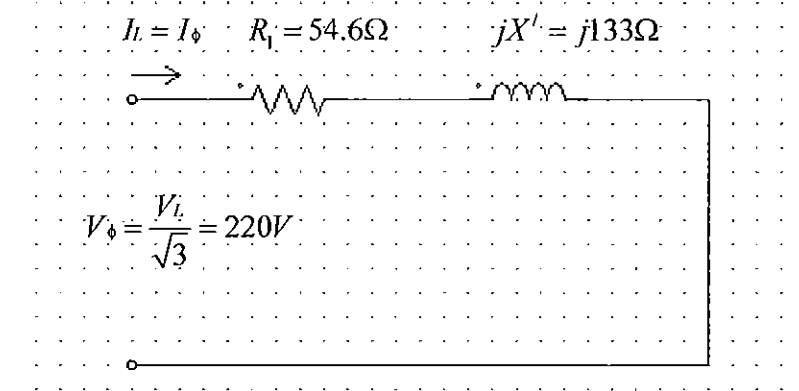
$$\sqrt{(54.6)^2 + X'^2} = \frac{220}{1.53}$$

$$\sqrt{(54.6)^2 + X'^2} = 143.79$$

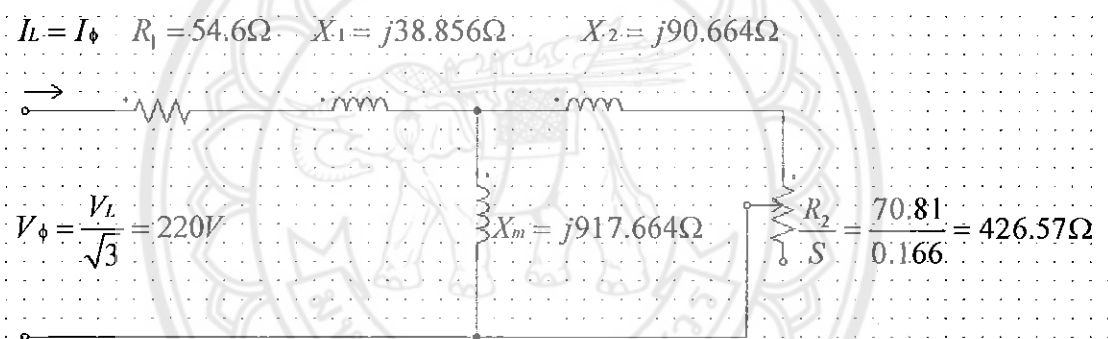
$$X'^2 = (143.79)^2 - (54.6)^2$$

$$X'^2 = 17694.4$$

$$X' = 133j$$



รูปที่ 4.35 วงจรสมมุติมอเตอร์ส่วน Transient ขณะ starters load 90%



รูปที่ 4.36 วงจรสมมุติมอเตอร์ขณะทำงานปกติ load 90%

หากค่ากระแสทำงานปกติ 90% จากวงจรสมมูล ต่อแบบ Y

$$S = \frac{n_s - n_m}{n_s}$$

$$S = \frac{1500 - 1267}{1500}$$

$$S = 0.166$$

$$Z_f = \frac{(426.57 + 90.664j)(917.664j)}{426.57 + 1008.328j}$$

$$Z_f = 299.68 + 209.29j$$

$$Z_T = 54.6 + 299.68 + (209.29 + 38.856j)$$

$$Z_T = 354.28 + 248.148j$$

$$Z_T = 432.54 \angle 35^\circ$$

$$I_\phi = \frac{V_\phi}{Z_\phi} = \frac{220 \angle 0^\circ}{432.54 \angle 35^\circ}$$

$$I_\phi = 0.51 \angle -35^\circ A$$

## บทที่ 5

### สรุปผลการทดลอง

#### 5.1 สรุปผลการทดลอง

จากการทดลองและศึกษาการเริ่มต้นหมุนของมอเตอร์อินดักชัน 3 เฟสแบบ Direct On Line และแบบ Star – Delta ในสภาวะโหลด 35%, 65%, 90% จากผลการทดลองพบว่า

การ starters ทมอเตอร์ต่อแบบ Direct On Line จะมีอัตราส่วนระหว่างกระแสขณะ starters กับกระแสทำงานปกติที่สูงกว่าการ starters ทมอเตอร์แบบ Y – Δ ส่งผลทำให้มีผลข้างเคียงต่อระบบไฟฟ้า เช่น ระดับแรงดันไฟฟ้าตกและการตัดอัตโนมัติของอุปกรณ์ป้องกันหาก starters ทมอเตอร์แบบ Y – Δ สามารถลดค่ากระแสขณะ starters ตามสภาวะโหลดที่ทำการทดลองทำให้มีผลข้างเคียงต่อระบบไฟฟ้าอย่าง

ค่าความคลาดเคลื่อนระหว่างผลการทดลองกับโปรแกรม PSIM เนื่องจาก การทดลอง แรงดันไฟฟ้าที่จำเป็นให้กับมอเตอร์มีแรงดันไม่คงที่ 380 V ทุกเฟส ซึ่งต่างจากโปรแกรม PSIM จะมีค่าคงที่ 380 V และค่าพารามิเตอร์ของมอเตอร์และค่าพารามิเตอร์  $T_{load}$  ที่ใส่ให้กับโปรแกรม PSIM ค่าทั้ง 2 ได้จากการทดสอบมอเตอร์ และจากการทดลองซึ่งอาจเกิดจากการผิดพลาดของเครื่องวัด ส่งผลให้เกิดการผิดพลาดระหว่างการทดลองกับโปรแกรม PSIM

#### 5.2 ประเมินผล

จากการดำเนินงานโครงการแม่ป่าเทียนกับวัตถุประสงค์ ได้ผลดังนี้

5.2.1 สามารถบันทึกผลและวัดค่ากระแสขณะ starters ทในสภาวะโหลด 35%, 65%, 90% แบบ Direct On Line

5.2.2 สามารถบันทึกผลและวัดค่ากระแสขณะ starters ทในสภาวะโหลด 35%, 65%, 90% แบบ Star – Delta

5.2.3 สามารถวิเคราะห์เปรียบเทียบค่ากระแสขณะ starters ทในสภาวะโหลด 35%, 65%, 90%

5.2.4 สามารถวิเคราะห์เปรียบเทียบค่าที่ได้จากการทดลองจริงกับค่าที่ได้จากโปรแกรม PSIM

### 5.3 ปัญหา ข้อเสนอแนะ และแนวทางแก้ไข

5.3.1 ปัญหาเกิดจากมอเตอร์อินดักชันที่ใช้ในการทดลองใช้สตาร์ทนานไม่ได้เนื่องจากมอเตอร์ร้อนจึงต้องบันทึกค่าด้วยความรวดเร็วในช่วงขณะสตาร์ทมอเตอร์อินดักชันเพื่อป้องกันมอเตอร์เสียหาย

5.3.2 ปัญหาเกิดจากการต่อวงจรพิเศษทำให้อุปกรณ์ในการทดลองเสียหาย เช่น แมคเนติกคอนแทคเตอร์ใหม่ดังนั้น จึงต้องระมัดระวังในช่วงการต่อวงจรใหม่ๆ

5.3.3 ปัญหาเกิดจากอุปกรณ์ในการทดลองมีประสิทธิภาพไม่ค่อยดีทำให้ได้ผลการทดลองคลาดเคลื่อน

### 5.4 แนวทางในการพัฒนาต่อไป

ผลที่ได้จากการศึกษาและทดลองในโครงการณ์นี้สามารถนำไปประยุกต์ใช้ในโรงงานอุตสาหกรรมด้านเทคนิคการเริ่มหมุนอินดักชันมอเตอร์ระหว่างการสตาร์ทมอเตอร์แบบ Direct On Line หรือ Y-Δ ขึ้นอยู่กับการใช้งานมอเตอร์อินดักชัน งานที่ต้องการแรงบิดเริ่มต้นหมุนสูงจะเหมาะสมกับการสตาร์ท Direct On Line และจำเป็นต้องออกแบบระบบป้องกันไฟฟ้าที่ดีเนื่องจากกระแสสตาร์ทสูงอาจส่งผลให้เกิดการตัดวงจรของอุปกรณ์ป้องกัน สำหรับงานที่ไม่ต้องการแรงบิดเริ่มต้นหมุนที่สูงมากนัก มอเตอร์มีขนาดใหญ่การสตาร์ทมอเตอร์พร้อมกันหลายตัว และโรงงานต้องการระบบไฟฟ้าดีไม่ต้องการให้เกิดไฟตก แนะนำการสตาร์ทแบบ Y-Δ

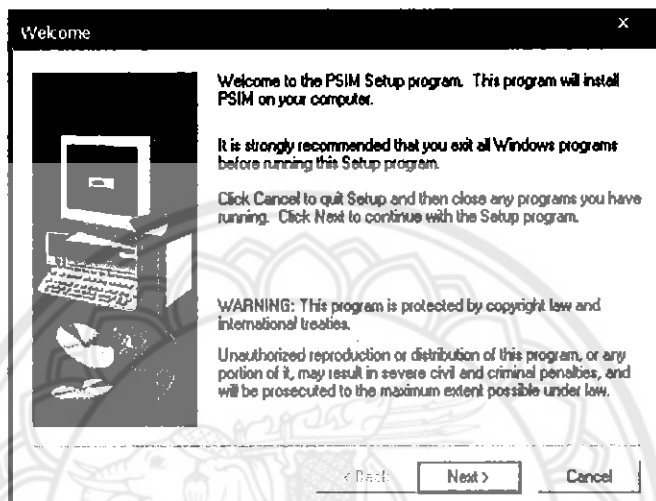
## เอกสารอ้างอิง

- [1] Mulukutla S. Sarma. **Electric Machines.** 2<sup>nd</sup> Ed., New York : West Publishing, 1994.
- [2] A.E. Fitzgerald Charles Kingsley and Jr. Stephen D. Umans. **Electric Machines.** 4<sup>th</sup> Ed., Singapore : McGraw-Hill, 1983.
- [3] Stephen J. Chapman. **Electric Machines Fundamentals.** 4<sup>th</sup> Ed., Singapore : McGraw-Hill, 2005.
- [4] นายกฤตยู อ่อแสง และนาวาสาวอร์รัณ สุนันต์. “การศึกษาลักษณะทางไฟฟ้าของกรานซิสเตอร์ ด้วยโปรแกรม PSpice” ปริญญาพินธ์วิศวกรรมศาสตร์บัณฑิตสาขาวิชา วิศวกรรมไฟฟ้า ภาควิชาวิศวกรรมไฟฟ้าและคอมพิวเตอร์. มหาวิทยาลัยนเรศวร, 2551
- [5] นายเฉลิมชัย ทิพมีก และนายเสน่ห์ เพ็ชร์ นักศัมพันธ์. “เครื่องวัดและบันทึกค่าแรงดันไฟฟ้า” ปริญญาพินธ์วิศวกรรมศาสตร์บัณฑิตสาขาวิชาวิศวกรรมไฟฟ้า ภาควิชาวิศวกรรมไฟฟ้าและคอมพิวเตอร์. มหาวิทยาลัยนเรศวร, 2550
- [6] ชุดชัย ธรรมวิจัฒน์. การออกแบบและติดตั้งระบบไฟฟ้า. กรุงเทพมหานคร: บริษัท เอ็นเมอนด์ อี จำกัด, 2546
- [7] ลีอชัย โพธิ์วิชัย. “การควบคุมมอเตอร์.” [Online]: เข้าถึงได้จาก: [http://www.lpc.rmutl.ac.th/elcen/elearning/motorcontrol/home\\_thai.html](http://www.lpc.rmutl.ac.th/elcen/elearning/motorcontrol/home_thai.html). พ.ศ. 2551
- [8] The automation Solution Company. “ทำไมต้องใช้ Soft Starters.” [Online]: เข้าถึงได้จาก: <http://www.tti-eng.com>. พ.ศ. 2551
- [9] Eastern Asia University. “ELECTRO MECHANICAL ENERGY CONVERSION II.” [Online]: เข้าถึงจาก: <http://course.eau.ac.th>. พ.ศ. 2551
- [10] [www.usrmotors.com/english/product\\_aeef.asp](http://www.usrmotors.com/english/product_aeef.asp), สืบค้นวันที่ 18 มี.ค. 52
- [11] [livelypictures.blogspot.com/2008/05/induction...](http://livelypictures.blogspot.com/2008/05/induction...), สืบค้นวันที่ 18 มี.ค. 52
- [12] [www.fairindustries.com/new.htm](http://www.fairindustries.com/new.htm), สืบค้นวันที่ 18 มี.ค. 52
- [13] [www.altoonahoist.com/AFD\\_Define.htm](http://www.altoonahoist.com/AFD_Define.htm), สืบค้นวันที่ 18 มี.ค. 52
- [14] <http://www.rmutphysics.com/CHARUD/scibook/Labphysics2>, สืบค้นวันที่ 18 มี.ค. 52
- [15] <http://center.prd.go.th/engineer/ESDB/train01/images>, สืบค้นวันที่ 18 มี.ค. 52

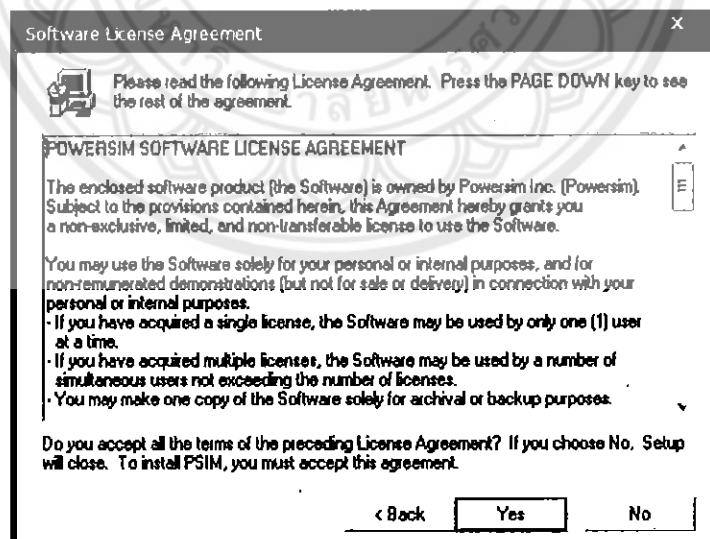


## ขั้นตอนการติดตั้งโปรแกรม PSIM

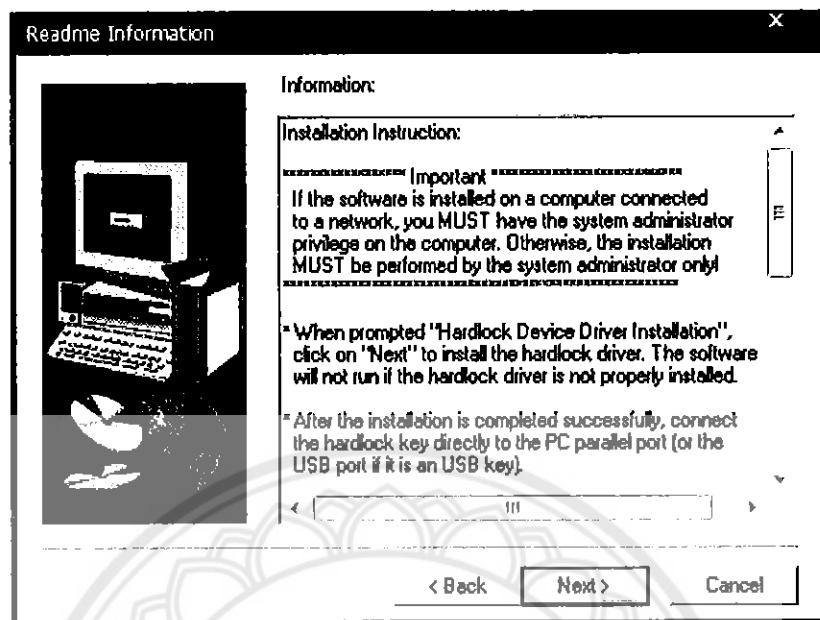
1. เตรียมแผ่นโปรแกรม PSIM 6.0
2. เปิดแผ่นโปรแกรม PSIM เพื่อทำการติดตั้งโปรแกรม
3. จะปรากฏหน้าจอดังนี้ให้คลิกปุ่ม Next >



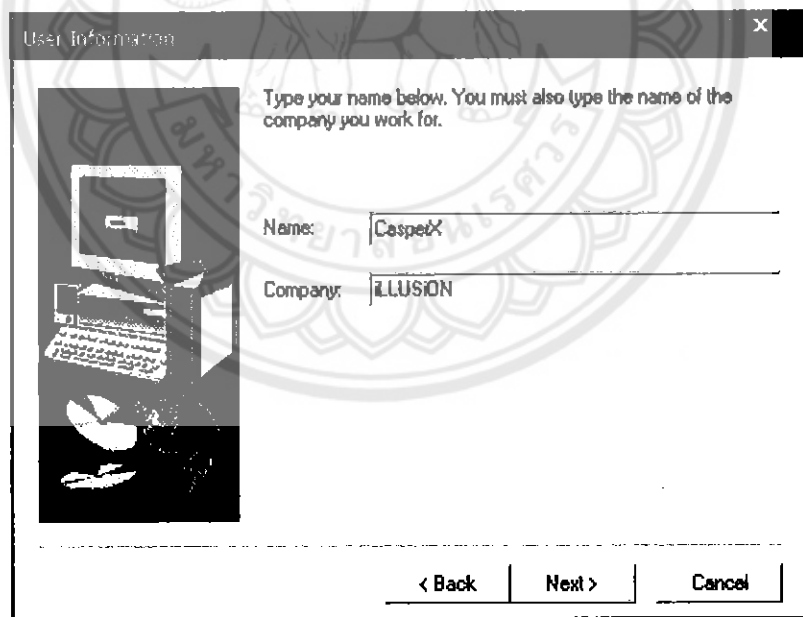
4. จะปรากฏหน้าจอดังนี้ ให้คลิกปุ่ม Yes



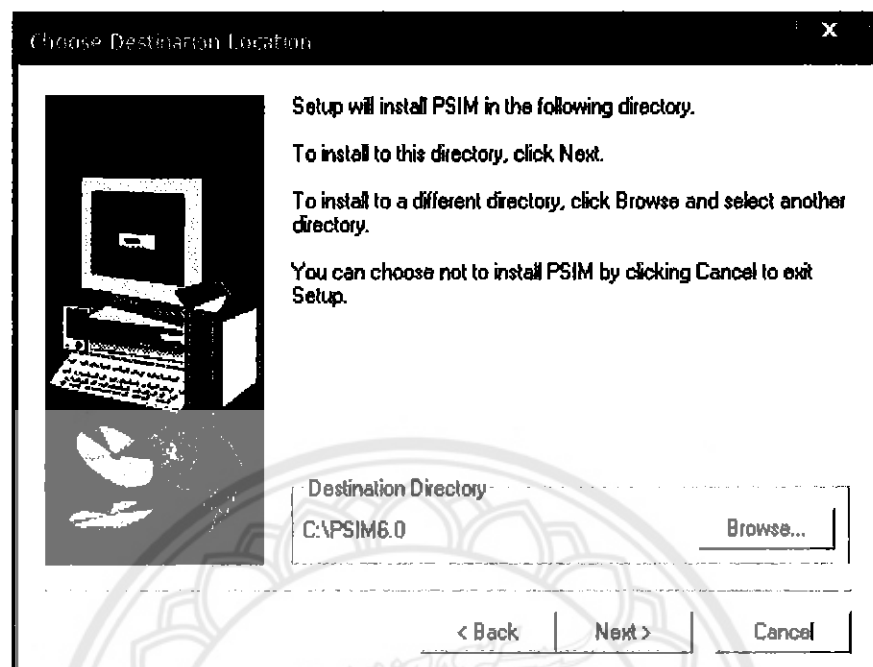
5. จะปรากฏหน้าจอดังนี้ ให้กดกันปุ่ม Next >



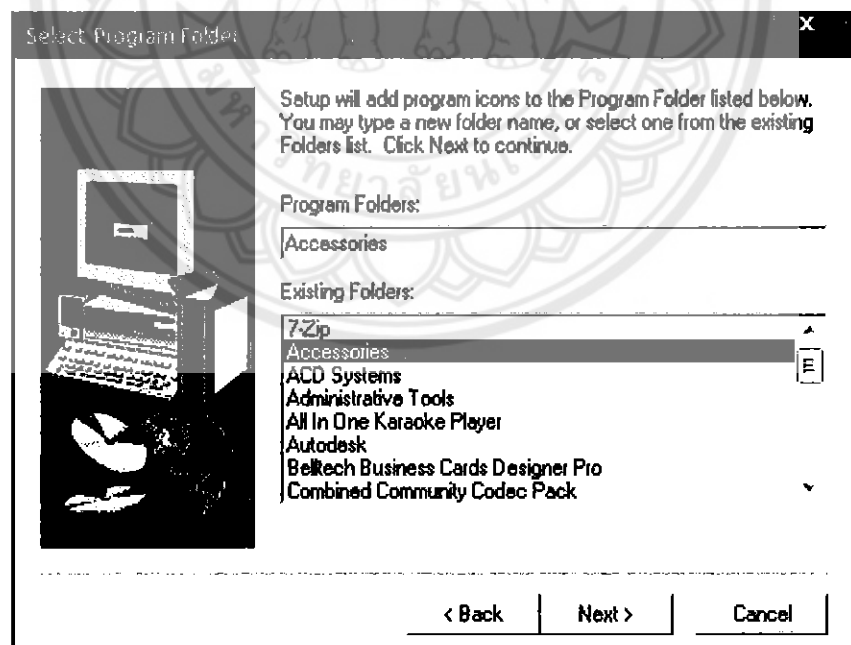
6. จะปรากฏหน้าจอดังนี้ ให้กดกัน Next >



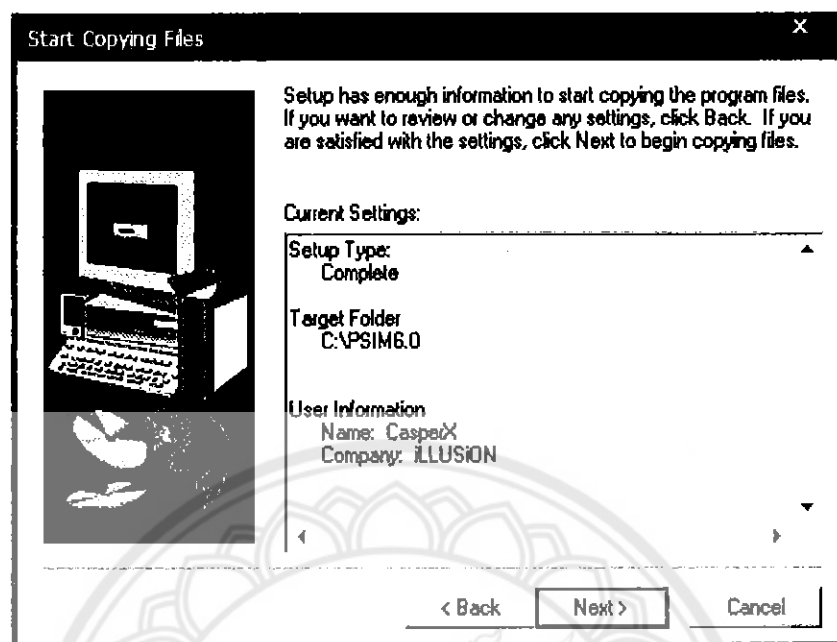
7. จะปรากฏหน้าจอดังนี้ ให้กดกิ้ง Next >



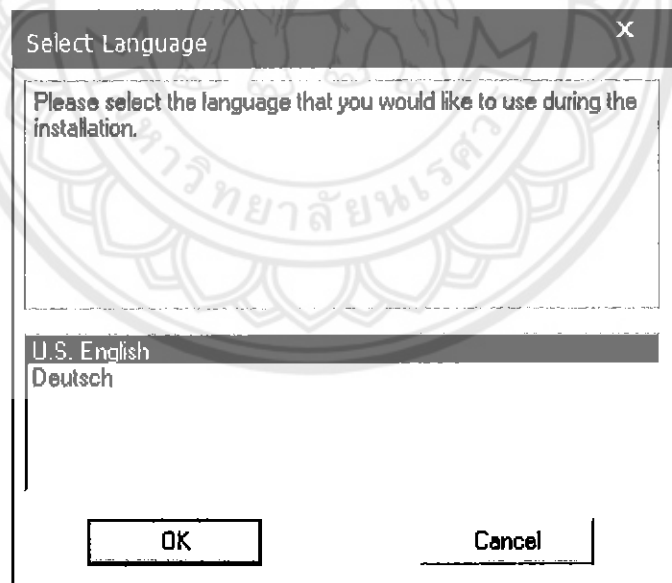
8. จะปรากฏหน้าจอดังนี้ ให้เลือก Accessories แล้วกดกิ้งปุ่ม Next >



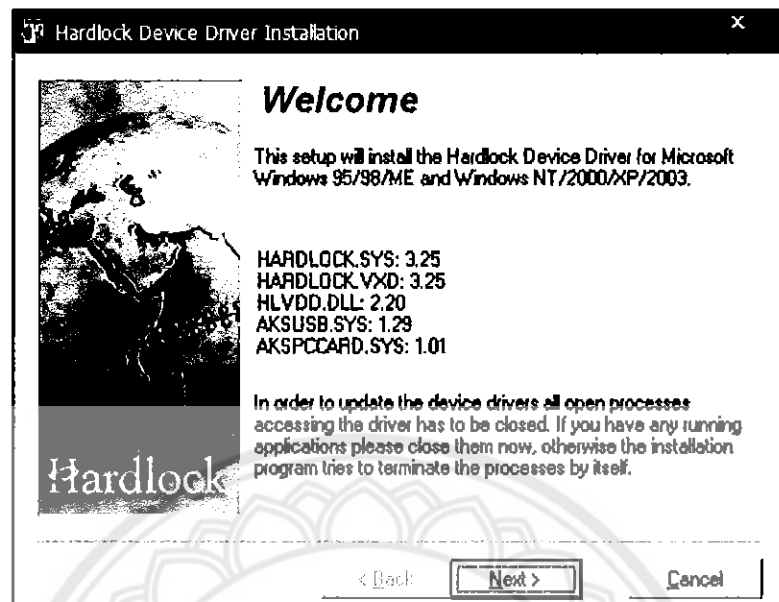
9. จะปรากฏหน้าจอดังนี้ ให้กดคลิก Next >



10. จะปรากฏหน้าจอดังนี้ เลือก U.S.English จากนั้นคลิก OK



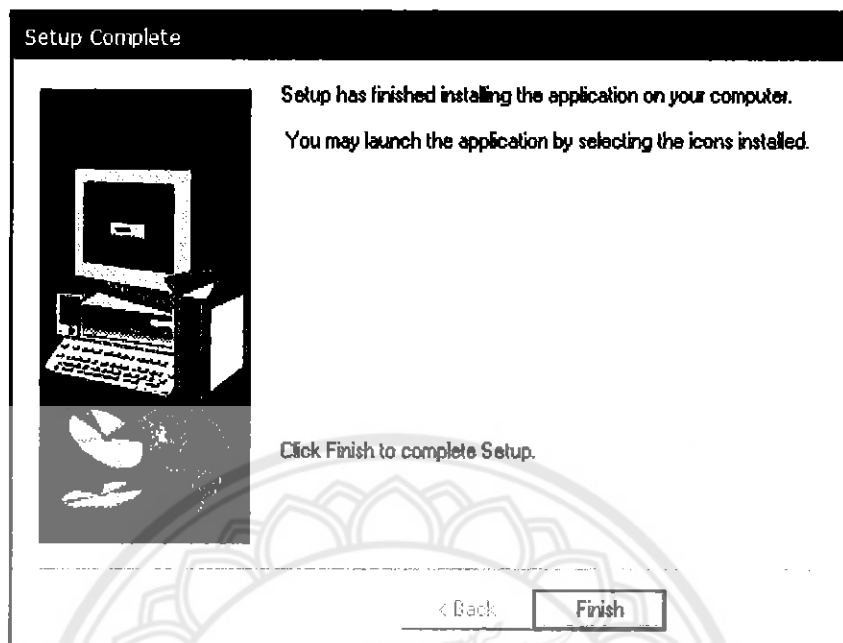
11. จะปรากฏหน้าจอตั้งนี้ให้คลิก Next>



12. จะปรากฏหน้าจอตั้งนี้ให้คลิก Finished

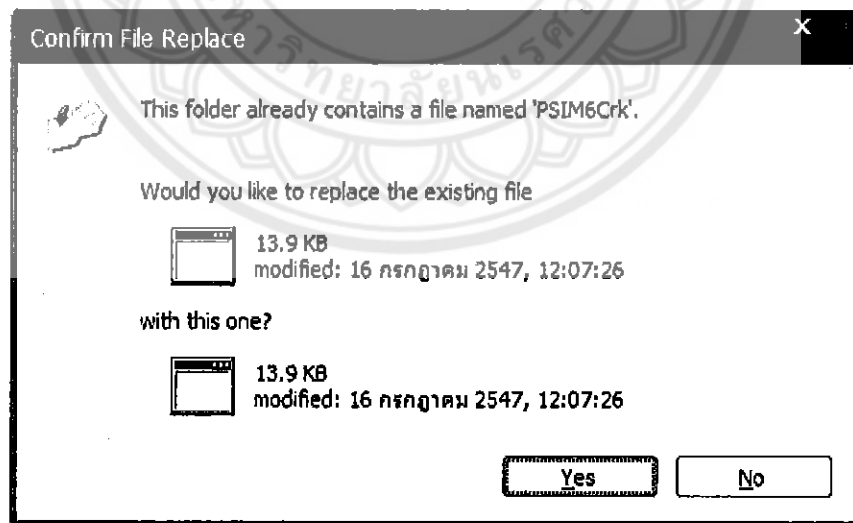


13. จะปรากฏหน้าจอดังนี้ ให้คลิก Finish



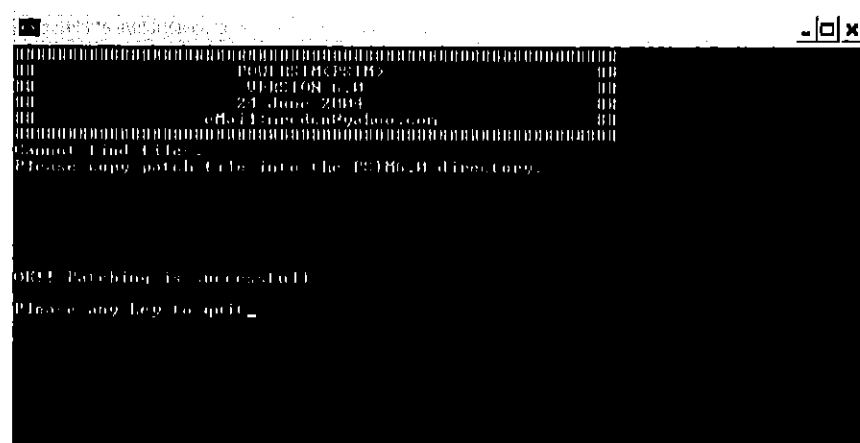
14. ดับเบิลคลิกที่ จะปรากฏไอคอน ทำการ Copy ไอคอน ไปที่ My Computer / C:\ / PSIM6.0 แล้ว Past

15 จะปรากฏหน้าต่างดังนี้ ให้คลิก Yes



16. ดับเบิลคลิก

17. จะปรากฏหน้าจอดังนี้ ให้ Enter ที่คีย์บอร์ด



#### 18. ทำการเปิดโปรแกรม PSIM ที่ Programs / Accessories / PSIM

# ประวัติการเขียนโครงการ



ชื่อ นายคำพล หน่อแก้ว  
ภูมิลำเนา 218/1 หมู่ 11 ต. บ้านดุน อ. เมือง จ. พะเยา 56000  
ประวัติการศึกษา

- จบระดับมัธยมศึกษาจากโรงเรียนพากวัน  
วิทยาคม
- ปัจจุบันกำลังศึกษาในระดับปริญญาตรีชั้นปีที่ 4  
สาขาวิชาวิศวกรรมไฟฟ้า คณะวิศวกรรมศาสตร์  
มหาวิทยาลัยนเรศวร

E-mail : [bird\\_engi48@hotmail.com](mailto:bird_engi48@hotmail.com)



ชื่อ นายณัฐพล สิทธิชรีจันทร์  
ภูมิลำเนา 107/284 หมู่ 10 ต. วัดไทร อ. เมือง จ.  
นครสวรรค์ 60000  
ประวัติการศึกษา

- จบระดับมัธยมศึกษาจากโรงเรียนนำมินทราษฎีศ  
นัชพิน
- ปัจจุบันกำลังศึกษาในระดับปริญญาตรีชั้นปีที่ 4  
สาขาวิชาวิศวกรรมไฟฟ้า คณะวิศวกรรมศาสตร์  
มหาวิทยาลัยนเรศวร

E-mail : [golfy\\_en@hotmail.com](mailto:golfy_en@hotmail.com)